

ACADEMIA REPUBLICII POPULARE ROMÎNE

STUDII SI CERCETĂRI DE BIOLOGIE

SERIA

BIOLOGIE VEGETALĂ

3

TOMUL XIII

1961

EDITURA ACADEMIEI REPUBLICII POPULARE ROMÎNE

ACADEMIA REPUBLICII POPULARE ROMÎNE

BIOL. INV. 99

STUDII ȘI CERCETĂRI DE BIOLOGIE
SERIA
BIOLOGIE VEGETALĂ

COMITETUL DE REDACTIE

N. SĂLĂGEANU, membru corespondent al Academiei R.P.R. — *redactor responsabil*; GEORGETA FABIAN-GALAN; ST. PÉTERFI, membru corespondent al Academiei R.P.R.; T. BORDEIANU, membru corespondent al Academiei R.P.R.; G. SANDU-VILLE, membru corespondent al Academiei R.P.R.; CORALIA NIȚESCU — *secretar tehnic de redacție*.

Tomul XIII, nr. 3

1951

S U M A R

EMIL POP și VIOREL SORÂN, Cercetări privind natura fizică și chimică a substanțelor vacuolare responsabile de formarea corpusculilor cu coloranții vitali bazici	313
A. M. SINIUHIN și L. I. SALNA, Caracteristica electrofiziologică a reacțiilor de răspuns ale plantelor la acțiunea factorilor externi	337
EMILIA CUPCEA și LUCIA STOICOVICI, Influența acizilor 2,4-diclorfenoxiacetic și monoiodacetic asupra respirației semințelor în curs de germinație	357
CLARA GRINVALD, I. GUTENMAHER și ELENA MAVROMATI, Studiul genetic al hibrizilor grâu-secară	369
I. POPESCU-ZELETIN, V. G. MOCANU și S. PUIU, Cercetări privind evoluția arborilor defoliați de <i>Lymantria monacha</i> L.	383
C. D. CHIRIȚĂ, Contribuții la sistematica regimurilor de apă din solurile R.P.R.	405
E. I. NYÁRÁDY, Despre stadiul actual al cercetărilor referitoare la flora Carpaților din R.P.R.	417

STUDII ȘI CERCETĂRI DE BIOLOGIE
Seria BIOLOGIE VEGETALĂ

Apare de 4 ori pe an

REDACȚIA:
BUCUREȘTI, CALEA VICTORIEI nr. 125

Telefon 14.54.90

EDITURA ACADEMIEI REPUBLICII POPULARE ROMÎNE

ACADEMIE DE LA RÉPUBLIQUE POPULAIRE ROUMAINE

ÉTUDES ET RECHERCHES DE BIOLOGIE
SÉRIE
BIOLOGIE VÉGÉTALE

Tome XIII, № 3

SOMMAIRE

EMIL POP et VIOREL SORAN, Recherches sur la nature physique et chimique des substances vacuolaires génératrices de corpuscules avec les colorants vitaux basiques	313
A. M. SINIUHIN et L. I. SALNA, Caractéristiques électrophysiologiques des réactions de réponse des plantes à l'action des facteurs externes	337
EMILIA CUPCEA et LUCIA STOICOVICI, Influence des acides 2,4-dichlorophenoxyacétique et monofodacétique sur la respiration des semences, au cours de la germination	357
CLARA GRINVALD, I. GUTENMAHER et ELENA MAVROMATI, Etude génétique des hybrides blé-seigle	369
I. POPESCU-ZELETIN, V. G. MOCANU et S. PUIU, Recherches sur l'évolution des arbres défeuillés par <i>Lymantria monacha</i> L.	383
C. D. CHIRITĂ, Contribution à la systématique des régimes d'eau des sols de la République Populaire Roumaine	405
E. I. NYÁRÁDY, Du stade actuel des recherches sur la flore des Carpates roumaines	417

1961

АКАДЕМИЯ РУМЫНСКОЙ НАРОДНОЙ РЕСПУБЛИКИ

ТРУДЫ И ИССЛЕДОВАНИЯ ПО БИОЛОГИИ
СЕРИЯ
БИОЛОГИЯ РАСТЕНИЙ

Том XIII, № 3

1961

СОДЕРЖАНИЕ

ЭМИЛЬ ПОП и ВИОРЕЛ СОРАН, Изучение физической и химической природы вакуольных веществ, обуславливающих образование телец с приживленными щелочными красителями	313
А. М. СИНЮХИН и Л. И. САЛНА, Электрофизиологическая характеристика ответных реакций растений на внешние воздействия	337
ЭМИЛИЯ КУПЧА и ЛУЧИЯ СТОЙКОВИЧ, Влияние 2,4-дихлорфеноуксусной и моноиодуксусной кислот на дыхание семян во время их прорастания	357.
КЛАРА ГРИНВАЛЬД, И. ГУТЕНМАХЕР и ЕЛЕНА МАВРОМАТИ, Генетическое изучение гибридов пшеницы с рожью	369
И. ПОПЕСКУ-ЗЕЛЕТИН, В. Г. МОКАНУ и С. ПУЮ, Изучение эволюции деревьев, подвергшихся дефольляции монашенкой (<i>Lumantria monacha</i> L.)	383
К. Д. КИРИЦЭ, К вопросу систематики водных режимов почв РНР	405
Е. И. НИАРАДИ, О современной стадии исследования флоры Карпат РНР	417

EDITIONS DE L'ACADEMIE DE LA RÉPUBLIQUE POPULAIRE ROUMAINE

ИЗДАТЕЛЬСТВО АКАДЕМИИ РУМЫНСКОЙ НАРОДНОЙ РЕСПУБЛИКИ

CERCETĂRI PRIVIND NATURA FIZICĂ ȘI CHIMICĂ
A SUBSTANȚELOR VACUOLARE RESPONSABILE
DE FORMAREA CORPUSCULILOR CU COLORANTII
VITALI BAZICI

DE

ACADEMICIAN EMIL POP și VIOREL SORAN

Comunicare prezentată în ședința din 27 martie 1961

Colorația vitală constituie una din cele mai adecvate metode pentru studiul structurii celulei vii și al comportamentului ei fiziologic. În cursul celor 7 decenii și jumătate care au trecut de la descoperirea ei (43), colorația vitală a fost adeseori utilizată în citofiziologie pentru cercetarea permeabilității și a absorbției celulare (18), (54), sau pentru a obține indicii sigure despre vitalitatea celulelor supuse observației (1), (54).

Coloranți vitali bazici au fost mai des folosiți în astfel de experiențe, deoarece ei pătrund rapid și se acumulează în cantități însemnante în vacuole. Procesele ce se desfășoară cu această ocazie au fost studiate amănuțit și dezbatute pe larg în lucrările fundamentale ale mai multor citofiziologi (1), (3), (16), (17), (22), (26), (27), (28), (33), (43), (53), (54). În comunicarea de față, ne interesează în mod special cazul sururilor celulare în care, drept urmare a acumulării coloranților vitali bazici, iau naștere corpusculi de diferite forme deosebit de intens colorați și precis conturați¹⁾.

Investigațiile întreprinse de diferiți cercetători, pentru a identifica natura chimică a substanțelor din vacuole responsabile de geneza corpusculilor, n-au dus pînă acum la rezultate complet satisfăcătoare. Stadiul actual al cunoștințelor noastre despre natura acestor substanțe se află

¹⁾ În lucrarea noastră anterioară (44) am considerat, în deplină concordanță cu vederile lui E. Kuster (33), aceste sururi celulare drept „pline” (volle) în sensul lui K. Höfler (26), (27), (28). Cercetările recente ale lui E. Bacher și J. Hözl (3) ne arată că putem vorbi de sururi celulare „pline” în sensul amintit, numai în cazul colorării difuze a vacuolei cu roșu neutru în roșu-violet. Această nuanță se obține, conform analizelor microspectrografice, în urma combinării chimice a colorantului vital cu diferite substanțe aparținind clasei flavonelor.

expus într-o lucrare recentă de sinteză a lui H. D r a w e r t (18). El arată că, în conformitate cu cercetările efectuate pînă în prezent, pot fi bănuite că avînd afinitate față de coloranții vitali bazici, substanțe dispersate în vacuole atît la nivelul molecular, cît și la cel coloidal.

Unii cercetători, îndeosebi W. P f e f f e r (43), iar mai recent O. H ä r t e l (23), (24), (25) au convingerea că diferenții compuși de natură taninică se combină chimic cu coloranții vitali bazici, ducînd apoi la formarea corpusculilor. Alții cred că substanțele în cauză ar putea fi: fenoli (18), lipidele vacuolare (54), diferenții acizi organici, ori alte substanțe cu moleculă mare (14), (34), (36), (48).

Alte cercetări (5), (9), (11), (17), (21), (22), (42), (50), ((55)), citat după (3), dintre care unele de date recentă și efectuate cu o aparatură extrem de fină (microspectrofotometre), pledează pentru prezența în vacuole a unei substanțe dispersate coloidal, cu natură chimică încă necunoscută, care este responsabilă de legarea coloranților vitali bazici. În acest caz moleculele de coloranți vitali ar putea fi reținute în vacuole și printr-un proces fizic de adsorbție.

În deplină concordanță cu aceste cercetări moderne, noi am presupus într-o lucrare anterioară (44) existența în sucurile celulare, în care se produc corpusculi în urma colorării vitale, a unor substanțe de natură lipidică, dispersate la cel mai înalt grad și legate de un complex coloidal. În timpul pătrunderii și acumulării coloranților vitali bazici, aceștia ar putea smulge din complexul coloidal componentul lipidic, cu care urmează să se combine într-un fel oarecare.

Trebue să constatăm însă că atît datele publicate de alți cercetători, cît și cele prezентate pînă acum de noi, nu sunt suficiente pentru a afirma, cu precizie, căruia compus chimic – din cei enumerați mai sus – îi aparține substanța „necunoscută” responsabilă de formarea corpusculilor, în urma colorării vitale. De aceea am considerat că efectuarea unor cercetări cît mai amănunțite în scopul identificării substanței sau a substanțelor ce se combină cu coloranții vitali bazici, precum și a proprietăților fizice pe care le posedă acestea, nu este lipsită de interes pentru citologie. Rezultatele precise ale unor cercetări de acest gen ar putea transforma colorația vitală într-un instrument adecvat, de la caz la caz, pentru determinarea unor substanțe în însăși celula vie.

TEHNICA DE LUCRU

Pentru a identifica natura chimică a substanțelor vacuolare, responsabile de formarea corpusculilor, ne-am servit de mai multe metode. Materialul vegetal utilizat a fost, ca și în cazul unor investigații anterioare (44), epiderma superioară de la solzii bulbulului de *Galanthus nivalis*.

Prima metodă utilizată a fost cea histochimică (31), (37), (41), (47), care în majoritatea cazurilor ne-a furnizat informații utile în problema urmărită. Totuși, rețelele histochimice recomandate de autorii citați nu ne-au putut oferi în toate cazurile date suficient de precise. De aceea ne-am vîzut nevoiți să apelăm la unele experiențe chimico-coloidale „model”, executate *in vitro*. Cu ajutorul lor am reușit să reproducem artificial, prin observație continuă la microscop, aproape toate fazele de formare a corpusculilor colorați din vacuole. Pe această cale, am putut să identificăm deci, cu o precizie irealizabilă prin metodele de pînă acum, acele substanțe care participă direct la formarea corpusculilor menționatați.

Afît corpusculii formați în sucul celular, cît și o parte din cei obținuți *in vitro* au fost observați nu numai la microscopul obișnuit, ci și la cel polarizant. Analizelor în lumina polarizată (4), (35) ne-a oferit o serie de date suplimentare cu privire la natura chimică a substanțelor ce intră în compoziția corpusculilor. Tot cu ajutorul ei am reușit să precizăm starea de agregare și structura lor fizică.

REZULTATE

Reacții cito-histochimice

Încă în lucrarea noastră anterioară (44) arătasem că lipidele, dispersate într-un complex coloidal din sucul celular, sunt în primul rînd responsabile de formarea corpusculilor colorați cu coloranții vitali bazici. Pentru a le identifica am utilizat doi reactivi (Sudanul III și albastru de nil) și mai multe metode de evidențiere.

Colorarea epidermei superioare a solzilor bulbulului de ghiocel cu Sudanul III (soluție alcoolică 70%) prin metoda lui L. D a d d i (13), nu a dat aceleași rezultate ca în citologia animală. Probabil că operația de spălare cu o soluție alcoolică de 50% a fragmentelor de epidermă, înainte de colorare, a dizolvat lipidele vacuolare responsabile de formarea corpusculilor. Nici la materialul fixat în prealabil cu formalină nu s-au obținut rezultate pozitive.

În schimb, colorarea cu Sudanul III a aceluiași material vegetal prin metoda lui B. R o m e i s (45), (46) a dat rezultate mult mai bune, dar numai evitînd fixarea prealabilă a fragmentelor de epidermă în formalină sau alcool. Soluția coloidală de Sudan III (alcool 40%), aplicată celulelor vii, colorează după 24–48 de ore atît lipidele din citoplasma cît și cele din vacuola. În acestea din urmă se formează de regulă o mulțime de sfere roșii-cărămizii, iar în cazuri mai rare chiar o singură sferă cu dimensiuni mai mari și de culoare galbenă sau galbenă-portocalie.

Cele mai bune rezultate în evidențierea lipidelor cu Sudan III s-au obținut însă prin tratarea celulelor vii cu soluția fundamentală (alcool 80%) din rețeta lui B. R o m e i s (47). În acest caz, după 3–4 ore de colorare, s-a putut surprinde în vacuole existența mai multor sfere de culoare roșie-cărămizie, pînă la roșie-vîșinie, indiciu sigur al existenței lipidelor. Cercetînd fragmentele de epidermă după un răstimp mai scurt (15–30 de minute) de colorare, am putut observa prezența în vacuole a unui precipitat amorf, colorat în nuanțe de portocaliu sau roșu-cărămiziu, din care mai tîrziu se individualizează sfere¹⁾.

Albastru de nil, în concentrația cerută de metoda lui A. J. C a i n (1947)²⁾, nu dă rezultate pozitive în cazul celulelor vegetale vii sau fixate. Colorantul utilizat se acumulează, în special în vacuole, într-o concentrație atît de mare încît nu este posibilă nici o clarificare a conținutului sucului celular. În schimb, se obțin rezultate interesante folosind acest

¹⁾ Trebuie să amintim că eficacitatea soluției de Sudan III în alcool 80% am verificat-o prin reacții executate și pe un alt material vegetal: cotledoane de lupin.

²⁾ Pentru detalii a se vedea manualul lui E. A. P e a r s e (41).

colorant specific lipidelor în diluții mult mai mari (1 : 10 000 sau 1 : 20 000). În acest caz celulele se colorează vital ca și cu roșu neutru. Vacuolele ne apar colorate în diferite nuanțe, de la albastru închis pînă la albastru deschis, iar pe fondul difuz apar din loc în loc și sfere mici, cu dimensiuni sub 2μ diametru, prinse într-o mișcare browniană, agitată¹⁾.

Rezultatele pozitive ale reacțiilor executate, și în mod special ale celor cu Sudan III, ne-au dovedit că în vacuolele celulelor epidermale de la solzii bulbului de ghiocel se găsesc localizate substanțe de natură lipidiică.

O altă serie de reacții histo chimice au fost consacrate evidențierii fenolilor și în special a taninurilor, substanțe presupuse de la W. Pfeffer (43) încoace drept cauza principală a legării coloranților vitali bazici în vacuole. Ca reactivi s-a utilizat o soluție de vanilină pentru fenoli și una de stricnină (1 : 1 000) pentru taninuri. În ambele cazuri s-a constatat că din vacuolele celulelor cercetate lipsesc practic vorbind atât fenolii și taninurile. Trebuie să remarcăm însă faptul că după tratarea cu stricnină, în loc să apară în vacuole precipitatul caracteristic reacției cu taninurile, la ghiocel s-au format mici sfere, ce se găseau la început într-o agitață mișcare, încetinită ulterior pe măsură ce corpusculii s-au contopit în sfere mai mari. Tratînd celulele încă vîi cu o soluție de I+IK 1%, reactiv specific și alcaloizilor, sferele s-au colorat în nuanțe de albastru-cenușiu. Substanțele cu care alcaloizii ar putea forma astfel de corpusculi, în urma reacțiilor executate *in vitro* ar putea să fie diferite săruri ale acizilor grași.

A doua problemă care trebuia lămurită prin reacții histo chimice, a fost aceea a naturii substanței sau substanțelor ce intră în compoziția presupusului „complex coloidal” din sucul celular.

În lucrarea noastră anterioară (44) arătaseem că lichidul vacuolar al celulelor epidermale de la ghiocel precipită prin tratarea cu o soluție alcoolică de 96%. Reacția ne-a făcut să presupunem că în vacuole se găsesc solvate, sub formă de soluție coloidală, diferite substanțe macromoleculare, de natură proteică. Pentru a ne verifica presupunerea, am executat două reacții histo chimice generale pentru evidențierea acestor substanțe. Atât reacția xanthoproteică, efectuată conform rețetei lui B. Romes (47), cît și cea a lui Millon, executată după indicațiile lui R. R. Bensley și I. Gersh (8), ne-au dovedit că în sucul celular nu se găsesc proteine ori, dacă se află, ele sunt în proporții minime, greu sau imposibil de sesizat prin metodele cito- și histo chimice utilizate.

Datele găsite în literatura de specialitate (19), (32), (51), (52), (56), cu privire la diferențele substanțe pe care le pot conține plantele din fam. *Amaryllidaceae*, ne-au sugerat ideea folosirii unui reactiv specific pentru identificarea saponinelor în vacuolele celulelor epidermale de la solzii bulbului de ghiocel. Aceste substanțe, după cum se știe (32), (51), (52), formează în medii apoase soluții coloidale, care precipită cu alcoolul absolut sau în concentrație de 96%. Dar reactivul specific pentru saponine este,

¹⁾ Evidențierea lipidelor cu acid osmic 1% nu s-a mai executat, întrucât acest reactiv intră în combinație și cu alte substanțe din sucul celular (31), (32) (de exemplu: taninuri, uleiuri eterice etc.).

conform metodei propuse de Combès¹⁾, hidratul de bariu concentrat, utilizat de noi în două moduri. Într-o variantă am supus acțiunii reactivului epiderme necolorate; în cea de-a doua, ne-am servit de fragmente tratate în prealabil cu roșu neutru, care aveau, prin urmare, vacuolele colorate fie difuz, fie prin formarea de corpusculi. Rezultatul acestei investigații a fost următorul: în toate sururile celulare se găsesc saponine, care precipită abundant în vacuole prin tratarea cu Ba(OH)₂ concentrat. Colorația vitală ne-a arătat însă că saponinele nu participă direct în formarea corpusculilor. În primele minute după ce reacția de precipitare a avut loc, corpusculii rămîn intacti schimbîndu-și treptat doar culoarea, datorită alcalinizării sucului celular prin hidratul de bariu. Ulterior, acest reactiv solvă corpusculii, fără a precipita însă toate substanțele care intră în compoziția lor; după aceea colorantul se răspindește difuz în vacuolă.

Prin urmare, cercetările histo chimice întreprinse, ne-au dovedit că în vacuolele celulelor epidermale ale solzilor bulbului de ghiocel se găsesc cel puțin două categorii mari de substanțe, care sunt responsabile direct sau indirect de geneza corpusculilor colorați. Prima și cea mai importantă o constituie substanțele lipide, care intră în compoziția corpusculilor colorați datorită afinității pe care o posedă colorantul vital întrebuințat (roșu neutru) față de acești compuși organici. A doua categorie o constituie saponinele, care formează, probabil, coloidul de fond al sucului cellular. Proprietățile lor fizice (puterea mare de emulsionare a grăsimilor și cele de stabilizatori ai emulsiilor) le fac să fie direct responsabile de dispersarea lipidelor identificate la un nivel coloidal și deci indirect de formarea corpusculilor.

*Reacții chimico-coloidale și microchimice „model” efectuate *in vitro**

Pornind de la premisa că sucul cellular reprezintă un amestec etrogen de substanțe, am imaginat o serie de experiențe chimico-coloidale și reacții microchimice „model” care să reproducă parțial complexul de condiții fizico-chimice din vacuolă.

În esență aceste experiențe s-au redus la punerea în contact a colorantului vital utilizat, în cazul nostru roșu neutru (1 : 1 000 în apă distilată), cu soluțiile pure sau în amestec ale mai multor substanțe bănuite ca responsabile de geneza corpusculilor în vacuole. Reacțiile s-au executat de regulă cu cantități mici de substanțe, pe lame de microscopie cu rigolă, observațiile efectuindu-se cu și fără lamelă.

Reacția dintre roșu neutru și taninuri. Pe o lame de microscopie s-a pus o picătură dintr-o soluție concentrată de tanin (pregătită din substanță chimic pură sub formă de pulbere sau prin extragere din făină de găle), peste care s-a adăugat o picătură de roșu neutru. Cele două lichide au reacționat imediat, formîndu-se un precipitat pe care l-am examinat apoi la microscop. Pentru problema urmărită de noi rezultatul a fost

¹⁾ Pentru amănunte a se vedea (31), (32).

negativ. Taninul a format cu roșu neutru pelicule de culoare roșie-roz, pînă la roșie-vișinie pe suprafața picăturii, iar în interiorul ei precipitate amorfe colorate în aceleasi nuanțe. Nu s-a observat nici urmă de corpusculi sau cristale, care să ne amintească de formațiunile observate în vacuolele celulelor epidermale de la ghiocel. Este greu de admis deci, pe baza acestei reacții, că taninurile sunt responsabile de geneza corpusculilor.

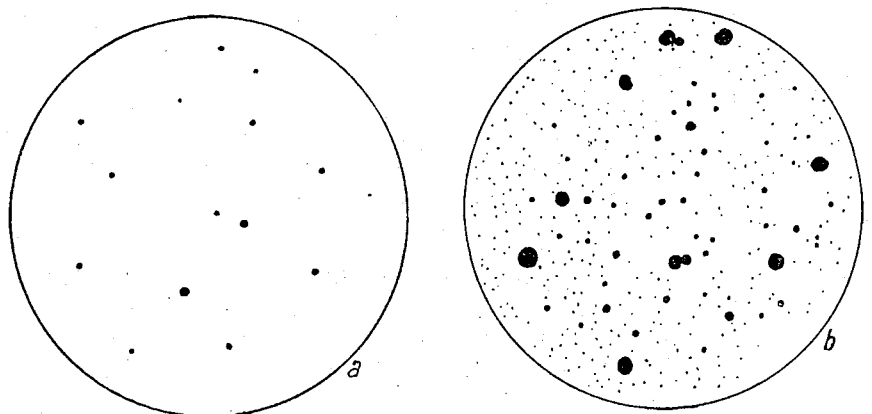


Fig. 1. — a, Corpusculi colorați formați în urma colorării cu roșu neutru a unei soluții de fenol 5%; b, aceiași corpusculi după adăugarea unei soluții tampon de fosfați.

Reacția dintre roșu neutru și fenol. Pe o lamă de microscopie s-a pus o picătură dintr-o soluție proaspătă¹⁾ de fenol 5% în apă distilată. Apoi s-a adăugat o picătură de roșu neutru. Observația microscopică ne-a arătat că fenolul reacționează cu roșu neutru formînd corpusculi sferici de dimensiuni foarte mici, între 0,5 și 1 μ diametru (fig. 1, a). Ei se află într-o puternică agitație, dar numărul lor fiind neînsemnat, probabilitatea de a forma corpusculi mai mari în urma cionirilor și a coalescenței este foarte redusă, chiar după un timp mai îndelungat de la săvîrșirea reacției.

Adăugarea unui amestec format din: $\text{PO}_4\text{H}_2\text{K}$ (1/15 M) și PO_4HNa_2 (1/15 M), în cele mai diferite proporții, dar corespunzătoare unor variații de pH cuprinse între 5,8 și 7,6 induce în unele cazuri²⁾ formarea unor corpusculi sferici cu dimensiuni mult mai mari (fig. 1, b). Aceștia au de regulă o culoare roșie-vișinie, se contopesc rapid între ei și adeseori ajung să formeze sfere de 30–40 μ diametru. Comportarea lor este deci întratotul asemănătoare cu aceea a unor picături ce se formează într-o emulsie de tip U : A (ulei în apă), în cazul a două lichide nemiscibile. Observația ne convinge că pH-ul joacă un rol categoric în geneza acestor corpusculi.

¹⁾ Soluțiile învechite nu mai reacționează cu roșu neutru prin formarea de corpusculi, deoarece ele se oxidează și își pierd proprietățile tensio-active.

²⁾ Trebuie să notăm faptul că în funcție de prospețimea soluției de fenol și de proveniența acestuia se pot forma uneori corpusculi și cu alte forme decât cea sferică.

Experiențele efectuate cu ajutorul fenolului ne dovedesc că în celele vegetale care conțin fenoli geneza corpusculilor este posibilă.

Colorarea cu roșu neutru a unei emulsii nestabile de ulei vegetal sau de acid oleic pur. Reacțiile histochimice efectuate ne-au dovedit că în succurile celulare, unde se formează corpusculi, există substanțe de natură lipidică. Aceste lipide vacuolare pot fi bănuite ca avînd o afinitate puternică cu coloranții vitali bazici.

O primă sarcină a fost, deci, să se constate în ce măsură reacționează grăsimile neutre și acizii grași liberi cu roșu neutru.

Intr-o eprubetă s-a turnat o picătură de ulei vegetal comestibil sau una de acid oleic (rezultatul a fost același în ambele cazuri), adăugîndu-se 2–3 cm³ de apă distilată. S-a agitat apoi puternic și îndelungat pînă lă obținerea unei emulsii instabile de tip U : A. Această s-a emulsie colorat apoi cu roșu neutru continuîndu-se agitarea. Din amestecul obținut s-a examinat la microscop cîte o picătură.

S-a observat foarte ușor structura emulsiei. Ea este alcătuită din picături de ulei vegetal sau acid oleic de diferite dimensiuni, colorate în nuanțe de roz deschis pînă la roz închis. O parte din colorant rămîne însă în mediul de dispersie a picăturilor emulsionate.

Prima constatare este că sferele formate în emulsie prin disperarea unui lichid în celălalt nu sunt de loc identice cu corpusculii observați în vacuolele celulelor epidermale de la ghiocel. Este drept că picăturile emulsionate se contopesc rapid, dar culoarea lor și modul în care se formează sunt indicii sigure că ele nu sunt identice cu corpusculii observați în vacuole. Colorarea picăturilor de acid oleic sau ulei vegetal cu roșu neutru se dătoarează numai pătrunderii colorantului liposolubil printr-un proces de dizolvare simplă.

Colorarea cu roșu neutru a unor soluții de săpun provenit din grăsimi animale. Experiențele efectuate cu grăsimile neutre sau cu acizii grași liberi ne-au dovedit că lipidele identificate în vacuole, trebuie să fie legate de presupusul complex coloidal sub altă formă. Una din ipotezele de lucru, care după cum vom vedea s-a dovedit să fie extrem de fecundă, a fost aceea a prezenței lipidelor în vacuole sub formă de săruri ale acizilor grași. Acestea, după cum se știe (2), (12), (15), (49) formează foarte ușor soluții semicoloidale.

S-a făcut deci într-o eprubetă o soluție diluată dintr-un săpun existent în comerț, calitatea a II-a (săpun „cheie”). Aceasta am colorat-o apoi cu roșu neutru.

Privind la microscop o picătură din amestecul obținut, am observat mai ales prezența unor cristale aciculare, colorate în galben, roșu-cărămiziu sau chiar roz. Unele cristale erau asteriforme. Prin încălzire la 50–60°, aceste cristale se transformau în corpusculi sferici, colorați intens în roșu-vișinie. Prin răcire ei se recristalizau. Dacă se adăuga amestecului de pe lamă o picătură dintr-o soluție de acid acetic 1%, atunci numeroase cristale aciculare se transformau în corpusculi sferici, obținîndu-se forme foarte asemănătoare cu șiragurile descrise în lucrarea noastră anterioară (44)¹⁾.

¹⁾ fig. 6.

Acstea observații ne-au furnizat deci, primele date prețioase asupra stării substanțelor lipidice dispersate în sucul celular. Ele sunt cu siguranță în mare parte săruri ale diversilor acizi grași, solvate în solul coloidal al vacuolei. Pentru a dovedi pe deplin această afirmație am executat o serie de experiențe *in vitro*, de această dată cu diferiți compuși în stare pură și în diferite amestecuri.

Colorarea cu roșu neutru a sărurilor de Na, NH₄, K și Ca ale acidului oleic și ale linoleiatului de Na în amestec. Prin neutralizarea acidului oleic pur cu hidrații respectivi s-au obținut oleatul de Na, NH₄, K și Ca. Sarea de Na a acidului linoleic s-a obținut prin saponificarea cu hidrat de Na 20% a uleiului de nucă, care — conform datelor lui C. W e h m e r (56) — conține : 78—83% acid linoleic, 14—15% acid oleic și circa 4% acid linolenic.

Din aceste săruri s-au pregătit apoi soluții diluate, pe care le-am colorat cu roșu neutru pe o lamă de microscopie. Observația la microscop n-a fost întreruptă în tot timpul efectuării colorării.

S-a observat că, prin adăugarea unei picături de roșu neutru la o soluție diluată de oleat de Na, în interiorul acesteia se formează instantaneu o mulțime de corpusculi mici punctiformi, de culoare roșie-cărămizie, pînă la roșie-vîsinie. Prin coalescență acești corpusculi cresc pînă ajung la dimensiuni apropiate de cele înregistrate în vacuolele celulelor epidermale de ghiocel (fig. 2, a).

Forma corpusculilor este în funcție de pH-ul mediului. La un pH = 7, sau mai alcalin, predomină formele nesferice: granulațiile și în cele din urmă cristalele. Culoarea acestor corpusculi variază de la roșu-vișiniu în mediul neutru, la roșu-cărămiziu în medii din ce în ce mai alcaline. Înspite valorile scăzute ale pH-ului, deci în medii acide, predomină corpusculii sferici, care și schimbă treptat culoarea de la roșu-vișiniu la roșu-zmeuriu. În cazul adăugării unei picături de acid acetic 1%, corpusculii se contopesc foarte rapid în sfere mari, de culoare roz deschis. În cele din urmă acidul oleic pur se stratifică la suprafața picăturii de pe lama de microscopie, iar acidul acetic se combină cu Na.

Prezența soluțiilor tampon de fosfați, ca și în cazul combinării roșului neutru cu fenolul, s-a dovedit a avea o deosebită importanță pentru formarea corpusculilor. Probabil că pH-ul modifică proprietățile soluției de oleat de Na. În lipsa roșului neutru, fosfații au provocat, în soluțiile diluate de oleat de Na, geneza unor corpusculi incolori (forme „leuco”) care prin colorație ulterioară au absorbit colorantul.

În cazul oleatului de NH_4 se formează cu roșu neutru numai corpusculi sferici de culoare roșie-cărămizie, pînă la roșie-vișinie. Cei care ajung în contact unul cu altul se contopesc după un timp în corpusculi mai voluminoși. Cu oleatul de K, de asemenea se formează numai corpusculi sferici, dar de culoare roșie-violetă intens (fig. 2, b). Colorind o soluție de oleat de Ca cu roșu neutru, se formează numai cristale. Ele au de regulă o culoare galbenă sau galbenă-portocalie; forma lor este mai adesea aciculată, filiformă sau asteriformă (fig. 2, c).

În cazul săpunului obținut din uleiul de nucă, prin tratarea cu roșu neutru în prezența soluțiilor tampon de fosfati, se formează numai corpus-

culi sférici, care se contopesc în sfere mai mari mult mai rapid decât corpusculii alcătuiți din săruri ale acidului oleic. Prezența într-o proporție mare a acidului linoleic, cu punctul de topire scăzut (-18°) în uleiul de nuca¹⁾, este desigur cauza acestui comportament al corpusculilor formati.

Deci, prin aceste experiențe, se constată că procesul de apariție și evoluție, precum și morfologia corpusculilor formati *in vitro* prin acțiunea

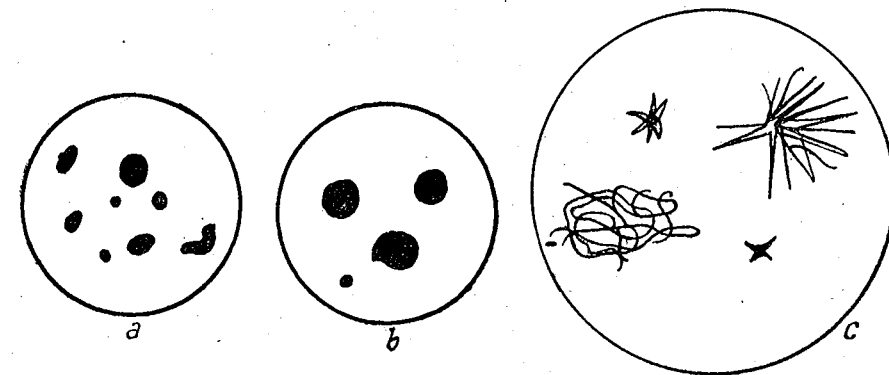


Fig. 2. — Corpusculi colorați formați în urma colorării unei soluții de: *a*, oleat de Na; *b*, oleat de K; *c*, oleat de Ca.

roșului neutru asupra soluțiilor diluate ale sărurilor acizilor grași, sănt perfect asemănătoare cu ale corpusculilor formați în celula vie în urma colorației cu același colorant.

Concluzia ce se impune din aceste constatări este că în sucurile celulare, în care pe fondul difuz colorat se formează cu roșu neutru sau alți coloranți vitali bazici corpusculi de diferite forme, substanțele de natură lipidică — cu o afinitate deosebită față de acești coloranți — se găsesc probabil în cea mai mare parte sub formă de săruri diferite ale acizilor grași. Această concluzie este cu atit mai întemeiată, cu cît dintr-un amestec egal proporționalat de taninuri și oleat de Na, de exemplu, taninurile precipită cu roșu neutru independent, ca o substanță amorfă, în timp ce sareea acidului gras formează corpusculii caracteristici.

Rolul saponinelor în geneza corpusculilor. Investigațiile cito-histochimice efectuate de noi au atestat prezența saponinelor în vacuolele celulelor epidermale de la solzii bulbului de ghiocel. Totodată s-a dovedit că, deși saponinele se găsesc din abundență în sucurile celulare cercetate, ele nu participă la formarea corpusculilor. K. P a e c h (40) și, mai recent alții cercetători (51), (52), arată că prezența saponinelor în sucurile celulare este întotdeauna asociată cu aceea a lipidelor. Pornind de la aceste date am încercat să elucidăm, cu ajutorul unor experiențe chimico-coloidale „model”, rolul saponinelor în geneza corpusculilor.

¹⁾ A se vedea mai sus datele lui C. Webmer (56).

În acest scop am ales digitonina, o saponină cu compoziție chimică și proprietăți fizice bine cunoscute (32), (52). Soluția coloidală de 1% ne-a servit drept reactiv de bază pentru această serie de experiențe.

În primul rînd am cercetat reacția dintre digitonină și roșu neutru. Pe o lamă de microscopie am pus o picătură din soluția de 1% digitonină peste care am adăugat roșu neutru. Observația microscopică ne-a dovedit

că digitonina singură, deci cu cea mai mare probabilitate și alte saponine, nu reacționează cu roșu neutru prin formarea de corpusculi.

În schimb, după cum se știe (32), (40), (52), digitonina este un bun emulgator al substanțelor grase.

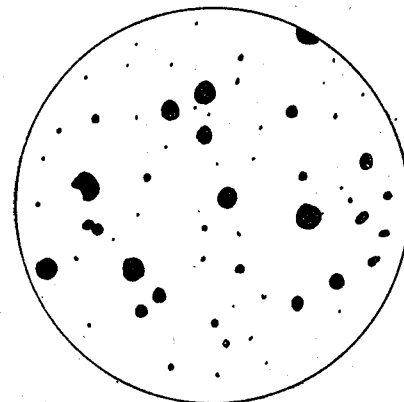
Într-o eprubetă am turnat 2–3 cm³ din soluția coloidală de digitonină 1%. Am adăugat apoi una sau cîteva picături de acid oleic pur. Soluția de digitonină a provocat instantaneu emulsificarea acidului gras, iar la microscop s-a putut observa cu ușurință componentul dispersat sub forma unor picături de diferite dimensiuni, avînd 1–50 μ în diametru. Prin adăugarea unei picături de roșu neutru, sferele din emulsie se colorau treptat în nuanțe de roz deschis. Dacă s-a adăugat ulterior un amestec

Fig. 3.—Corpusculi colorați formati prin colorarea cu roșu neutru, în prezența soluțiilor tampon de fosfați, a unui amestec de digitonină 1%, acid oleic pur și oleați de Na și K.

de PO₄H₂K și PO₄HNa₂ (soluție 1/15 M), aceasta a provocat o intensificare a colorării sferelor de acid oleic și totodată a mărit tendința lor de a se contopi unele cu altele.

Într-o altă eprubetă am făcut un amestec în proporție egală dintr-o soluție de digitonină 1% și o soluție diluată de oleat de Na. La acest amestec am adăugat 1–2 picături de acid oleic pur. Am pus pe o lamă de microscopie o picătură din emulsia obținută și am colorat-o cu o soluție de roșu neutru. Pe lîngă picăturile existente de acid oleic au început să se formeze și corpusculi sferici, foarte asemănători cu cei observați în vacuoile celulelor epidermale de la solzii bulbului de ghiocel (fig. 3). Adăugarea unui amestec de PO₄H₂K și PO₄HNa₂, de exemplu în proporția obținerii unui pH de 5,8–6,1, a provocat rapidă formare de noi corpusculi. În același timp pH-ul amintit a favorizat colorarea în roșu-vîșiniu a sferelor de acid oleic pur, existente în emulsie. Comportarea corpusculilor sferici obținuți din amestecul menționat mai sus, a fost întrutotul asemănătoare cu aceea a sferelor colorate formate în sucul celular prin colorația vitală.

Această serie de experiențe executate pe modele chimico-coloidale *in vitro* ne-au dovedit că, deși saponinele nu participă în compoziția chimică a corpusculilor sferici, ele condiționează geneza acestora prin proprietățile lor fizice. Saponinele constituie, deci, coloidul de bază al vacuoanelor cercetate și totodată provoacă dispersarea căi mai puternică în sucul cellular a tuturor substanțelor de natură lipidică.



Analiza corpusculilor formați în vacuoile și *in vitro* cu ajutorul microscopului polarizant

Cu ajutorul microscopului cu lumină polarizată am analizat diferenții corpusculi care s-au format fie în vacuoile ca rezultat al colorației vitale, fie *in vitro* prin reacțiile „model” efectuate.

Dacă observăm un fragment din epiderma superioară a bulbului de ghiocel, colorat vital cu roșu neutru, la un microscop cu lumina polarizată, vom constata că din momentul apariției lor diferenții corpusculi posedă atrăgătoarele cristalelor. Orice formă ar avea, ei se caracterizează în general prin dubla refracție, prin culoare diferențială la rotirea cu 360° și prin două sau patru poziții de extincție.

După proprietățile optice pe care le manifestă în lumina polarizată putem face distincția între mai multe categorii de corpusculi.

Corpuseculi sferici, atunci când sunt încă mici, deși în lumina albă nepolarizată apar colorați în roșu, în lumina polarizată, prin încrucișarea nicolilor, apar colorați în nuanțe de galben-verzui, pînă la galben-auriu. Prin rotirea cu 360° pot să prezintă extincție în două poziții.

Corpuseculi sferici, cu dimensiuni mai mari de 3–5 μ, apar colorați în roșu aprins în lumina polarizată, cu totul într-o altă nuanță de roșu decît aceea pe care o prezintă în lumina albă nepolarizată. Este interesantă observația că prin rotirea cu 360°, acești corpusculi nu arată extincție în nici o poziție. Dacă ei posedață însă apendici spiniformi, ori dacă ei se însiruie în șiraguri, atunci apendicii și portiunile subțiate dintre sferele însiruite, prezintă extincție în cel puțin două poziții.

Există o categorie de corpusculi sferici, care se formează mai ales în epidermele recoltate de pe bulbii învechiți sau de pe solzii cei mai externi după circa 24 de ore de la colorare; în lumina polarizată aceștia ne apar colorați tot în roșu aprins, dar sunt străbătuți de numeroase zone concentrice subțiri și întunecate. În același timp ei au o cruce de extincție caracteristică, care se păstrează și în cursul rotirii (fig. 4).

În sfîrșit, cristalele — îndeosebi cele în formă de plăci rombice sau hexagonale — prezintă, prin rotirea cu 360°, fenomenul de pleiochroism și patru poziții de extincție. În lumina polarizată și cu nicolii încrucișați ele apar în anumite poziții colorate în nuanțe galbene ori galbene-verzui. În apropierea poziției de extincție, ele devin portocalii, apoi roșii-arămii și în cele din urmă brune. Urmează extincția după care culorile se succed în sens invers pînă la culoarea galbenă sau galbenă-verzuie.

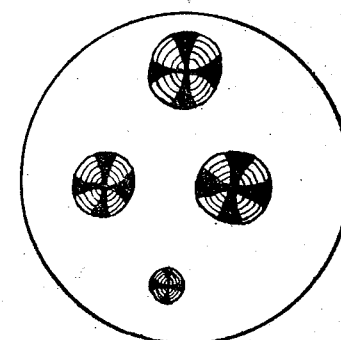


Fig. 4.—Corpusculi din solzii învechiți, văzuti la microscopul polarizant; se observă cercuri concentrice întunecate și crucea de polarizare (ei sunt alcătuși preponderent din sterine și roșu neutru).

Sînt semnificative observațiile făcute asupra corpusculilor sferici, care în fazele mai înaintate ale colorației traversează tonoplastul. Microscopia cu lumină polarizată ne-a arătat că atît timp cît corpusculii se găsesc în vacuole ei prezintă dubla refracție și colorația suplimentară (mono- sau dichrosim). De îndată ce traversează tonoplastul, corpusculii își pierd natura cristalină și în lumina polarizată prin încrucișarea nicoililor nu mai arată spectaculoasa colorație suplimentară.

În cazul corpusculilor formati *in vitro* am constatat că la temperatura obișnuită a camerei ($18-22^{\circ}$), numai aceia în compoziția cărora intră oleatul de Ca sau Na, posedă în lumina polarizată caracteristicile cristalelor. Corpusculii formati prin participarea acidului oleic, a oleatului de K sau a fenolului se comportă ca niște lichide perfect izotrope. În cazul unui amestec, sărurile de Na și Ca ale acidului oleic pot conferi proprietatea de cristal și corpusculilor alcătuitori din alte substanțe de natură lipidică dar polare, dacă acestea se găsesc într-o proporție însemnată.

Cercetările executate la microscopul polarizant, aruncă deci o lumină nouă asupra naturii fizice și chimice a corpusculilor ce se formează în unele sucuri celulare prin colorația vitală cu roșu neutru. Ele ne dovedesc că toti corpusculii care se formează în vacuole posedă o structură cristalină. În cazul sfero-cristalelor această structură se poate pierde prin traversarea tonoplastului. Nu este cazul să intrăm aici în amănunte de cristalografie,oricit de prețioase ar fi ele pentru elucidarea problemei, nemărginim doar să semnalăm infinita gamă de cristale lichide, care se pot forma în vacuole prin legarea fizică sau chimică a coloranților vitali bazici de anumite substanțe de natură lipidică.

Multiplă varietate a cristalelor lichide ce se formează în unele sucuri celulare, prin colorația cu roșu neutru și diferențele lor proprietăți analizate în lumina polarizată, ne dovedesc că lipidele vacuolare care le dău naștere, sunt tot atît de variate. Folosindu-ne de datele obținute de noi și de diagnozele lui L. Lison (35) suntem îndreptăți să considerăm că în compozitia sfero-cristalelor care nu prezintă crucea de extincție intră cu preponderență sărurile de Na ale diferenților acizi grași, apoi în cantitate mai mică chiar acizi grași liberi sau grăsimile neutre.

În compozitia sfero-cristalelor, care arată o structură stratificată (datorită zonelor întunecate concentrice) și crucea de extincție, intră cu siguranță diferenți esteri și alte combinații ale sterinelor. Prezența crucii de extincție este cea mai bună dovdă a participării preponderente a sterinelor la alcătuirea acestor corpusculi și, în același timp, a lipsei din compozitia lor a acizilor grași sau a sărurilor lor.

Cristalele în formă de plăci — fie rombice, fie hexagonale — sunt alcătuite la fel aproape numai din diferențe sterine.

Cristalele neregulate, dar în special cele asteriforme și filiforme, sunt constituite în primul rînd din sărurile de Ca ale diferenților acizi grași.

Avînd în vedere proprietățile diferenților acizi grași, îndeosebi temperaturile lor de topire, deducem că: acizii linoleic (-18°), linolenic (-11°), ricinoleic (6°) și oleic (14°) trebuie să fie cei mai frecvenți în vacuole, mai ales sub formă de săruri.

DISCUȚIA REZULTATELOR

Informațiile obținute asupra naturii chimice a substanțelor responsabile de formarea corpusculilor, precum și cele cu privire la starea fizică a sucului celular și a corpusculilor nou formati, ne permit să discutăm problema colorației vitale cu coloranții bazici, dintr-un nou punct de vedere, atins în treacăt pînă acum, acela al chimiei coloidale moderne¹⁾.

Mai întîi este necesar să facem cîteva considerații asupra *stării fizice a sucului cellular* în care se formează corpusculii, încă înainte, ca soluția colorată să fi pătruns în el. În conformitate cu rezultatele cercetărilor noastre, sucul vacuolar al celulelor din epiderma superioară a solzilor bulbului de ghiocel trebuie să fie constituit dintr-o soluție coloidală destul de complexă. Diferenții componenți ai sucului cellular se găsesc dizolvăți în ea la diferențe niveluri de dispersie. Sărurile minerale, zaharurile și alte substanțe cu moleculă mică formează soluții moleculeare; saponinele identificate, probabil și cîteva substanțe cu moleculă mare, alcătuiesc o soluție coloidală. Un loc aparte îl ocupă lipidele vacuolare. Sărurile acizilor grași și sterinele formează soluții semicoloidale (2), (12), (15), (49), iar acizii grași liberi și grăsimile neutre, dacă există, datorită pe de o parte saponinelor, iar pe de altă parte chiar sărurilor lor, se disperseză la un nivel coloidal, formînd probabil o emulsie. Aceasta nu se observă la microscopul cu cîmp luminos sau la cel cu contrast de fază, urmează să o considerăm deci drept o emulsie submicroscopică sau un emulsoïd²⁾.

Trebuie să acordăm emulsoïdului și soluției semicoloidale o atenție deosebită, deoarece — după părerea noastră — tocmai ele ar conține pe plan submicroscopic „în germene” corpuseculi colorați.

Emulsoïdul ar putea fi constituit din picături foarte fine de substanțe lipidice, de dimensiuni submicroscopice, stabilizate de saponinele prezente în vacuolă. Acestea din urmă, datorită proprietăților superficial active pe care le posedă, pot alcătui, la suprafața picăturilor, pelicule protectoare foarte rezistente (12), (49). Soluția semicoloidală, după datele chimiei coloidale (2), (12), (15), (49), este constituită atît din particule dispersate la nivel molecular (molecule izolate), cît și din particule dispersate la un nivel coloidal (aggregate moleculeare sau „micele”)³⁾. Mice-

¹⁾ Interpretarea chimico-coloidală a rezultatelor noastre a fost revăzută de prof. I. Cădariu și E. Chițu de la Catedra de chimie fizică a Facultății de chimie, Universitatea „Babeș-Bolyai”, Cluj. Pentru sugestiile date cu privire la redactarea acestei părți din lucrare, le exprimăm inimulurile noastre.

²⁾ Emulsoii constituie o categorie specială de emulsiile care, prin gradul de dispersie a picăturilor componente, se apropie de soluțiile coloidale; a se vedea A. P. Ruțkow (49), p. 263.

³⁾ Micele din soluțiile semicoloidale au fost mai bine studiate în cazul săpunurilor. Cercetările chimistilor fizicieni J. Mc Bain (1920, 1935), E. G. Hartley (1936, 1939) și P. A. Rebinde (1937) — pentru amănunte a se vedea S. Anastasiu și E. Jelescu (2) — efectuate cu ajutorul razelor X, au dovedit că aceste micele pot să aibă forme destul de variate. În general sunt recunoscute două tipuri principale de micle: sferice și liniare. Ambele iau naștere prin asocierea moleculelor datorită forțelor slab de coeziune *van der Waals*, care leagă extremitățile nepolare, partea hidrofobă, ale acestora. Prin urmare, dacă micela este sferică, la suprafața ei se vor dispune numai polii hidrofilii ai funcției R-COO_{Me} sau R-COOH. Aceștia pot fi parțial disociați și astfel micela se încarcă electronegativ, iar în jurul ei se dispune un strat de ioni cu sarcină contrară.

lele ar putea constitui în ultima analiză cea mai fin dispersată fază a emulsoidului din sucul celular.

Reacțiile cito-histochimice efectuate de noi, dar mai ales cele chimico-coloidale executate *in vitro*, ne permit să credem că atât picăturile emulsoidului, cât și miclelele disperse în sucurile celulare nu sunt constituite dintr-o singură substanță. Să luăm de pildă cazul miclelor; în interiorul lor, prin fenomenul cunoscut în chimia coloidală de solubilizare micelară (2), (49), s-ar putea intercala printre moleculele substanelor constitutive și moleculele altor substanțe polare. Astfel, dacă o micelă este constituită din sareea de Na și unui acid gras, în alcătuirea ei ar mai putea intra sărurile de Na ale altor acizi grași, apoi sărurile de NH₄, K și Ca, acizi grași liberi sau diferite substanțe de natură sterinică. Acest rationament rămîne valabil și în cazul picăturilor mai mari ce alcătuiesc fază dispersată a emulsoidului. În concluzie, „germenii”¹⁾ corpusculi colorați din sucul celular ar putea fi formați din moleculele mai multor substanțe care au proprietăți fizice asemănătoare. În funcție de proporția diferitelor substanțe și de structura moleculelor componente presupunem că forma submicroscopică a „germenilor” corpusculilor din sucul cellular ar putea fi de asemenea foarte variată. Un indiciu cu privire la formele multiple ale diferenților „germeni” cristalini submicroscopici disperși în sucul cellular l-ar putea constitui, după părerea noastră, nesfîrșita gamă de cristale lichide ce iau naștere drept urmare a colorației vitale. Această opinie este sprijinită și de ipoteza, verosimilă, după cum vom vedea în cele ce urmează, că în cazul formării corpusculilor legarea colorantului se face prin procese pur fizice de adsorbție și solvatare.

A doua problemă care necesită o discuție este aceea a genezei corpusculilor în vacuoile în urma colorației vitale. Aspectele microscopice succeseive ale apariției corpusculilor au fost pe larg descrise în lucrarea noastră anterioară (44), dar procesele chimico-coloidale ce au loc cu această ocazie n-au fost încă în suficientă măsură dezbatute. În cele ce urmează vom prezenta o ipoteză întemeiată pe considerațiile făcute asupra stării fizice a sucurilor celulare în care se formează corpusculii colorați.

Datele existente în literatură (54) ne arată că roșu neutru, colorantul utilizat de noi, se solvă mai ușor în lichidele organice nepolare sau polare decât în apă. Dar, celulele vii, după cum ne este binecunoscut, pot absorbi coloranți vitali numai din soluțiile apoase. Prin urmare, ei ajung sub această formă în interiorul vacuolei și întilnesc picăturile de substanțe lipidice disperse în emulsoid. În conformitate cu legea de distribuție a lui Nernst, privitoare la echilibrul dintre două soluții ale aceleiași substanțe solvată în două lichide puțin solubile sau insolubile unul în altul, cea mai mare parte din colorant se va repartiza în lichidul în care se solvă mai ușor. În cazul nostru, roșu neutru va pătrunde selectiv și în cantitate mult mai mare în picăturile emulsoidului. Pătrunderea lui în picături se face pe baza unor fenomene fizice de adsorbție și solvatare (extractie prin solvent). Deoarece lipidele care participă la formarea

acestor picături, după datele noastre, sănătatea mai mare parte substanțe polare (acizi grași liberi, săruri ale acizilor grași, sterine), ne putem aștepta ca o dată cu colorantul să pătrundă și o parte din solvantul inițial al acestuia (apa).

Procesul nu se oprește sănătatea, deoarece – în urma colorației vitale – apar corpusculii colorați, de dimensiuni microscopice, pe baza creșterii „germenilor”, prin fenomene încă neelucidate. Una din explicațiile probabile ar fi aceea că roșul neutru, în condițiile de pH existente în vacuoile, provoacă distrugerea emulsoidului. Aceasta este posibilă numai în cazul cînd colorantul înălătură stratul protector de saponine de pe suprafața picăturilor din emulsoid și astfel, pe baza legilor termodynamice, ar favoriza autodistrugerea emulsiei. În sprijinul acestei ipoteze există cîteva fapte experimentale, dar încă insuficiente pentru completa ei fundamentare. Astfel, ne sănătatee din literatură experiențele lui G.W. Schart (50), care a obținut geneza corpusculilor colorați în sucurile celulare de ceapă (*Allium cepa*) colorate difuz cu roșu neutru, în urma unui tratament cu cafeină sau cu NH₃ foarte diluat. În experiențele făcute de noi am indus formarea unor corpusculi necolorați în celulele epidermale de la ghiocel prin tratarea lor cu o soluție de stricnină. *In vitro* de asemenea am obținut geneza de corpusculi necolorați din soluțiile sărurilor acizilor grași prin adăugarea unei soluții tampon de fosfați, cu pH-ul oscilant în jurul punctului de neutralitate. Toate aceste fapte ne dovedesc că un anumit pH poate favoriza formarea de corpusculi și că alcalozii pot distruge stratul protector de saponine. Considerăm sănătatea că pentru verificarea ipotezei noastre sănătatee noi cercetări de citofiziologie și chimie coloidală, efectuate atât la nivelul sucurilor celulare, cât și *in vitro*.

În procesul de creștere a picăturilor, în afară de simpla autodistrugere a emulsoidului, putem presupune că și substanțele lipidice disperse în sucul celular sub formă de micle, sau de molecule izolate, au un rol propriu.

Întregul proces poate fi și mai complicat dacă ținem seamă și de faptul că moleculele roșului neutru, sănătate după cum atestă cercetările lui P. Bartels (6), (7), prezintă la anumite valori ale pH-ului mediului (de exemplu: 5,89 și 7,38) un efect de polimerizare, unindu-se în agregate de doi pînă la patru cationi. Însă datele existente în literatura de specialitate, îndeosebi de citologie animală (10), ne arată că în afară de valoarea pH-ului, polimerizarea coloranților vitali bazici la un nivel mult mai înalt poate fi favorizată și de prezența sărurilor acidului fosforic.

Oricare ar fi complicațiile procesului prin care se realizează creșterea picăturilor pînă la dimensiuni microscopice, el trebuie să fie însotit de o pătrundere, ordonată și orientată în jurul unui ax de simetrie definit, atât a moleculelor de roșu neutru, cât și a noilor molecule de substanțe lipidice. Numai astfel ne putem explica de ce corpusculii colorați, avînd diferențe dimensiuni și forme, posedă o structură complexă și toate caracteristicile cristalelor lichide.

Comportarea ulterioară a corpusculilor sferici, foarte asemănătoare unei emulsii de tip U : A, a fost discutată în lucrarea noastră anterioară (44).

¹⁾ Noțiunea de „germene” o întrebuițăm aici, nu în sensul restrîns al chimiei coloidale de germene micelar sau cristalin, ci în sensul mult mai general de corp sau corpuscul inițial

În urma datelor obținute de noi și în lumina celor discutate mai sus, mai trebuie lămurită încă o problemă mult dezbatută în literatura de specialitate, aceea a modului în care colorantul vital se leagă de substanțele vacuolare responsabile de formarea corpusculilor. Înăuntrul, acum, în această privință au fost exprimate două categorii de opinii. O parte din cercetători (14), (16), (18), (23), (24), (25), (26), (27), (28), (34), (36), (43), (48), (53), (54) cred că substanțele din sucul celular leagă coloranții vitali bazici printr-o reacție chimică. Acei care admit existența în sucul cellular a unui coloid (5), (9), (11), (17), (21), (22), (42), (50), ((55) citat după (3)) împărtășesc, dimpotrivă, părerea că legarea coloranților vitali în sucul cellular pentru a forma corpusculii amintiți se face prin intermediul unor forțe pur fizice, de adsorbție de exemplu.

Ipoteza legării chimice a coloranților bazici este mai greu de conceput și încă neverificată experimental¹⁾. Dar, unele date experimentale existente, precum și discuția cu privire la mecanismul probabil de geneză a corpusculilor colorați, aduc dovezi în sprijinul ipotezei legării fizice (prin adsorbție și solvatare) a coloranților vitali bazici.

Este suficient să ne adresăm în această privință, observațiilor lui J. Gieckhorn (20) care a constatat, de exemplu, că o plasmoliză puternică distrugе corpusculii sferici formati prin colorația vitală cu roșu neutru în vacuolele celulelor din pulpa fructului de *Symporicarpus*. La o concentrație de 0,5 n a $\text{NO}_3\text{-K}$ corpusculii de regulă dispărău, dar se formau din nou prin readucerea celulelor în soluții hipotonice. Fenomenul l-am observat și noi în cazul celulelor din epiderma superioară de la solzii bulbului de ghiocel (date încă nepublicate). Aceste observații ne fac să bănuim că bilanțul de apă al celulei — starea de diluare a sucului cellular — joacă un rol important în geneza corpusculilor. Dacă aceștia să ar formeze printr-o legare chimică a coloranțului, atunci lipsa de apă în vacuole, provocată de plasmoliza puternică, n-ar trebui să ducă la solvarea sau dispariția lor, ci dimpotrivă la precipitarea lor. Contribuția apei la formarea corpusculilor este deci inexplicabilă în ipoteza legării chimice a coloranților vitali bazici.

Înainte de a încheia discuția este necesar să revenim, pe baza datelor furnizate de microscopia în lumina polarizată, asupra interesantului proces de traversare a tonoplastului de către corpusculii sferici. Am constatat, cu ocazia expunerii rezultatelor, că acei corpusculi care trec peste tonoplast și se localizează în citoplasmă își pierd prin aceasta atritivele de cristal lichid. Ei nu mai prezintă birefringență, iar culorile lor suplimentare, care apărău în lumina polarizată prin încrucișarea nicolilor, se pierd. Indicații asemănătoare găsim și în cercetările lui J. Gieckhorn (20), care observă și el dispariția birefringenței și a culorii suplimentare, fără să specifică că este vorba de corpusculi localizați deja în citoplasmă.

¹⁾ În cazul sucurilor celulare „pline”, în sensul lui K. Höfle, legarea chimică a coloranților vitali a fost însă dovedită prin analize microspectrofotometrice. Astfel, E. Bane și J. Höflz (3) au găsit că la *Allium cepa* roșu neutru este legat în vacuolele cu suc cellular „plin” de anumite substanțe flavonice, formând un nou compus cu maximul de absorbție în banda de 540–550 μm , denumită din această cauză și banda V sau de legătură.

Pierderea proprietăților de cristal, în urma traversării tonoplastului, ne dovedește că moleculele componente ale corpusculilor suferă prin aceasta un oarecare deranjament nemaifiind orientate. Sfero-cristalele se transformă într-un corp nestructurat. Aceasta constituie deci o dovadă indirectă, dar prețioasă, în favoarea ipotezei filtrării sfero-cristalelor peste tonoplast în citoplasmă pe baza liposolubilității (38), (39), (43). În lumina datelor chimiei coloidale (2), (12), (49) un rol de seamă în această traversare trebuie să-l aibă procesele de solubilizare micelară.

În orice caz, după filtrare corpusculii nu mai rămân aceiași nici din punct de vedere structural, nici din cel al compozitiei chimice. Printre moleculele de substanțe lipidice și roșu neutru probabil se află acum intercalate moleculele substanțelor proteice. Acestea cauzează pierderea birefringenței, deoarece — așa cum arată R. Barber (4) — proteinele și lipidele posedă birefringențe de semne contrare care se compensează probabil pînă la anihilare, cînd moleculele celor două clase de substanțe se află împreună.

CONCLUZII

1. Cauza formării corpusculilor colorați în vacuolele celulelor epidermei superioare de la solzii bulbului de ghiocel, prin colorația vitală cu roșu neutru, sunt substanțele de natură lipidică ce se găsesc dispersate în sucul cellular, atât la un nivel molecular, cît și la unul coloidal.

2. Substanțele care provoacă dispersarea lipidelor în sucul cellular la un nivel coloidal sunt în primul rînd saponinele acumulate în vacuole. Ele nu participă la compunerea corpusculilor, dar favorizează posibilitatea genezei lor prin proprietățile emulgatoare pe care le posedă. Aceasta face ca saponinele să aibă o importanță citofiziologică deosebită în acumularea grăsimilor în vacuole, ca substanțe de rezervă.

3. Substanțele de natură lipidică responsabile de formarea corpusculilor sunt în primul rînd sârurile de Na , NH_4 , K și Ca ale acizilor grași; urmează apoi diferite substanțe de natură sterinică și acizi grași liberi.

4. Sârurile acizilor grași, împreună cu celelalte substanțe de natură lipidică formează în sucurile celulare cercetate, după toată probabilitatea, fie mici complexe, fie picături submicroscopice foarte fin dispersate. Prin urmare, în sucul cellular ar putea coexista simultan atît o soluție semicoloidală, cît și un emulsoid. Datorită fenomenului de solubilizare micelară să ar putea ca alcătuirea chimică a miclelor și picăturilor să fie destul de complicată și, în consecință, forma și structura pe care ar putea să aibă să fie de asemenea foarte variate.

5. Coloranții vitali bazici, în cazul nostru roșu neutru, într-o primă fază se adsorb împreună cu alte molecule de substanțe grase din mediu la suprafața picăturilor pentru ca ulterior prin procesele de solubilizare micelară și distribuție în solvent să pătrundă în interiorul lor.

6. În continuare, prin distrugerea stratului stabilizator de saponine de la suprafața picăturilor din emulsoid și așezarea orientată în interiorul lor de-a lungul unui ax de simetrie a moleculelor intrate din

mediu de dispersie se formează corpusculii colorați, de dimensiuni microscopice, ce posedă proprietăți de cristale lichide. Contopirea corpusculilor submicroscopici are loc conform legilor termodinamicii.

7. Dintre toate tipurile de cristale lichide formate în vacuole, cele mai apropiate de starea de agregare lichidă sunt sfero-cristalele. Numai ele se comportă analog unei emulsii, se contopesc rapid și pot traversa tonoplastul.

8. Traversarea tonoplastului de către sfero-cristale se face printr-un mecanism de filtrare. Cu această ocazie ele își pierd structura cristalină devenind perfect izotrope, datorită faptului că moleculele care le compun nu mai sunt orientate de-a lungul unui ax de simetrie sau din cauză că printre moleculele orientate se află molecule de substanțe proteice care posedă o birefringență de semn contrar anihilatoare. Prin urmare, în lumina polarizată corpusculii localizați în citoplasmă nu mai posedă birefringență și alte proprietăți optice.

*Laboratorul de fiziolgia plantelor
al Universității „Babeș-Bolyai” din Cluj.*

ИЗУЧЕНИЕ ФИЗИЧЕСКОЙ И ХИМИЧЕСКОЙ ПРИРОДЫ ВАКУОЛЬНЫХ ВЕЩЕСТВ, ОБУСЛОВЛИВАЮЩИХ ОБРАЗОВАНИЕ ТЕЛЕЦ С ПРИЖИЗНЕННЫМИ ЩЕЛОЧНЫМИ КРАСИТЕЛЯМИ

РЕЗЮМЕ

Для выявления химической природы вакуольных веществ, обуславливающих образование телец с прижизненными щелочными красителями, авторы пользовались тремя методами: цитогистохимическим анализом, модельными химико-коллоидальными опытами „*in vitro*” и исследованием под поляризационным микроскопом образовавшихся телец.

Цитогистохимические реакции доказали существование в вакуолях поверхностного эпидермиса чешуек луковицы подснежника двух категорий веществ: липоидных веществ, обнаруженных путем окраски Суданом III по методу Б. Ромейса (45,46), и сапонинов, обнаруженных путем осаждения гидратом бария (31,32).

Авторы считают, что у подснежника сапонины являются основным коллоидом клеточного сока и, вследствие их свойства эмульсировать жиры, способствуют накоплению липоидов в качестве запасных веществ в вакуолях путем как молекулярного, так и коллоидального диспергирования.

Из „модельных” реакций, проводившихся „*in vitro*”, положительные результаты по изучавшемуся вопросу дало окрашивание нейтральным красным чистых растворов различных олеатов (Na, NH_4 , K и Ca) или же олеатов с чистой олейновой кислотой в смеси

с дигитонином. В этих случаях „*in vitro*” образовывались окрашенные тельца, сходные с тельцами, образующимися в вакуолях при прижизненном окрашивании. Отсюда был сделан вывод, что диспергированные в вакуолях липоиды, находятся в виде различных жирных кислот с низкой точкой плавления.

Исследования, при помощи поляризационного микроскопа, образующихся в вакуолях телец показало, что они являются здесь жидкими кристаллами. Основываясь на диагнозе Л. Лизона (35), авторы нашли, что некоторые тельца состоят лишь из различных солей жирных кислот, чистых свободных жирных кислот и возможно и некоторых нейтральных жиров, тогда как другие, у которых при поляризации наблюдается появление темного креста, состоят лишь из стеринов и их эфиров.

Интерпретация генезиса окрашенных телец делается в свете данных коллоидальной химии. Исходят из того факта, что сапонины, находящиеся в клеточном соке вызывают тонкое диспергирование липоидных веществ. Так как было установлено, что эти вещества являются солями жирных кислот, то по аналогии с полуколлоидальными мыльными растворами предполагается, что в клеточном соке они образуют отрицательно заряженные мицеллы. Учитывая свойства полуколлоидальных растворов, авторы предполагают, что наряду с молекулами, соединенными в мицеллы, клеточный сок содержит также и изолированно диспергированные молекулы полярных липоидных веществ. С другой стороны, допускается также, что благодаря наличию сапонинов и солей жирных кислот, другая часть липоидных веществ диспергирована в виде капель крупных, чем мицеллы, но также субмикроскопических размеров, образующих в вакуолях эмульсиоиды.

Согласно концепции авторов, капельки липоидов в эмульсионде и мицеллях являются „зародышами” будущих окрашенных телец. При проникновении в вакуоли красителя в известной концентрации, его молекулы адсорбируются на поверхности капелек. Позднее, благодаря явлению мицеллярного растворения и распределения, они вклиниваются между молекулами жирных веществ, образующих эти капли. На этом, однако, процесс не заканчивается, так как, по предложению авторов, краситель устраниет стабилизирующий слой сапонинов вокруг капелек жира, вследствие чего происходит самоуничтожение эмульсионда благодаря слиянию мелких капель в телецца все более и более крупных размеров. В этом процессе участвуют новые молекулы красителя из среды совместно с другими липоидными веществами, до того изолированно диспергированными в вакуоле. Указывается, что как молекулы красителя, так и молекулы жирных веществ упорядоченно проникают в растущие в размерах капельки. Расположение составляющих окрашенные тельца молекул относительно определенной оси симметрии объясняется свойствами жидких кристаллов, которыми эти тельца обладают.

Основываясь на полученных данных, с помощью поляризационного микроскопа исследуется затем специальным образом прохождение через тонопласт сферических телец. Утраты двойной преломляемости

и добавочного цвета, то есть свойств кристаллов, как следствие локализации их в цитоплазме, считается авторами последствием нарушения правильного расположения составляющих их молекул. Это происходит во время прохождения через тонопласт сферических кристаллов и предполагает наличие фильтровального механизма, связанного с растворением мицелл.

ОБЪЯСНЕНИЕ РИСУНКОВ

Рис. 1. — а — Окрашенные тельца, образовавшиеся как следствие окрашивания нейтральным красным 5% раствора фенола; б — те же тельца после добавления буферного фосфатного раствора.

Рис. 2. — Окрашенные тельца, образовавшиеся при окрашивании раствора: а — олеата Na; в — олеата K; с — олеата Ca.

Рис. 3. — Окрашенные тельца, образовавшиеся при окрашивании нейтральным красным, в присутствии буферного фосфатного раствора смеси 1% дигитонина, чистой олеиновой кислоты и олеатов Na и K.

Рис. 4. — Тельца из состарившихся чешуек при рассматривании в поляризационный микроскоп; заметны темные концентрические кольца и поляризационный крест (они состоят преимущественно из стеринов и нейтрального красного).

RECHERCHES SUR LA NATURE PHYSIQUE ET CHIMIQUE DES SUBSTANCES VACUOLAIRES GÉNÉRATRICES DE CORPUSCULES AVEC LES COLORANTS VITIAUX BASIQUES

RÉSUMÉ

Pour identifier la nature chimique des substances vacuolaires génératrices de corpuscules avec les colorants basiques, les auteurs ont employé trois méthodes: l'analyse cyto-histochimique, les expériences chimico-colloïdales «modèle» exécutées *in vitro* et l'analyse au microscope polarisant des corpuscules formés.

Les réactions cyto-histochimiques ont révélé l'existence, dans les vacuoles de l'épiderme supérieur des écailles du bulbe de perce-neige, de deux catégories de substances: les lipides, identifiés par la coloration au Sudan III selon la méthode de B. Romeis, et les saponines, mises en évidence par la précipitation à l'hydrate de baryum.

Les auteurs considèrent que, dans le cas du perce-neige, les saponines constituent le colloïde de base du suc cellulaire et contribuent, grâce à leurs propriétés d'émulsionner les graisses, à emmagasiner les lipides, dans les vacuoles, en tant que substances de réserve, par dispersion moléculaire, aussi bien que colloïdale.

Parmi les réactions «modèle» effectuées *in vitro*, celles qui ont donné des résultats positifs sont les colorations au rouge neutre des différentes solutions pures d'oléates (Na, NH₄, K et Ca) ou des oléates et de l'acide

oléique pur en mélange avec de la digitonine. On a constaté la formation *in vitro* de corpuscules colorés, similaires à ceux qui prennent naissance dans les vacuoles par suite de la coloration vitale. On en a conclu que les lipides dispersés dans les vacuoles s'y trouvent surtout sous forme de sels des différents acides gras dont le point de fusion est bas.

L'analyse des corpuscules formés dans les vacuoles au microscope polarisant a prouvé qu'ils y constituent des cristaux liquides. En s'orientant d'après la diagnose de L. Lison, les auteurs ont constaté que certains corpuscules sont formés uniquement de différents sels des acides gras, d'acides gras libres et probablement de quelques graisses neutres, tandis que d'autres, qui présentent la croix sombre au microscope polarisant, ne seraient constitués que de stérides ou d'autres esters de ces substances.

La genèse des corpuscules colorés est interprétée à la lumière des données de la chimie colloïdale. Le point de départ est la constatation que les saponines présentes dans le suc cellulaire provoquent la dispersion fine des substances lipidiques. Celles-ci ayant été identifiées comme des sels des acides gras, on a supposé, par analogie avec les solutions semi-colloïdales des savons, qu'elles forment dans le suc cellulaire des micelles à charge électrique négative. En raison des propriétés des solutions semi-colloïdales, les auteurs supposent que, dans le suc cellulaire, il doit y avoir à côté des molécules associées sous forme de micelles, des molécules de substances lipidiques polaires isolées et dispersées. Par ailleurs, ils admettent que grâce aux saponines et aux sels des acides gras, une autre partie des substances lipidiques se trouve dispersée en gouttes plus grandes que les micelles, mais toujours de dimensions submicroscopiques, qui forment dans les vacuoles un émulsoïde.

De l'avis des auteurs, les gouttes de lipides de l'émulsoïde et les micelles constituent les «germes» des futurs corpuscules colorés. Par pénétration du colorant dans les vacuoles, à une certaine concentration, les molécules de colorant sont adsorbées à la surface des gouttes. Grâce au phénomène de solubilisation micellaire et de répartition, elles s'intercalent ultérieurement parmi les molécules de matières grasses qui forment les gouttes. Le processus ne s'arrête pas là, car suivant l'hypothèse des auteurs, que le colorant éliminerait la couche stabilisatrice de saponines qui entoure les gouttes de lipides et l'émulsoïde finirait par se détruire lui-même, en raison de la fusion des petites gouttes en corps de plus en plus grands. De nouvelles molécules de colorant fournies par le milieu ainsi que d'autres molécules lipidiques, jusque là isolées et dispersées dans la vacuole, semblent participer aussi à ce processus. Les auteurs spécifient que les molécules de colorant autant que celles de matières lipidiques pénètrent d'une manière ordonnée dans les gouttes au cours de leur accroissement. L'orientation des molécules constitutives des corpuscules colorés, autour d'un axe de symétrie défini, est attestée par les propriétés de cristal liquide que ces derniers possèdent.

En vertu des données obtenues à l'aide du microscope polarisant, les auteurs analysent ensuite, tout particulièrement, le processus de pénétration des corpuscules sphériques à travers le tonoplaste. La perte de la biréfringence et de la couleur supplémentaire, donc de leurs proprié-

tés de cristaux, par suite de leur localisation dans le cytoplasme est considérée par les auteurs comme une conséquence du «dérangement» de l'orientation régulière des molécules qui les constituent. Ceci a lieu pendant la traversée du tonoplaste par les sphéroristaux et implique un mécanisme filtrant associé à une solubilisation micellaire.

EXPLICATION DES FIGURES

Fig. 1. — a, Corpuscules colorés formés par suite de la coloration au rouge neutre d'une solution de phénol à 5% ; b, mêmes corpuscules après l'addition d'une solution-tampon de phosphates.

Fig. 2. — Corpuscules colorés formés par suite de la coloration d'une solution de : a, oléate de Na ; b, oléate de K ; c, oléate de Ca.

Fig. 3. — Corpuscules colorés formés par coloration au rouge neutre en présence des solutions-tampon de phosphates, d'un mélange de digitonine à 1%, d'acide oléique pur et d'oléates de Na et de K.

Fig. 4. — Corpuscules provenant d'écailles vieilles, vus au microscope polarisant ; on observe des cercles concentriques sombres et la croix de polarisation (ils sont surtout constitués de stérines et de rouge neutre).

BIBLIOGRAFIE

1. АЛЕКСАНДРОВ В. Я., Цитофизиологическая оценка различных методов определения жизнеспособности растительных клеток, Труд. бот. инст. АН СССР, Экспериментальная бот., 1955, серия IV, **10**, 309—357.
2. ANASTASIU S. și JELESCU E., Detergenți și alți agenți activi de suprafață, Ed. tehnica, București, 1959.
3. BANCHIER E. u. HÖLZL J., Die Umwandlung leerer in volle Zellsäfte bei Allium cepa in Beziehung zur Flavonbildung (Spektrophotometrische mikrospektrographische Messungen), Flora, 1960, **149**, 398—425.
4. БАРЕР Р., Микроскопия в поляризованном свете, в МЕЛЮРСА, Методы цитологического анализа (Analytical cytology), Изд. иностр. лит., Москва, 1957.
5. BARTELS P., Quantitative mikroskopische Untersuchung der Speicherungs- und Permeabilitätsverhältnisse Akridinorange gefärbter Zellen, Planta, 1954, **44**, 341—369.
6. — Spektralphotometrische Untersuchungen am Neutralrot. I. Protropiegleichgewichte und Normaltemperaturspektren im sichtbaren und ultravioletten Spektralbereich, Zschr. Phys. Chem., N. F., 1956, **9**, 74—94.
7. — Spektralphotometrische Untersuchungen am Neutralrot. II. Das Assoziationsverhalten in wässriger Lösung, Zschr. Phys. Chem., N. F., 1956, **9**, 95.
8. BENSLEY R. R. a. GERSH I., Studies on cell structure by freezing-drying method. II. The nature of the mitochondria in the hepatic cell of Ambystoma, Anat. Rec., 1933, **57**, 217—237.
9. BETHE A., Der Stoffaustausch zwischen Zellen und Umgebung vom Standpunkt der Ladungshypothese und der Austauschadsorption, Naturwiss., 1950, **37**, 177—182.
10. БРАКЕТ Ж., Биохимическая цитология (Biochemical Cytology), Изд. иностр. лит., Москва, 1960.
11. BÜNNING E., Über die Farbstoff- und Nitrataufnahme bei Aspergillus niger, Flora, 1936, **131**, 86—112.
12. CHIFU E., Curs de chimie coloidală, Cluj, 1958.
13. DADDI L., Nouvelle méthode pour colorer la graisse dans les tissus, Arch. ital. Biol., 1896, **26**, 142—146.
14. DEVAUX A., Les affinités cellulaires, Bull. Soc. bot. France, 1930, **77**, 144—159.
15. ДИМИТРИЕВ С. А., Мыла и новые моющие средства, Изд. Акад. Наук СССР, Москва, 1953.
16. DRAWERT H., Zur Frage der Stoffaufnahme durch die lebende Zelle. II. Die Aufnahme basischer Farbstoffe und das Permeabilitätsproblem, Flora, 1940, **134**, 159—214.
17. DRAWERT H., Zur Frage der Stoffaufnahme durch die lebende pflanzliche Zelle. V. Zur Theorie der Aufnahme basischer Stoffe, Z. Naturforsch., 1948, **3b**, 111—120.
18. — Die Aufnahme der Farbstoffe Vitalfärbung, in RUHLANDS, Handbuch der Pflanzenphysiologie, Springer, Berlin — Göttingen — Heidelberg, 1956, II, 252—289.
19. GEISSMAN T. A., Anthocyanins, Chalcones, Aurones, Flavones and related water-soluble plant pigments, in PAECH u. TRACEY'S, Moderne Methoden der Pflanzenanalyse, Springer, Berlin — Göttingen — Heidelberg, 1955, III, 450—498.
20. GICKLHORN J., Beobachtungen über die vitale Farbstoffspeicherung, Kolloid.-chem., Beih., 1929, **28**, 367—382.
21. GUILLERMOND A., Sur la présence des lipides (phospholipides et stéroïdes) dans les vacuoles des certaines cellules végétales, Protoplasma, 1937, **27**, 290—307.
22. GUILLERMOND A. et OBATON F., Sur l'action du pH du milieu dans la coloration vitale des cellules végétales, C. R. Soc., Biol., 1934, **116**, 984—988.
23. HÄRTEL O., Gerbstoffe als Ursache „voller“ Zellsäfte Protoplasma, 1951, **40**, 338—347.
24. — Das Verhalten des „festen Zellsäfts“ von Cerinthe bei Fluorochromierung mit Akridinorange, Protoplasma, 1952, **42**, 83.
25. — Fluoreszenzmikroskopische und mikrochemische Beobachtungen an Crisium arvense, Mikroskopie, 1953, **8**, 41.
26. HÖFLER K., Was lehrt die Fluoreszenzmikroskopie von der Plasmapermeabilität und Stoffspeicherung? Mikroskopie, 1947, **2**, 13—29.
27. — Fluoreszenzmikroskopie und Zellphysiologie, Biol. Gen., 1949, **19**, 90—113.
28. — Fluorochromierungsstudien an Pflanzenzellen. Beiträge zur Fluoreszenzmikroskopie, 1 Sonderband, Mikroskopie, Viena, 1949.
29. KINZEL H., Theoretische Betrachtungen zu Ionen speicherung basischer Vitalfarbstoffe in leeren Zellsäften, Protoplasma, 1954, **44**, 52—72.
30. — Über Gesetzmäßigkeiten und Anwendungsmöglichkeiten der Zellsaft-Vitalfärbung, mit basischen Farbstoffen, Ber. d. dtsch. bot. Ges., 1959, **71**, 253—261.
31. KLEIN G., Praktikum der Histochemie, Springer, Viena — Berlin, 1929.
32. KOFLER L., Saponine, in KLEINS, Handbuch der Pflanzenanalyse, Springer, Viena, 1932, III, 1095—1141.
33. KÜSTER E., Die Pflanzenzelle, Fischer, Jena, 1956, ed. a 3-a.
34. LEPECHKIN W., Zur Kenntnis der chemischen Zusammensetzung der Plasmamembran, Ber. d. dtsch. bot. Ges., 1911, **29**, 247—261.
35. LISON L., Histochimie animale, Gauthier-Villars et Cie, Paris, 1936.
36. MC CUTCHEON M. a. LUCKE B., The mechanism of vital staining with basic dyes, J. Gen. Physiol., 1924, **6**, 501—507.
37. MOLISCH H., Mikrochemie der Pflanze, Fischer, Jena, 1923 ed. 3-a.
38. OVERTON E., Über die osmotischen Eigenschaften der Zelle in ihrer Bedeutung für die Toxikologie und Pharmakologie, Ztschr. physik. Chem., 1897, **22**, 189—209.
39. — Über die allgemeinen osmotischen Eigenschaften der Zellen ihre vermutlichen Ursachen und ihre Bedeutung für Physiologie, Vierter-jahrsch. Naturf. Ges. Zürich, 1899, **44**, 88—135.
40. PAECH K., Biochemie und Physiologie der sekundären Pflanzenstoffe. Lehrbuch der Pflanzenphysiologie, Springer, Berlin — Göttingen — Heidelberg, 1950, I, 147—148.
41. ПИРСЕ А. Гистохимия теоретическая и прикладная (Histochemistry theoretical and applied), Изд. иностр. лит., Москва, 1956.
42. PERNER E. S., Die intravitale Aufnahme und Speicherung sulfosaurer Fluorochrome durch die obere Zwiebelschuppenepidermis von Allium cepa, Protoplasma, 1950, **39**, 180—205.
43. PFEFFER W., Über Aufnahme von Anilinfarben in lebende Zellen, Unters. bot. Inst. Tübingen, 1886, II, 179—332.
44. POP E. și SORAN V., Observații asupra colorării vitale a celulelor din epiderma superioară a bulilor de Galanthus nivalis, Stud. și cercet. biol., Seria biol. veget., 1960, **12**, 4, 373—401.
45. ROMEIS B., Weitere Untersuchungen zur Théorie und Technik der Sudanfärbung, Z. mikr. anat., F., 1929, **16**, 525—585.
46. — Neue Untersuchungen zur Fettfärbung mit Sudan, Zbl. Path., 1936, **66**, 97—104.
47. ПОМЕЧ Б., Микроскопическая техника (Mikroskopische Technik), Изд. иностр. лит., Москва, 1953.

48. RUHLAND W., *Studien über die Aufnahme von Kolloiden durch die pflanzliche Plasmahaut*, Jahrb. f. wiss. Bot., 1912, 51, 376—431.
49. RUTKOV A. P., *Chimie coloidală*, Ed. tehnică, Bucureşti, 1960.
50. SCARTH G., W., *The mechanism of accumulation of dyes by living cells*, Plant Physiol., 1926, 1, 215—229.
51. STEINER M. u. HOLTZEM H., *Triterpene und Triterpene-Saponine*, in PAECH u. TRACEY'S, *Moderne Methoden der Pflanzenanalyse*, Springer, Berlin — Göttingen — Heidelberg, 1955, III, 48—140.
52. STOLL A. u. JUCKER E., *Phytosterine, Steroidsaponine und Herzglycoside*, in PAECH u. TRACEY'S, *Moderne Methoden der Pflanzenanalyse*, Springer, Berlin — Göttingen, Heidelberg, 1955, III, 141—271.
53. STRUGGER S., *Beiträge zur Analyse der Vitalfärbung pflanzlicher Zellen mit Neutralrot*, Protoplasma, 1936, 26, 56—69.
54. СТРУГГЕР С., *Практикум по физиологии растительных клеток и тканей (Praktikum der Zell- und Gewebephysiologie der Pflanze)*, Изд. иностр. лит., Москва, 1953.
55. WARTENBERG A., *Versuche zur reversiblen Umwandlung von Ieren in volle Zellsäfte bei Allium cepa*, Vortrag, gehalten auf der Deutschen Botaniker-Tagung in Köln am 9.VI.1960.
56. WEHMER C., *Die Pflanzenstoffe*, Fischer, Jena, 1929, ed. a 2-a.

CARACTERISTICA ELECTROFIZIOLOGICA A REACTIILOR DE RASPUNS ALE PLANTELOR LA ACTIUNEA FACTORILOR EXTERNI

DE

A. M. SINIUHIN și L. I. SALNA
Academia agricolă „K. A. Timirezev”, Moscova

Comunicare prezentată de N. SALĂGEANU, membru corespondent al Academiei R.P.R., în ședința din 14 martie 1961

Organismul plantei poate să existe și să se dezvolte în condițiile mediului în continuă transformare numai în cazul funcționării coordonate a tuturor celulelor lui și a echilibrului constant între plantă și mediul extern. Coordonarea proceselor interne și echilibrarea cu mediul se produce într-o strânsă legătură cu excitabilitatea (12). Procesul de excitabilitate este direct legat de modificarea potențialilor bioelectrici.

Încă în primele cercetări privitoare la electrofiziologia plantelor s-a stabilit că unii curenti (slabi și de scurtă durată) excită ţesuturile vegetale (24), dar acționând un timp mai îndelungat, ei micșorează sensibilitatea ţesuturilor (Sachs 1863, citat după (24)). N. Levakov și a stabilit că în cazul acțiunii de scurtă durată curenții puternici provoacă concentrarea protoplastelor, făcîndu-le insensibile la excitările ulterioare. De asemenea, a fost descoperită dependența biocurenților de vîrstă și starea fiziologică a plantelor, precum și de condițiile mediului.

În anul 1873 J. Burdon — Sanderson a descoperit în frunzele de *Dionaea muscipula* un biocurent bifazic, adică o excitație care se propagă, fapt stabilit apoi atât la plantele cu sensibilitate mare, cât și la cele cu sensibilitate obișnuită (3), (4), (13), (14), (17), (26), (33), (34), (35), (44), (45), (46), (49), (50), (52) și a. J. C. Bose (4) a demonstrat că toate legile stabilite de către Du Bois Reymond și Pfleiderer pentru animale sunt aplicabile și la plante. Însumarea excitanților plantelor sub limită a fost studiată de către K. Gerhard și H. Ehrling (11).

Cercetările lui D. G. Kvasov (23) au confirmat, la tulpinile unor plante obișnuite, principalele legi ale electrofiziologiei care au fost stabilite pentru țesuturile animale. Descoperirea polarizării electrice a țesuturilor vegetale în cazul acțiunii luminii (53), (54), (55) și în cazul schimbării pozitiei organelor plantelor în spațiu (4), (6) a constituit pentru N. G. Holodnii și F. W. Went o bază în elaborarea teoriei tropismelor. Mai departe, polarizarea electrică a țesuturilor a fost studiată detaliat în lucrările lui E. J. Lund (28), A. R. Schrank (39), (41), L. Tauc (47), H. Okamoto (31), (32) și alții.

N. G. Holodnii (16) a stabilit că în cazul unor variații pronunțate ale umidității mediului, frunzele și rădăcinile reacționează prin modificarea potențialilor. Narcoza și curența slabesc și chiar opresc complet aceste fenomene. Potențialii bioelectrici se modifică, de asemenea, în cazul acțiunii ionilor de hidrogen (1), a radiației ionizante, a regulatorilor de creștere naturali și artificiali (42), precum și sub acțiunea altor factori. În plasmodiile de mixomycete (21), (48) și la plantele superioare (19) se observă modificări ritmice ale potențialilor bioelectrici.

H. S. Kostiantin (22) a arătat că asemenea procese fizio- logice de bază, ca excitația, starea de neexcitație după excitație, însu- marea excitațiilor sub limită, transformarea excitațiilor locale în excitații care se propagă apariția curenților activi ca răspuns la excitație, s-au răspândit în structurile plasmatice, din lumea animală și vegetală, încă înaintea diferențierii morfologice a țesuturilor nervoase. Aceste structuri plasmatice excitabile au unit corpul organismelor fără sistem nervos și au regularizat acțiunea lor reciprocă cu mediul (26), (13).

Electrofiziologia, adică știința despre fenomenele electrice care au loc în organisme, constituie în prezent unul din capitolele cele mai studiate ale fiziologiei animale. Cu ajutorul metodelor electrofiziologice moderne, fiziologii caracterizează precis starea funcțională și activitatea curență aproape a tuturor organelor și în multe cazuri și activitatea vitală a organismului în ansamblu (cronaximetria, electrocardiografia, electro- encefalografa, electromiografia și alții).

Electrofiziologia plantelor, apărută o dată cu electrofiziologia animalelor, nu s-a dezvoltat în aceeași măsură, pentru că fenomenele bio- electrici în organismele vegetale au fost studiate de regulă separat de excitabilitatea lor și de funcțiunile lor principale.

Deși numărul cercetărilor privitoare la caracteristica electro-fiziologică a proceselor de excitație este mic, totuși se pot trage anumite concluzii generale :

1. Excitația celulelor se caracterizează prin modificarea diferenței de potențial bioelectric.

2. În porțiunile excitate ale țesuturilor plantelor apare o sarcină electronegativă.

3. Mărimea efectului obținut depinde de puterea de excitație. Există însă o energie minimă care nu provoacă excitație.

4. După excitație se observă o perioadă refractară, în timpul căreia excitabilitatea este scăzută.

5. În afară de modificările biopotențialilor, care sunt provocate de excitația externă, se mai observă variații derivate ale biocurentilor, ale căror cauze se află probabil în reacțiile metabolice interne.

6. Pentru ca stimularea să fie eficace, schimbarea intensității ei trebuie să depășească o anumită viteză. Creșterea prea lentă a intensității excitației externe nu provoacă excitație.

Sarcina experiențelor noastre a constat în precizarea acestor idei și analizarea dinamicii lor.

METODA ȘI OBIECTUL DE CERCETARE

Cercetările au fost efectuate în Laboratorul de electrofiziologie al Catedrei de fiziologie plantelor de la Academia agricolă „K. A. Timirezev” din Moscova. Acest laborator este dotat cu un ecran dublu cu stabilizatori, cu redresori, filtru electric și alții.

Toate experiențele au fost efectuate cu plante nevătămate. În experiente s-au folosit castravete din soiul Nerosimče, dovleacul hibrid Gribovskaia, floarea-soarelui Saratov, fasolea de Saxonia fără ate, măzărea Ceaika, cartoful și mimoza.

Ca stimulatori au fost aplicate șouri de inducție, descărcarea condensatorilor și curentul continuu sub formă de șouri monofazice de frecvență și durată diferită.

Bipotențialii s-au înregistrat cu ajutorul amplificatorului o dată cu transformarea curentului continuu în curent alternativ și cu ajutorul oscilografului EO-7 (2), (18), (42) sau cu ajutorul electrometru confecționat după schema Du Bridge-Barth (citat după (2)). Pentru cercetările potențialilor bioelectrici au fost folosiți electrozi de calomel sau de argint care nu au înșuflare de a se polariza. Electrozi se pun în contact cu planta prin punți de agar și picături de apă de robinet (10), (42).

RESULTATELE OBTINUTE

În timpul excitării țesuturilor vegetale, prin șouri de curent continuu, în primele secunde sau frații de secundă se observă o reacție negativă pronunțată a porțiunii excitate. Astfel, ca răspuns la șoul izolat cu tensiunea de 30 V, intensitatea curentului de $50 \mu A$ și durata de o secundă, diferența de potențial în țesuturile frunzelor de dovleac începe să crească și, aproximativ peste 10 secunde, ajunge la mărimea inițială. Mai departe, diferența de potențial continuu să crească pînă la + (30–60) mV (fig. 1). Peste 5–10 minute, și mai mult, tensiunea revine din nou la mărimea inițială. Polaritatea electrică care s-a dezvoltat în urma stimulării cu durată de o secundă nu dispără multe minute în țesuturile tulpinilor de dovleac, castravete, floarea-soarelui, cartof și ale altor plante. În unele experiențe, după însetarea acțiunii stimulatorului extern diferența de potențial continuu să crească timp de cîteva secunde. Dar și în aceste cazuri după perioada de creștere a potențialului se observă scădere lui pronunțată, care se schimbă printre apărie mai lentă de poziția inițială.

Valoarea reacției electrofiziologice a plantei se găsește în dependență directă de intensitatea excitației, care nu trebuie să fie mai mică de o anumită limită, adică mai mică de mărimea pragului (fig. 3). D.G. Kvasov (23) arată că excitația tulpinilor subțiri ale plantelor (de exemplu la *Artemisia absinthium*) este apropiată de excitația produsă de nervilor vegetativi la vertebrate.

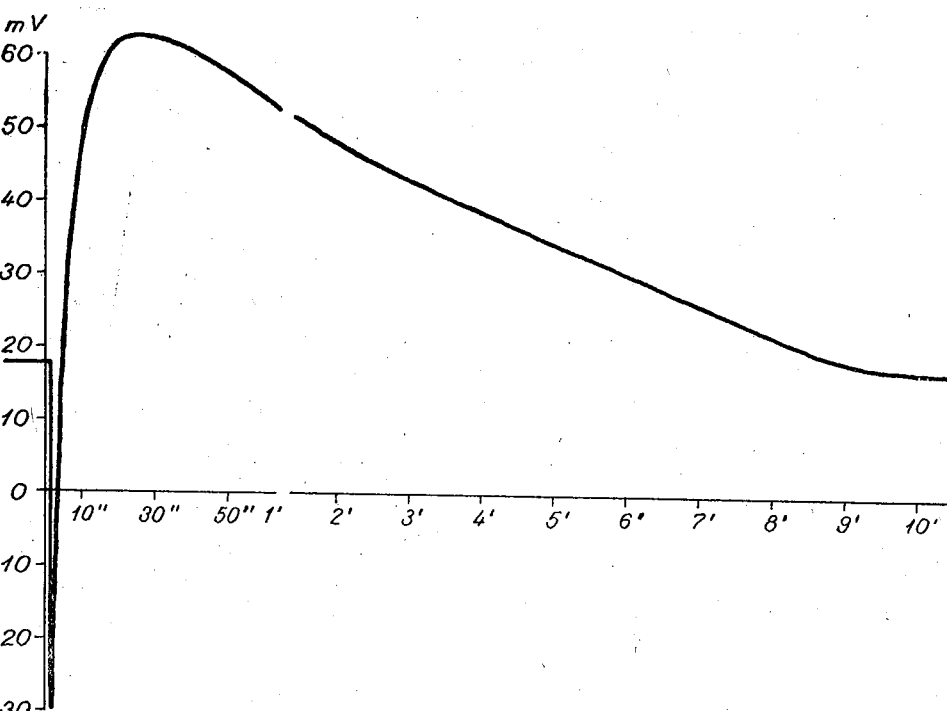


Fig. 1. — Modificarea potențialilor bioelectrici ai tesuturilor frunzei de dovleac la excitarea prin șocul de curent continuu cu tensiunea de 30 V, intensitatea curentului de $50\mu A$ și durata de 1 secundă. Experiență efectuată după schema din figura 2, a.

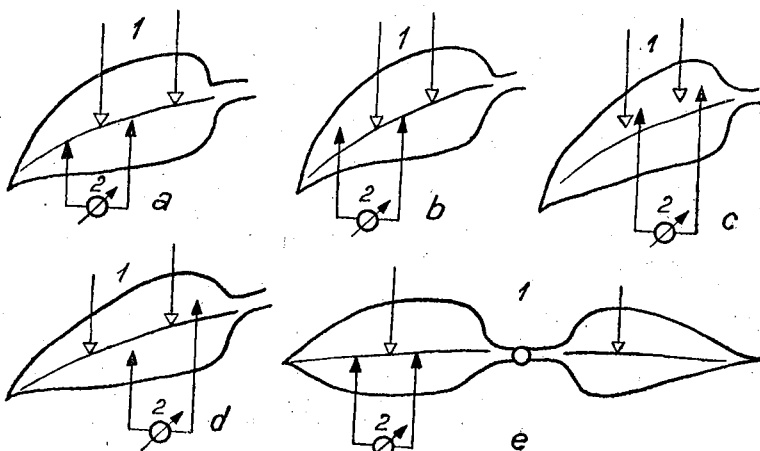


Fig. 2. — Diferite variante ale așezării electrozilor de excitație și de măsurare pe țesuturile superficiale ale frunzelor de dovleac și floarea-soarelui.
1, Electrozi de excitație; 2, electrozi de măsurare.

O dată cu creșterea tensiunii excitante, în reacția de răspuns crește considerabil reacția negativă. Un exemplu tipic al schimbării reacției

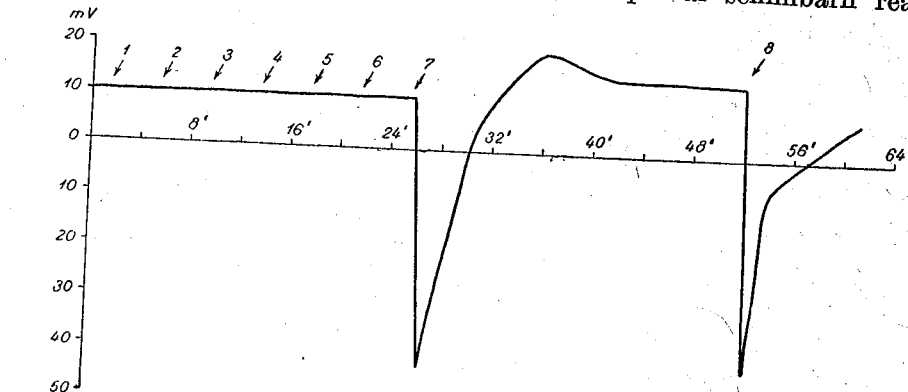


Fig. 3. — Modificarea potențialelor bioelectrici sub acțiunea șocurilor curentului continuu. 1, Șocul curentului continuu cu tensiunea de 1V; 2, 3V; 4, 4V; 5, 5V; 6, 6V; 7, 7V; 8, 12V; 8, două șocuri de cte 6 V. Durata tuturor șocurilor este de 0,25 secunde. Experiența a fost organizată după schema din figura 2, b.

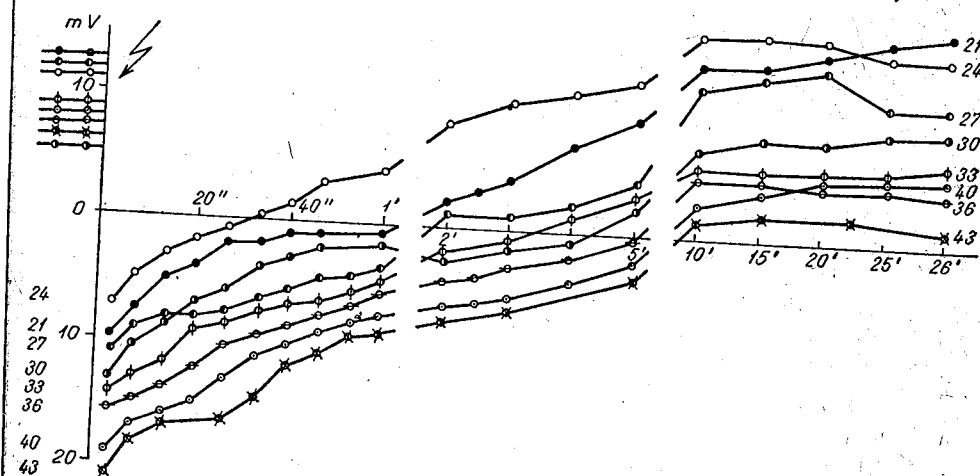


Fig. 4. — Influența creșterii intensității excitantului extern asupra reacției de răspuns a țesuturilor tulipinii de dovleac. Cifrele de pe grafic, începând de la 21 pînă la 43, arată tensiunea excitantului extern (in volți).

de răspuns a plantei la creșterea intensității excitantului extern este redat în figura 4. În cazul creșterii intensității excitantului de la 21 pînă la 43 V se observă o relație directă a creșterii reacției de răspuns a țesuturilor dovleacului, relevîndu-se concomitent o scădere vizibilă a vitezei de revine a tensiunii la mărimea inițială. În aceste cazuri, după scăderea

pronunțată a diferenței de potențial, revenirea ei la mărimea inițială întârzie mult din primele minute ale reacției de răspuns. Mai mult decât atât, deseori după închiderea acțiunii excitantului extern de intensitate

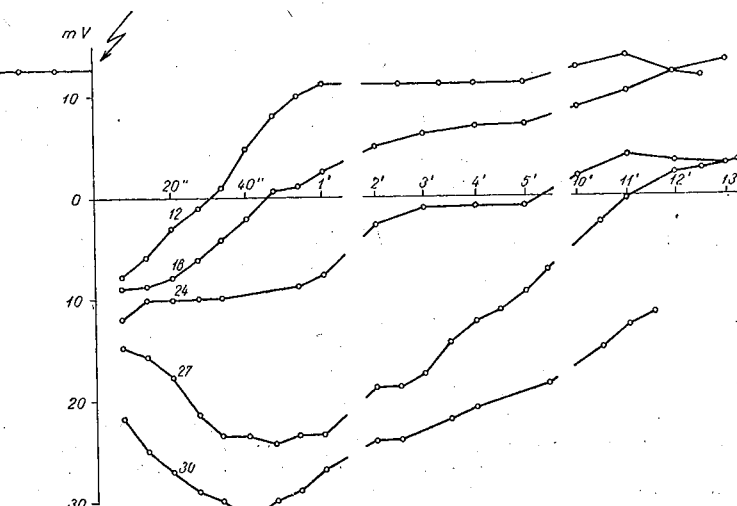


Fig. 5. — Modificarea reacției de răspuns a țesuturilor frunzei de dovleac la acțiunea factorului extern de intensitate diferită. Experiență organizată după schema din figura 2,d. Cifrele de la 12 pînă la 30 arată mărimea tensiunii excitantului extern (în volți).

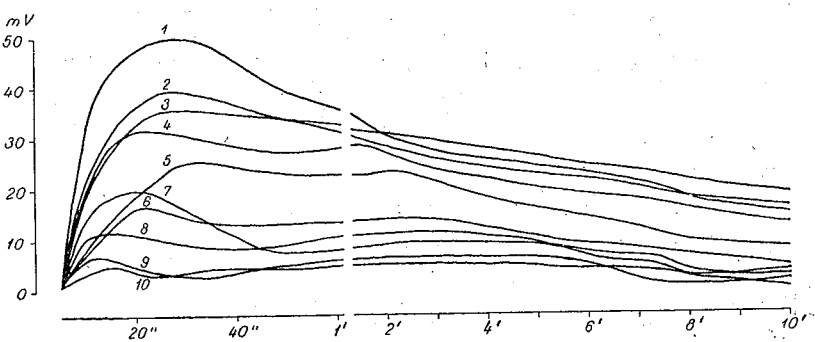


Fig. 6. — Modificarea biopotențialilor țesuturilor frunzei de dovleac în cazul excitațiilor repetate. De la 1 pînă la 10, modificările diferenței de potențial în cazul excitațiilor care alternează la intervale de 10 minute. Experiență organizată după schema din figura 2,b.

ridicată, diferența de potențial continuă să crească timp de 20–40 de secunde. În aceste cazuri, reacția negativă a țesuturilor se determină deosebit de clar. După cum se vede din figura 5, dacă în cazul șocului electric extern de 12 V diferența de potențial a frunzei de dovleac revine la mărimea inițială, atunci în cazul șocului cu o tensiune

de 24 V valoarea maximă a diferenței de potențial nu se schimbă timp de aproximativ un minut, iar în cazul șocului de 30 V în timpul arătat se observă creșterea continuă a potențialului negativ.

În cazul stimulării repetitive a țesuturilor, provocate de excitațiile alternative de intensitate constantă, caracterul general al reacției de răspuns se menține. Totuși, cu fiecare următoare excitație valoarea maximă a potențialului scade. Dacă la prima stimulare valoarea maximă a diferenței de potențial este egală cu 50 mV, atunci la a 10-a stimulare ea este de cel mult 10 mV. În același timp, se remarcă abaterea apariției maximului diferenței de potențial. Astfel, la prima reacție de răspuns abaterea a fost observată circa 30 de secunde, iar la a 10-a a fost de circa 15 secunde (fig. 6). În această serie de experiențe fiecare excitație ulterioară s-a făcut după treptea refractare.

Pentru a fi convins că în cazul condițiilor experienței respective nu este vorba de obosalea țesutului, s-a aplicat o serie de șocuri de curent continuu cu frecvență de 20 de secunde. În cazul acesta s-a observat o însumare obișnuită a reacției bioelectrice.

După cum se vede din figura 6, în cazul excitațiilor repetitive se relevă scădere „timpul de compensare” a forței electromotorii apărute. Celulele vegetative excitate, la fel ca și celulele animale, sunt capabile să accelereze procesele ce duc la reîntoarcerea lor în starea inițială.

Rezultatele acestei experiențe sunt prezentate în graficul din figura 7, de unde reiese că la prima excitare circa 50% din forță electromotorie aplicată se compensează pentru 10 minute, iar la a 6-a reacție de răspuns, această cantitate de forță electromotorie se compensează aproape de două ori mai repede. Reacția electrofiziologică a plantei se caracterizează, după cum s-a mai remarcat, prin capacitatea de însumare. Însumarea potențialului electric se manifestă în special în cazul stimulării tetanice scurte, separate prin frații de secundă, și în cazul șocurilor de curent cu excitație de intensitate mijlocie, șocuri care urmează unul după altul într-un ritm rar. În figura 8 este dat un exemplu care ilustrează procesul de însumare a reacției electrice în țesuturile vegetale. Prima excitație a pro-

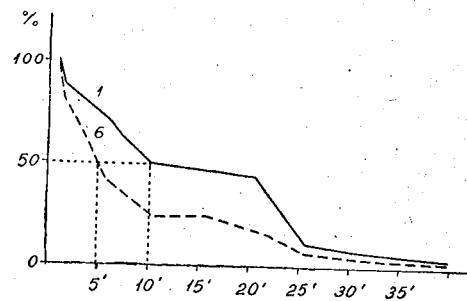


Fig. 7. — Variația vitezei de compensare a forței electromotorii a plantei după 6 excitații repetitive. Experiență organizată după schema din figura 2, b.

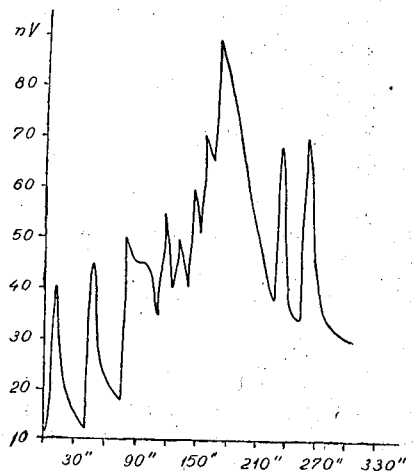


Fig. 8. — Însumarea reacției bioelectrice.

vocat la celulele cîrceilor de castravete sau la tulpina de floarea-soarelui creșterea potențialului cu 30 m V. Șocul nou, ca și toate celelalte șouri aplicate la fiecare 5 secunde, a mărit potențialul cu încă 5 m V. În cazul excitărilor următoare de aceeași intensitate, caracterul electronegativ a

crescut față de cel inițial cu cel puțin 70 mV. În intervalele dintre excitări, potențialul bioelectric scade. Totuși, însumarea reacției electrice are anumite limite peste care acest proces nu se dezvoltă. Cu toate că șourile externe continuă, reacția de schimb se stinge treptat (fig. 8).

Excitarea țesuturilor vegetale depinde nu numai de intensitatea stimulatorului extern. După cum au arătat experiențele noastre, o influență mare asupra procesului de excitare are durata acțiunii stimulatorului extern. În cazul descărcării condensatorilor cu capacitatea diferită, se observă o dependență gradată a modificării diferenței de potențial față de durata descărcării (fig. 9). Dar, în cazul descărcărilor mai îndelungate (0,5 secunde și mai mult), această dependență este mai puțin evidentă. Măriind durata acțiunii exter-

Fig. 9. — Influența duratei excitantului extern asupra reacției de răspuns a celulelor vegetale. A, Descărcarea condensatorilor; 1, 0,05 μ F; 2, 0,5 μ F; 3, 1,0 μ F. B, Șourile curentului continuu cu durată de 0,5—1,0—2,0 și 3,0 secunde. Experiență organizată după schema din figura 2, b.

oare, se relevă o creștere mică a potențialului negativ al celulelor și rein-toarcerea lui mai lentă la valoarea initială (fig. 9). Fenomenul acesta nu s-a manifestat însă întotdeauna clar. Noi n-am avut posibilitatea de a determina cronaxia cu ajutorul măsurătorilor directe. Totuși, curba tensiune-durată constituită pe baza altor date a permis să se calculeze cronaxia, acărei mărime variază între 150 și 300 milisecunde. După calculul lui D. G. K-v a s o v (23) cronaxia este egală cu 200-250 milisecunde.

Dependența reacției de răspuns față de durata acțiunii excitantului s-a manifestat și într-o altă serie de experiențe în care n-au mai fost folosite șourile izolate, ci o serie de șouri următe, unul după altul, de curent continuu. Numărul șourilor a crescut după fiecare determinare. Diferența maximă de potențial a fost observată în urma excitării prin două și trei șouri care au urmat unul după altul. În urma creșterii frecvenței excitantului extern, diferența de potențial a reacției de răspuns a scăzut. Astfel, în cazul excitării cîrceilor de castravete printr-un șoc izolat,

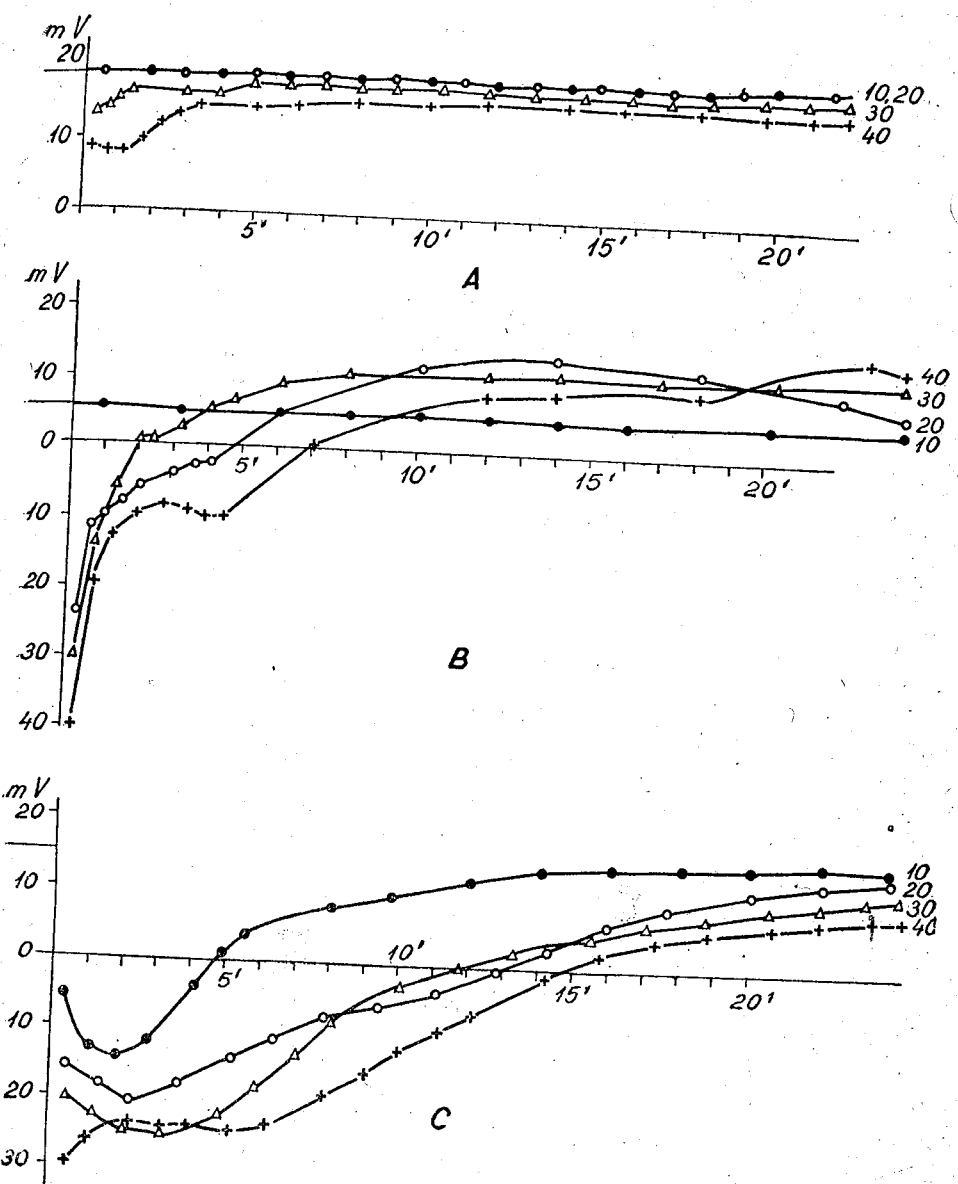
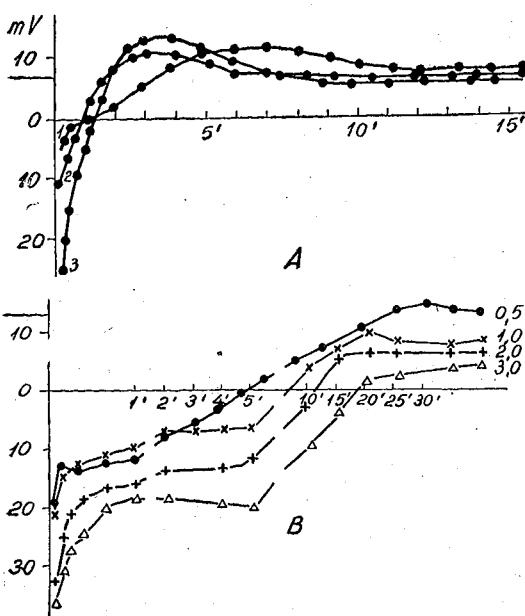


Fig. 10. — Dependența diferenței de potențial în cazul poziției diferite a electrozilor de măsurare față de pozitia de excitație pe prima pereche de frunze de floarea-soarelui. A, B și C, Determinările după schema din figura 11, A, B și C.

diferența de potențial variază de la 10 pînă la 25 mV, prin două șocuri de la 15 pînă la 60 mV, prin trei șocuri de la 25 pînă la 90 mV, prin patru șocuri de la 15 pînă la 70 mV, prin cinci șocuri de la 5 pînă la 50 mV și prin șase șocuri de la 5 la 25 mV.

Experiențele descrise arată că reacția de răspuns a țesuturilor ve-

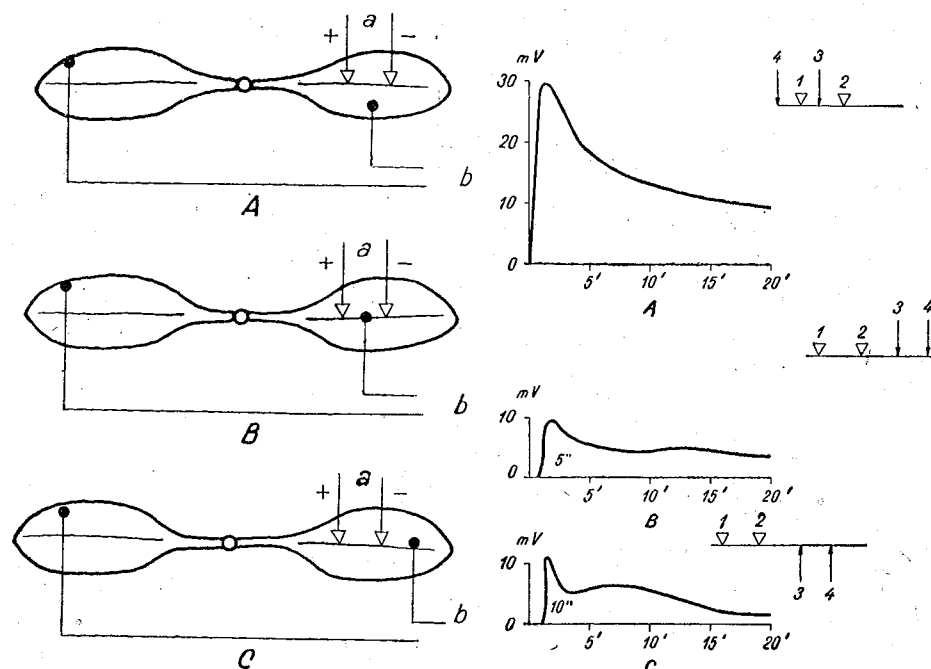


Fig. 11. — Schema așezării electrozilor de excitație și de măsurare pe frunzele de floarea-soarelui; a, electrozi de excitație; b, electrozi de măsurare.

Fig. 12. — Determinarea diferenței de potențial pe cîrcel de castravete; 1 și 2, electrozi de excitație; 3 și 4, electrozi de măsurare. În cazul distanței de 10 mm între electrozi, perioada latentă durează 5 secunde (B); în cazul distanței de 20 mm durează 10 secunde (C).

getale se află într-o anumită dependență de intensitatea și durata excitantului extern. În figura 10 sunt prezentate rezultatele măsurării diferenței de potențial a unor portiuni de frunze de floarea-soarelui care se găsesc la diferite distanțe de electrozii care provoacă excitația (fig. 11). Aceste date arată că cu cât electrozii de măsurare se găsesc mai aproape de locul de excitație directă, cu atât este mai mare valoarea maximă a diferenței negative de potențial. Cele mai mari valori ale diferenței de potențial au fost observate în timpul determinării lor pe nervura mijlocie a frunzei.

Excitația apărută în anumite condiții se poate propaga. Această excitație a putut fi observată deosebit de clar la cîrcelii de castravete și dobleac. Dispunind electrozii de măsurare la distanță de 10 sau 20 mm de

electrozii de excitație, s-a putut stabili perioada latentă în timpul căreia biocurrentul parcurge această distanță. În unele cazuri, mai frecvent în condiții nefavorabile pentru creșterea plantelor, perioada aceasta a fost foarte lungă (fig. 12).

În cazul abaterii biopotențialului de la celulele superficiale ale cîr-

Fig. 13. — Dependența diferenței de potențial de integritatea celulelor frunzelor de floarea-soarelui. A, B și C, Variatiile diferenței de potențial în circuitul A, B, C, în cazul excitației prin șocuri de curent continuu. A₁, B₁ și C₁, Variația diferenței de potențial după ce sub electrodul de măsurare, situat între electrozii de excitație (D), s-a procedat la omorîrea celulelor prin temperaturi ridicate. Porțiunea hașurată din figură reprezintă celule omorite.

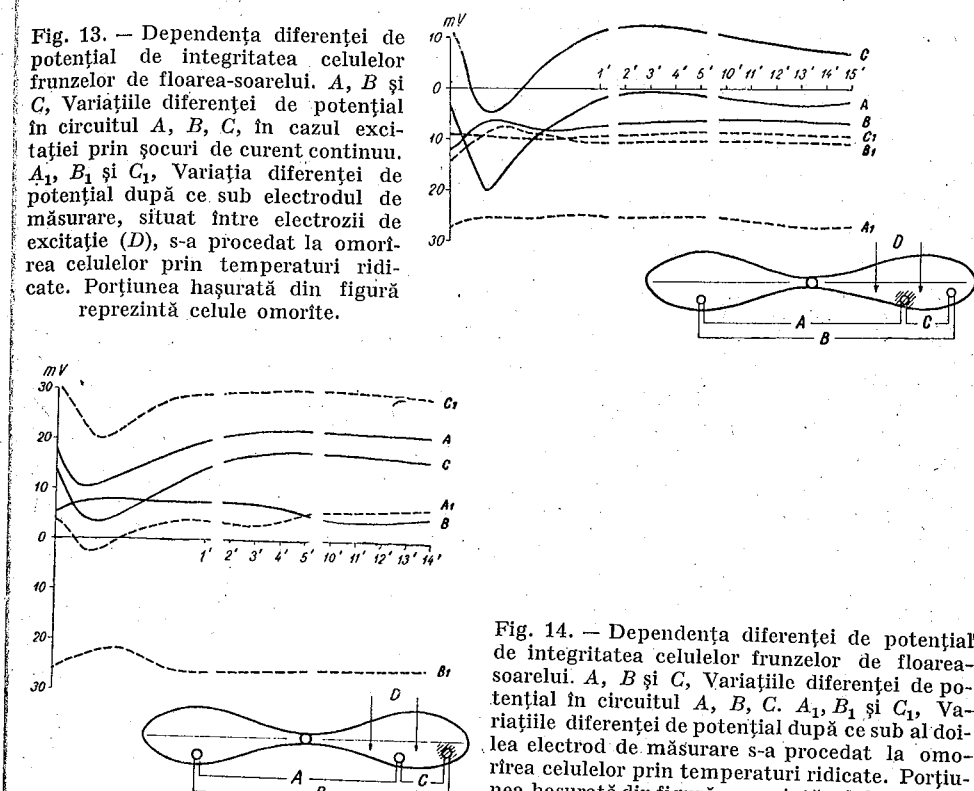


Fig. 14. — Dependența diferenței de potențial de integritatea celulelor frunzelor de floarea-soarelui. A, B și C, Variațiile diferenței de potențial în circuitul A, B, C. A₁, B₁ și C₁, Variațiile diferenței de potențial după ce sub al doilea electrod de măsurare s-a procedat la omorîrea celulelor prin temperaturi ridicate. Porțiunea hașurată din figură reprezintă celule omorite.

ceilor, viteza de propagare a undei de excitație a fost egală în medie cu 1,8–2,0 cm/sec.

Variația potențialilor bioelectrici, care apar ca răspuns la acțiunea externă, se observă numai la acele țesuturi ale căror celule se află în stare fiziologică activă și în prezența integrității structurilor protoplasmatic, ceea ce se observă deosebit de clar în experiențele cu cîrcelii de dobleac sau castravete. Dacă între electrozii de excitație și cei de măsurare se va concentra de săruri, atunci după excitație nu se observă nici o schimbare a potențialilor bioelectrici.

În figurile 13 și 14 sunt prezentate date privind schimbarea bio-potențialilor la frunzele de floarea-soarelui, cînd sub unul din electrozi celulele sunt omorite prin temperatură ridicată. După cum se vede din datele prezentate în figura 13, în circuitul A și C, în care electrodul de

măsurare se aduce la celulele omorite, nu există variații ale diferenței de potențial ca răspuns la excitație. Dacă însă celulele se omoară sub al doilea electrod de măsurare, care se află mai departe decât primul de electrozii de excitare, atunci reacția de răspuns a celulelor rămîne constantă (fig. 14).

INTERPRETAREA REZULTATELOR OBTINUTE

Materialul experimental obținut arată că excitațiile electrice pot provoca stimularea țesuturilor vegetale numai atunci cînd ele sănt mai mari ca valoarea pragului de excitație. Excitațiile rare, izolate, nu modifică biopotențialul țesuturilor vegetale. Dar în cazul excitațiilor sub limită, duble sau triple, care urmează una după alta, țesuturile acționează printr-o modificare pronunțată a biopotențialilor, adică o dată cu aceasta se observă însumarea excitațiilor sub limită.

După reacția de răspuns țesuturile excitate își restabilesc peste un anumit timp starea lor și reacționează din nou la excitație. În cazul excitațiilor rare, repetate, de o intensitate obișnuită, se observă reducerea „timpului de compensație” a forței electromotorii apărute.

Relevind fenomenul acesta, D.G. Kvasov (23) a subliniat marea lui importanță, în lumina teoriei lui Vvedenski și Uhtomski, în legătură cu creșterea labilității funcționale a celulelor ca rezultat al excitațiilor. Acest fenomen arată creșterea capacitatii de compensare a țesuturilor cu fiecare excitație ulterioară, adică accelerarea în celule a proceselor îndreptate spre reîntoarcerea lor în starea inițială de repaus relativ. După părere noastră, aceasta este una din manifestările auto-reglării celulelor și țesuturilor în cazul reacțiilor lor de răspuns la excitațiile externe.

Valoarea diferenței de potențial este în funcție de puterea de excitație. În cazul creșterii puterii de excitație, diferența de potențial crește proporțional cu forța electromotorie externă.

În țesuturile de doyleac, castraveti, floarea-soarelui, mimoza și ale altor plante, se observă o relație gradată între puterea de excitație și valoarea reacției de răspuns în cazul schimbării stimulatorului extern de la limită pînă la acea valoare maximă a forței electromotorie care nu provoacă încă vătămare structurilor celulare. După cum a arătat J.C. Boso (4), la plante ca *Biophytum*, mișcarea frunzelor se supune principiului „totul sau nimic”. Nici în experiențele noastre cu *Biophytum* n-a fost observată o relație între puterea de excitație și mișcarea frunzelor. Frunzele nu au reacționat de loc cînd excitațiile se aflau sub limită sau au răspuns la această excitație prin contractarea maximă de care erau capabile dacă excitația era mai mare decât limită. Excitațiile izolate ale limitei inferioare și excitațiile maxime exercită absolut aceeași acțiune asupra vitezei și amplitudinii mișcării frunzelor. Valoarea diferenței de potențial a frunzei de floarea-soarelui și a altor plante depinde de durata excitațiilor. Dar și în cazul acesta se observă creșterea activității bioelectricice a țesutului în timpul prelungirii excitației exterioare numai

pînă la o anumită limită. În cazul duratei mai mari a excitației nu se observă vreo regularitate în variația diferenței de potențial.

S-a observat dependența variației diferenței de potențial de frecvența excitației externe. Creșterea diferenței de potențial în funcție de frecvență se observă numai la limite strict determinate. După optimul excitației, obținut în cazul frecvențelor optime ale excitației, se observă o regiune de dependență pesimistă în cazul excitațiilor mai frecvente.

Dependența reacției electrice de răspuns a celulelor față de frecvența stimulatorului extern se observă deosebit de clar la mimoza în cazul însușirii excitațiilor sub limită. În aceste cercetări s-a stabilit lipsa dependenței liniare a activității electrice a țesuturilor vegetale de frecvența excitațiilor. În țesuturile mimozei se observă o capacitate destul de mare pentru excitare care are o anumită frecvență a excitației. Se vede că această frecvență excită celulele frunzelor de mimoza o dată cu consumul minim de energie a excitantului (11).

Importanța factorului timp în excitarea celulelor vegetale a fost demonstrată încă în experiențele efectuate de către J. Burdon-Sanderson (7), care a stabilit că mișcarea frunzelor de *Dionaea muscipula* se observă numai la trecerea curentului electric de o tensiune minimă, cu durată de cel puțin 0,01 secunde. A.L. Hownk (17) a observat în cazul răcirii izolate cu gheăță a tulpinilor de *Vitis gongylodes* că în cîrcei apare o excitație care se propagă. În cazul excitației dese a tulpinii stimularea n-a fost observată.

În cazul abaterii exterioare a biopotențialilor, în special la cîrceii de doyleac și castraveti, precum și la coleoptilul porumbului a fost stabilită prezența excitării transmisibile. În cazul transmiterii excitării prin celulele parenchimatici, diferența de potențial s-a răspîndit cu o viteză de aproximativ 2 cm/sec. În lucrările lui A.L. Hownk (17) a fost observată o excitație care se propagă pe tulpinele de *Vitis discolor* și *V. gongylodes*. Viteza de propagare a fost de circa (0,9 cm/sec.). După datele lui K. Umراth (50), la plantele obișnuite, în cazul excitării vătămătoare, excitația s-a propagat cu o viteză de 0,1–1,5 cm/sec. În experiențele lui Louché-Ho (26), în cazul excitațiilor asemănătoare viteza de răspîndire a excitației în celulele frunzelor de *Tropaeolum majus* a fost mai mare de 0,5 cm/sec. În toate experiențele diferența de potențial s-a măsurat la celulele superficiale ale plantei.

În experiențele noastre au fost folosiți ca excitanți șocurile de curent electric. Aceasta s-a făcut pentru următoarele cauze. În primul rînd, acțiunea curentului de intensitate, frecvență și durată corespunzătoare nu provoacă modificări ireversibile în structurile celulare și de aceea excitația electrică se poate repeta de cîteva ori. În al doilea rînd, excitația electrică poate fi gradată exact după forma curbei curentului.

Dar se poate pune întrebarea dacă dinamica potențialilor bioelectrici, descrisă mai sus, nu este cumva o simplă reflectare a electricității care se propagă, a electricității pe care noi o introducem ca excitant extern. Aceasta se poate presupune cu atît mai mult pentru că celula vegetală este un conducerător de electricitate. Există totuși suficiente motive pentru a considera că biocurentii provocați de acțiunea curentului electric

asupra ţesutului nu sînt determinaţi de propagarea electricităţii prin celule. Dacă ţesuturile vor fi vătămate mecanic, sau vor fi supuse acţiunii unor toxine (clorură mercurică, cianură de potasiu), sau acţiunii unor soluţii concentrate de săruri de cupru, fier ş.a., precum şi acţiunii unor temperaturi ridicate, atunci nu se observă biocurenţii la excitarea acestor ţesuturi cu ţocuri de curent electric sau alţi factori. În acelaşi timp, excitaţia care se propagă se poate răspîndi şi prin celulele nevătămate. În zona celulelor omorîte excitaţia se stinge. Operaţiile arătate nu împiedică, ci dimpotrivă favorizează apropierea directă a curenţului prin celule. Prin urmare, reacţia de răspuns a celulelor este indisutabil legată de apariţia în ţesuturi a unui proces care nu pot fi privite de pe poziţiile teoriei obişnuite a curenţilor electrici. În fizioloxia generală totalitatea acestor procese se numeşte efectuarea excitaţiei.

CONCLUZII

1. Ţesuturile plantelor superioare au capacitatea de a trece în stare de excitaţie sub influenţa excitaţiilor externi.
2. În cazul excitaţiilor optime după intensitate, frecvenţă şi durată, în celulele plantelor se dezvoltă o excitaţie care se propagă.
3. În cazul scăderii mari a activităţii vitale a celulelor sau în cazul distrugerii structurilor celulare, procesul de excitaţie nu mai apare.

ЭЛЕКТРОФИЗИОЛОГИЧЕСКАЯ ХАРАКТЕРИСТИКА ОТВЕТНЫХ РЕАКЦИЙ РАСТЕНИЙ НА ВНЕШНИЕ ВОЗДЕЙСТВИЯ

РЕЗЮМЕ

В исследованиях, проводившихся в электрофизиологической лаборатории Кафедры физиологии растений Московской сельскохозяйственной академии им. К. А. Тимирязева, изучались аспекты электрофизиологической характеристики процессов раздражения различных тканей растений огурца, тыквы, подсолнечника, фасоли, гороха, мимозы и биофитума.

В качестве стимуляторов применялось раздражение индукционными ударами, разрядами конденсаторов и постоянным током в виде монофазных ударов различной частоты и продолжительности. Электрические раздражения могут вызывать стимулирование тканей только в том случае, если их интенсивность выше порога раздражения.

При раздражении растительных тканей ударами постоянного тока в течение первых секунд наблюдается резкая негативация раздражаемого участка. После периода увеличения потенциала наблюдается его крутое падение, которое приводит его к исходному положению.

Величина электрофизиологической реакции растения находится в зависимости от интенсивности и продолжительности действия внешнего стимулятора.

В случае повторного стимулирования тканей, вызываемого прерывистыми раздражениями постоянной интенсивности, сохраняется общий характер ответной реакции, однако с каждым последующим раздражением максимальная величина потенциала снижается.

Электрофизиологическая реакция растения характеризуется способностью к суммации, хотя эта суммация и имеет свои границы, за которыми этот процесс не развивается.

Наблюдается электрическая полярность органов, меняющаяся в онтогенезе, даже в течение 24 часов.

Оптимальные по интенсивности, частоте и продолжительности стимулирования обусловливают в клетках растений распространяющиеся раздражения.

В случае значительного снижения жизнедеятельности клеток или же в случае разрушения клеточных структур, процесс раздражения больше не появляется.

ОБЪЯСНЕНИЕ РИСУНКОВ

Рис. 1. — Изменение биоэлектрических потенциалов тканей листа тыквы при раздражении ударом постоянного тока напряжением в 30V силой в 50 μ A и продолжительностью в 1 секунду. Опыт ставился по схеме из рисунка 2 a.

Рис. 2. — Различные варианты расположения раздражающих и измеряющих электродов на поверхностных тканях листьев тыквы и подсолнечника. 1 — раздражающие электроды; 2 — измеряющие электроды;

Рис. 3. — Изменение биоэлектрических потенциалов на удары постоянного тока. 1 — удар постоянного тока напряжением в 1V; 2 — в 3V; 3 — в 4V; 4 — в 5V; 5 — в 6V; 6 — в 7V; 7 — в 12V; 8 — два удара по 6V. Продолжительность всех ударов равняется 0,25 секунды. Опыт проводился по схеме из рисунка 2b.

Рис. 4. — Влияние увеличения интенсивности внешнего раздражителя на ответную реакцию тканей стебля тыквы. Цифры на графике, от 21 до 43 указывают величину напряжения раздражителя в (вольтах).

Рис. 5. — Изменение ответной реакции тканей листа тыквы на воздействие внешнего фактора различной интенсивности. Опыт ставился по схеме из рисунка 2b. Цифры от 12 до 30 показывают величину напряжения внешнего раздражителя (в вольтах).

Рис. 6. — Изменение биопотенциалов тканей листа тыквы при повторных раздражениях. От 1 до 10 показаны изменения разности потенциалов при раздражениях, чередующихся с интервалами времени в 10 минут. Опыт ставился по схеме из рисунка 2b.

Рис. 7. — Изменение скорости компенсации электродвижущей силы растения после 6 повторных раздражений. Опыт ставился по схеме из рисунка 2b.

Рис. 8. — Суммирование биоэлектрической реакции.

Рис. 9. — Влияние продолжительности воздействия внешнего раздражителя на ответную реакцию растительных клеток. A — разряды конденсаторов; 1 — 0,05 μ F; 2 — 0,5 μ F; 3 — 1,0 μ F; B — удары постоянного тока продолжительностью в 0,5; 1,0; 2,0 и 3,0 секунды. Опыт ставился по схеме из рисунка 2b.

Рис. 10. — Зависимость разности потенциалов при различном положении измеряющих электродов по отношению к раздражающим на первой паре листьев подсолнечника. A, B, C — измерения по схеме из рисунка 11, A, B, C.

Рис. 11. — Схема расположения измеряющих и раздражающих электродов на листьях подсолнечника; *a* — раздражающие электроды; *b* — измеряющие электроды.

Рис. 12. — Измерение разности потенциалов на усиках огурца; 1, 2, — раздражающие электроды; 3, 4, — измеряющие электроды. При расстоянии между электродами в 10 мм продолжительность латентного периода равна 5 секундам (*B*). При расстоянии в 20 мм его продолжительность равняется 10 секундам (*C*).

Рис. 13. — Зависимость разности потенциалов от целостности клеток листьев подсолнечника. *A*, *B*, *C* — изменения разности потенциалов в цепях *A*, *B*, *C* — при раздражении ударами постоянного тока. *A*₁, *B*₁, *C*₁ — изменения разности потенциала после того как под измеряющим электродом, расположенным между раздражающими электродами (*D*), клетки убивались путем воздействия высокой температурой. Участок убитых клеток заштрихован.

Рис. 14. — Зависимость разности потенциалов от целостности клеток листьев подсолнечника. *A*, *B*, *C* — изменения разности потенциалов в цепях *A*, *B*, *C*. *A*₁, *B*₁ и *C*₁ — изменения разности потенциалов после того как под вторым измеряющим электродом клетки убивались путем воздействия высокой температурой. Участок убитых клеток заштрихован.

CARACTÉRISTIQUES ELECTROPHYSIOLOGIQUES DES RÉACTIONS DE RÉPONSE DES PLANTES À L'ACTION DES FACTEURS EXTERNES

RÉSUMÉ

Des recherches ont été effectuées dans le laboratoire d'électrophysiologie de la Chaire de Physiologie des Plantes de l'Académie agricole «Timiréazev» à Moscou, dans le but d'étudier quelques aspects des caractéristiques électrophysiologiques des processus d'excitation des différents tissus des plantes de cornichon, potiron, hélianthème, haricot, pois, mimosa et des bryophytes.

Les stimulants appliqués ont été des chocs d'induction, la décharge de condensateurs et le courant continu, sous forme de chocs monophasés de fréquence et durée différentes. Les excitations électriques peuvent provoquer la stimulation des tissus seulement si leur valeur dépasse celle du seuil biologique.

Pendant l'excitation des tissus végétaux par des chocs de courant continu, on observe, au cours des premières secondes, une très nette réaction négative de la portion excitée. Après une période d'intensification, le potentiel subit une diminution, pour revenir progressivement à sa position initiale.

La valeur de la réaction électrophysiologique de la plante dépend de l'intensité et de la durée de l'excitant externe.

Lors de la stimulation répétée des tissus, provoquée par des excitations alternatives, d'intensité constante, le caractère général de la réaction de réponse se maintient, quoique la valeur maximum du potentiel diminue avec chaque excitation.

La réaction électrophysiologique de la plante se caractérise par la capacité de sommation, bien que cette sommation ait des bornes au-delà desquelles le processus ne se développe plus.

On observe une polarité électrique des organes, qui subit des modifications au cours de l'ontogénèse ou même en 24 heures.

Les stimulations optimales, comme intensité, fréquence et durée, déterminent dans les cellules de la plante des excitations qui se propagent.

Lors d'une forte diminution de l'activité vitale des cellules ou de la destruction des structures cellulaires, le processus d'excitation n'a plus lieu.

EXPLICATION DES FIGURES

Fig. 1. — Modification des potentiels bioélectriques des tissus de la feuille de potiron, après excitation par un choc de courant continu — 30 V, 50 μ A et 1s. Expérience effectuée suivant le schéma de la figure 2, *a*.

Fig. 2. — Différentes variantes de l'emplacement des électrodes d'excitation et de détermination sur les tissus superficiels des feuilles de potiron et d'hélianthème. 1, Electrodes d'excitation; 2, électrodes de détermination.

Fig. 3. — Modification des potentiels bioélectriques par suite du choc par courant continu. 1, Choc par courant continu d'une tension de 1 V; 2, 3 V; 3, 4 V; 4, 5 V; 5, 6 V; 6, 7 V; 7, 12 V; 8, deux chocs de 6V. Pour tous les chocs la durée est de 0,25 s. Expérience suivant le schéma de la figure 2, *b*.

Fig. 4. — Influence d'un excitant externe d'intensité croissante sur la réaction de réponse des tissus de la tige de potiron. Les chiffres du graphique — de 21 à 43 — indiquent la tension de l'excitant externe (en volts).

Fig. 5. — Modification de la réaction de réponse des tissus de la feuille de potiron, à des stimulations d'intensités différentes. Expérience suivant le schéma de la figure 2, *d*.

Fig. 6. — Modification des potentiels biologiques des tissus de la feuille de potiron lors des excitations répétées. Les chiffres — de 1 à 10 — indiquent les modifications de la différence de potentiel lorsque les excitations alternent à des intervalles de 10 minutes. Expérience effectuée suivant le schéma de la figure 2, *b*.

Fig. 7. — Variations de la vitesse de compensation de la force électromotrice de la plante après 6 excitations répétées. Expérience suivant le schéma de la figure 2, *b*.

Fig. 8. — Sommation de la réaction bioélectrique.

Fig. 9. — Influence de la durée de la stimulation externe sur la réaction de réponse des cellules végétales. A, Décharge des condensateurs; 1 = 0,05 μ F; 2 = 0,5 μ F; 3 = 1,0 μ F. B, Chocs de courant continu d'une durée de 0,5—1,0—2,0 et 3,0 s. Expérience suivant le schéma de la figure 2, *b*.

Fig. 10. — Dépendance de la différence de potentiel, de la position différente des électrodes de détermination par rapport aux électrodes d'excitation, sur la première paire de feuilles de l'hélianthème. A, B et C, déterminations suivant le schéma de la figure 11, A, B et C.

Fig. 11. — Schéma de l'emplacement des électrodes d'excitation et des électrodes de détermination sur les feuilles d'hélianthème; *a*, électrodes d'excitation; *b*, électrodes de détermi-

nation.

Fig. 12. — Détermination de la différence de potentiel sur les vrilles de cornichons; 1, 2, électrodes d'excitation; 3, 4, électrodes de détermination. Lorsque l'écart entre les électrodes est de 10 mm, la durée de la période latente est de 5 s (*B*); lorsque cet écart est de 20 mm, la durée est de 10 s.

Fig. 13. — Dépendance de la différence de potentiel, de l'intégrité cellulaire des feuilles d'hélianthème. A, B, C, Variations de la différence de potentiel dans le circuit A, B, C, lors de l'excitation par chocs de courant continu. A₁, B₁, C₁, Variations de la différence de potentiel quand les cellules situées sous l'électrode de détermination, placée entre les électrodes d'excitation (*D*), ont été tuées par des températures élevées.

Fig. 14. — Dépendance de la différence de potentiel de l'intégrité cellulaire des feuilles d'hélianthe. A, B, C, Variations de la différence de potentiel dans le circuit A, B, C. A₁, B₁, C₁, Variations de la différence de potentiel après la destruction, par les températures élevées, des cellules situées au-dessous de la deuxième électrode de détermination. La portion hachurée représente les cellules tuées.

BIBLIOGRAFIE

1. АЛЕШИН С. Н. и ЯСТРЕБОВ М. Т., Изменения заряда корня пшеницы в присутствии алюминия и фосфат-ионов. ДАН СССР, 1950, **70**, 3.
2. БОНЧ-БРУЕВИЧ А. И., Применение электронных ламп в экспериментальной физике, Гостехтеорлит, Москва, 1955.
3. BOSE J. C., Comparative electrophysiology, Londra, 1907.
4. — Researches on the irritability of plants, Londra, 1913.
5. — Nervous mechanisms of plants, Londra, 1913.
6. BRAUNER A., Zur Theorie des geoelektrischen Effekts, Protoplasma, 1933, **20**.
7. BURDON-SANDERSON J., Note on the electrical phenomena which accompany irritation of the leaf of *Dionaea muscipula*, Proc. Roy. Soc., 1873, **21**.
8. — Über elektrische Vorgänge im Blatte der *Dionaea muscipula*, Zbl. med. Wiss. 1873, **53**.
9. CURTIS H. J. a. COLE K. S., Transverse electric impedance of *Nitella*, J. Gen. Physiol. 1937, **21**.
10. КЕРТИС Г., Биоэлектрические измерения. Биофизические методы исследований, Изд. иностр. лит., Москва, 1956.
11. GERHAND K. u. EHREIG H., Die Summation unterschwelliger Reize, Biol. Zentr., 1957, **76**.
12. ГУНАР И. И., Проблема раздражимости растений и дальнейшее развитие физиологии растений, Известия ТСХА, 1953, **2**.
13. ГУНАР И. И. и СИНЮХИН А. М., Электрофизиологическая характеристика раздражимости растений, Известия ТСХА, 1959, **4**.
14. — Влияние токов действия на круговое движение протоплазмы клеток нителлы, Известия ТСХА, 1960, **3**.
15. ХОЛОДНЫЙ Н. Г., Дарвин и учение о движении растений, Сочинения Дарвина, Изд. АН СССР, Москва, 1941, **8**.
16. — Избранные труды, Изд. АН УССР, Киев, 1956, **1—2**.
17. HOWINK A. L., The conduction of excitation in *Mimosa pudica*, Rec. Trav. Bot. Neer. 1935, **32**.
18. ХВЕДЕЛИДЗЕ М. А., О современном состоянии электрофизиологии растительного организма и техники измерения постоянных потенциалов, Труды Тбилисского Бот. Инст., 1954, **16**.
19. — К вопросу о биоэлектрических потенциалах растений, Успехи Совр. Биол., 1958, **46**, 1.
20. КАМИНИР Л. Б., Усилители постоянного тока, Биофизика, 1957, **1**, 8.
21. KENYON N. a. ABE Sh., Bioelectric phenomena in the myxomycete plasmodium and their relation to protoplasmic flow, J. Colloid Science, 1950, **5**.
22. КОШТОЯНЦ Х. С., Основы сравнительной физиологии, Сравнительная физиология первой системы, Изд. АН СССР, Москва, 1957, **2**.
23. КВАСОВ Д. Г., Материалы к физиологии раздражения растительных клеток. Ученые записки ЛГУ, 1949, **99**.
24. ЛЕВАКОВСКИЙ Н., О движении раздраженных органов растений, Харьков, 1867.
25. LOU CEN-HO, Studies on turgor movements and action currents of *Mimosa pudica*, Minneapolis, 1939.
26. ЛОУ ЧЕН-ХО, О передаче раздражения электрическим током у растений. Журнал общей биол., 1958, **19**, 5.
27. LUND E. J., Relation between continuous bio-electric currents and cell respiration, J. Exp. Zool., 1928, **51**.
28. — Bio-electric fields and growth, Texas, 1947.
29. LUND E. J. a. KENYON N., Relation between continuous bio-electric currents and cell respiration, J. Exp. Zool., 1927, **48**.

30. НАСОНОВ Д. Н., Местная реакция протоплазмы и распространяющееся возбуждение, Изд. АН СССР, Москва, 1959.
31. OKAMOTO H., On the distribution of electric potential of the seedling of *Vigna* and its change by light stimulation, Bot. Mag. (Tokio), 1955, **68**, 799.
32. — On the excitation phenomena in embryonic plants of *Vigna sesquipedalis* caused by electric stimuli and presence of polarities concerning the excitability, Bot. Magaz. (Tokio), 1955, **68**, 803.
33. OSTERHOUT W. J. V., Effects of KCl and NaCl on *Nitella*, J. Gen. Physiol., 1930, **13**.
34. — Nature of the action current in *Nitella*, J. Gen. Physiol., 1934, **18**.
35. — Electrical phenomena in large plant cells, Physiol. Rev., 1936, **16**.
36. OSTERHOUT W. J. V. a. HILL S., Some ways to control bio-electrical behaviour, Cold Spring Harbour Symposia, 4, 1936.
37. OVERTON E., Beiträge zur allgemeinen Muskel — und Nervenphysiologie, Pflügers Archiv, 1902—1904, I, **92**; II, **92**; III, **105**.
38. РУБИНШТЕЙН Д. Л., Общая физиология, Медгиз, Москва, 1947.
39. SCHRANK A.R., Experimental control of phototropic bending in the *Avena coleoptile* by application of direct current, J. Cell and Comp. Physiol., 1948, **32**.
40. — Influence of longitudinally applied direct current on the electrical polarity and curvature of the *Avena coleoptila*, J. Cell. and Comp. Physiol., 1949, **33**.
41. — Electrical polarity and auxins. Plant growth substances, Virginia, 1951.
42. СИНЮХИН А. М., Характер изменения биоэлектрических потенциалов в процессе регенерации растений, Биофизика, 1957, **2**, 1.
43. SINIUHIN A.M., Rolul modificărilor potențialului de oxido-reducere în procesul de regenerare a plantelor, Anal. rom.-sov., seria biologică, 1959, **1**.
44. СИНЮХИН А. М. и НАЗАРОВА Л. Г., О передаче ритмических изменений скорости движений протоплазмы под влиянием набегающей волны возбуждения, ДАН СССР, 1959, **129**, 1.
45. СИНЮХИН А. М., ЗУБАРЕВ В. А., О ритмических изменениях скорости движений протоплазмы клеток нителлы при возбуждении ионами калия, ДАН СССР, 1960, **129**, 2.
46. STUHLMAN O. a. DARDEN E., The action potentials obtained from *Venass*, Flytrop. Science, 1950, **3**, 2888.
47. TAUC L., L'effet photo-électrique et le phototropisme des organes végétaux, C.R. Soc. Biol., 1950, **144**, 10.
48. — Phénomènes bioélectriques observés dans le plasmode du myxomycète (*Physarum polycephalum*), Physiol., 1954, **46**, 2.
49. UMRATH K., Zur Theorie der elektrischen Erregung, Biol. Gen., 1925, **I**.
50. — Über das elektrische Potential und über den Erregungsvorgang bei dem Myxomyceten, *Physarum polycephalum*, Protoplasma, 1953, **42**, 3.
51. УСНЕНСКАЯ В. Д., Биоэлектрические потенциалы фотосинтеза, ДАН СССР, 1951, **78**, 2.
52. ВЯЗЕМСКИЙ Т. И., Электрические явления в растениях, Москва, 1901.
53. WALLER A. D., Four observations concerning the electrical effects of light upon green leaves, Proc. Roy. Soc., 1900, **67**.
54. — Action électromotrice de la substance végétale consécutive à l'excitation lumineuse, C.R. Soc. Biol., 1900, **52**.
55. — Action électromotrice des feuilles vertes sous l'influence des lumières rouge, bleue et verte, C.R. Soc. Biol., 1900, **52**.
56. WENT F. W., Growth hormones in the higher plants, Ann. Rev. Biochem., 1939, **8**.

INFLUENȚA ACIZILOR 2,4 - DICLORFENOXIACETIC
SI MONOIODACETIC ASUPRA RESPIRAȚIEI
SEMINȚELOR ÎN CURS DE GERMINAȚIE

DE

EMILIA CUPCEA și LUCIA STOICOVICI

Comunicare prezentată de N. SĂLAGEANU, membru corespondent al Academiei R.P.R.,
în ședința din 14 martie 1961

Acizii 2,4-diclorfenoxiacetic și monoiodacetic sunt două substanțe sintetice, a căror acțiune fiziologică asupra plantelor este de mult cunoscută și ea preocupă pe cercetători și în ultima vreme (2), (10).

Astăzi se știe că 2,4-D acționează analog auxinelor și heteroauxinelor provocind o stimulare a proceselor de creștere, înrădăcinare, coacere și germinație, cînd este în concentrații mici, și o inhibare a acestora în concentrații mari (2), (4), (5), (6), (8), (13), (12). Acidul monoiodacetic nu acționează decît ca inhibitor (9), (10).

Plecînd de la aceste constatări, ne-am propus să cercetăm modificările provocate de cei doi acizi asupra respirației (apreciată prin consumul de oxigen), cînd sunt administrați în doze care acționează ca substanțe stimulatoare sau inhibitoare (9), (10).

METODA DE LUCRU

Ca test de experimentare am utilizat cariopse de *Zea mays*, soiul portocaliu de Tg. Frumos (I.C.A.R.-Cluj).

Semințele au fost puse la germinat, după metoda de laborator (1), în germinatoare Iavanov. În acestea s-au repartizat, cîte 50 de semințe, pe hîrtie de filtru umectată cu apă distilată, la probele martor, și cu una din soluțiile de substanțe experimentate, la probele tratate. În majoritatea cazurilor germinatoarele s-au păstrat în termostat la temperatura de 26° (în cîteva experiențe la 30°) sau la temperatura camerei (18–22°).

Am experimentat cu următoarele serii de concentrații:

2,4-D :	1,	5,	10,	100,	200 mg/l
CH ₂ ICO ₂ H :		10,	50,	200,	400 mg/l

Măsurarea intensității respirației am efectuat-o prin metoda manometrică Warburg, care permite evaluarea oxigenului absorbit, într-un volum constant și la o temperatură constantă, prin schimbarea presiunii gazului într-un manometru (11).

Temperatura la care am efectuat determinările a fost cuprinsă între 20 și 30°, corespunzând totdeauna temperaturii la care au germinat semințele.

În cupa manometrului — cu o capacitate de 20 ml — am introdus 2–4 semințe, germinate de 2–6 zile, așezându-le pe o rondelă de hirtie de filtru, umectată cu 3 picături din soluția în care au germinat. În tubul central al cupei am pus 0,2 ml NaOH conc., pentru absorbția bioxidului de carbon. Am atașat cupele la manometre și le-am așezat pe panouri, scufundându-le în baia de apă. Am fixat nivelul lichidului la o anumită diviziune (150 mm) lăsând robinetele în comunicație cu atmosfera timp de 15 minute, pentru echilibrarea presiunii și temperaturii din manometru și exterior, apoi le-am închis. După alte 15 minute am efectuat prima citire.

Datorită consumului oxigenului prin respirație materialului vegetal, lichidul se ridică în ramura stângă a manometrului, legată cu cupa. Citirea se execută rapid, manevrind șurubul pentru a reduce nivelul lichidului din ramura stângă la poziția inițială (150 mm). Nivelul real, pe care-l notăm, se citește pe ramura dreaptă. Am efectuat citirile din 15 în 15 minute, timp de o oră.

Consumul de oxigen l-am exprimat în $\text{mm}^3/\text{oră}$, ținând seama și de variațiile date de termobarometru, și l-am raportat atât pe loturile de 2–4 semințe (media a 4 loturi dintr-o experiență), cât și pe gram de substanță uscată și oră ($\text{mm}^3/\text{g/oră}$). Pentru evaluarea consumului de oxigen, raportat la greutatea de substanță uscată, am pus semințele — la sfîrșitul experienței — în termostat, la temperatura de 105°, timp de 24 de ore, iar cintăririle le-am efectuat cu o balanță analitică.

REZULTATELE

Modificări produse asupra germinației

1. Acidul 2,4-D

După două zile au germinat toate semințele puse în termostat (la 26°), atât cele tratate cu soluții de acid, cât și cele din apă. Deci acidul 2,4-D nu impiedică declansarea procesului de germinare.

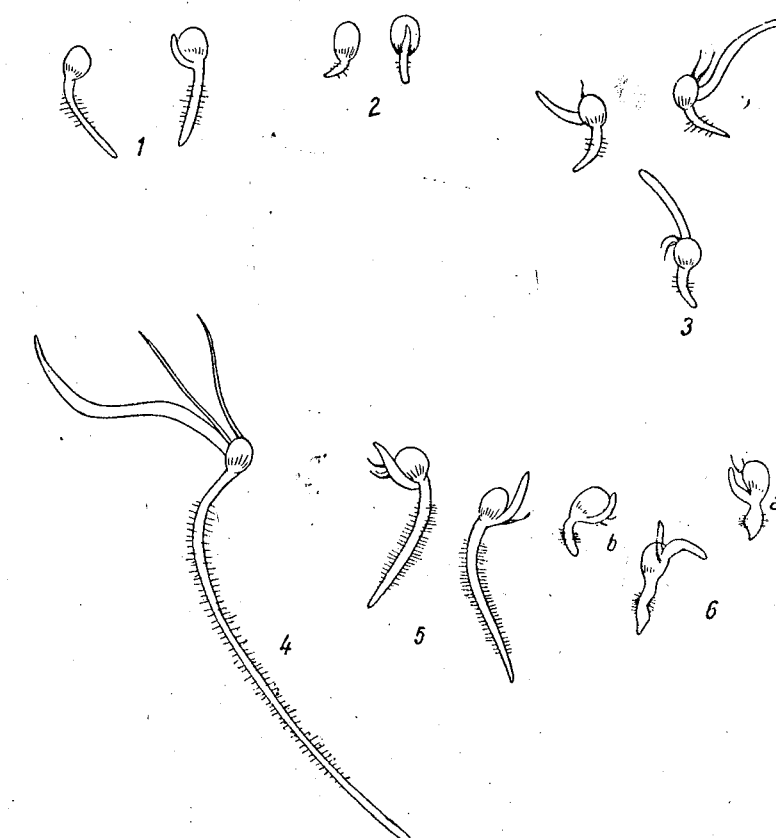
Există însă deosebiri în creșterea organelor între loturile tratate și cele ne tratate. La probele martor, rădăcinile ating o lungime maximă de 17–20 mm și au perișori sugători abundenți, iar coleoptilele sunt de 6–7 mm (pl. I, fig. 1). La lotul care a germinat în soluție 100 mg/l 2,4-D lungimea maximă a rădăcinilor este abia de 3–5 mm, perișorii absorbanți sunt mai puțini, iar coleoptilele mai scurte (pl. I, fig. 2).

După patru zile, lungimea maximă a rădăcinii principale în soluție 2,4-D ajunge la 11 mm, iar a coleoptilului la 25 mm (pl. I, fig. 3), precită vreme plantulele martor au rădăcina de 80 mm, iar tulipină de 40 mm lungime (pl. I, fig. 4).

În concentrațiile cuprinse între 10 și 200 mg/l, acidul 2,4-D exercită o acțiune de inhibare puternică asupra creșterii în lungime a rădăcinii și mai puțin pronunțată asupra alungirii coleoptilului.

În concentrațiile scăzute, de 5–10 mg/l (la probele de 2 și 3 zile) acidul 2,4-D inhibă încă alungirea rădăcinutei: lungimea acesteia la plantele tratate este de 7–11 mm, iar la plantele martor de 35 mm. În schimb, în aceste concentrații se produce o stimulare a creșterii dia-

trului rădăcinii. Diametrul maxim al rădăcinilor tratate este de 4 mm, pe cind al martorilor este sub 3 mm. În planșa I este redat aspectul plan-



PLANŞA I.—Modificări produse de acidul 2,4-D la *Zea mays* în curs de germinație: fig. 1, martorul, după 2 zile; fig. 2, în soluție 100 mg/l, după 2 zile; fig. 3, în soluție 100 mg/l, după 4 zile; fig. 4, martorul, după 4 zile; fig. 5, martorul, după 3 zile; fig. 6, a, în soluție 5 mg/l, după 2 și 3 zile; b, în soluție 10 mg/l, după 2 zile.

telor tratate cu soluție 2,4-D 5 mg/l (fig. 6, a) și 10 mg/l (fig. 6, b), precum și al martorului (fig. 5).

Scăzind concentrația acidului 2,4-D la 1 mg/l se observă (la plantele germinate de 4–5 zile) că, deși nu are loc o alungire mai mare a rădăcinii și coleoptilului (ele fiind mai scurte decât la martor), organele acestea sunt mai viguroase, perișorii absorbanți ai rădăcinilor sunt mai deși și mai turgescenti, iar numărul tulipinitelor crescute este mai mare (2/3 față de 1/3).

2. Acidul monoiodacetic

Acidul monoiodacetic nu împiedică germinația semințelor de porumb nici în concentrații mari, de 400 mg/l.

Sub acțiunea lui însă, plantulele devin mai firave. După două zile de la germinare, rădăcinile plantelor martor ating lungimea de 67 mm, ale plantelor tratate cu soluție de acid 200 mg/l sunt numai de 33 mm, iar cele din soluție 400 mg/l abia de 27 mm. În planșa II este redat aspectul semințelor martor, care au germinat în apă (fig. 7), al celor din soluție, de acid monoiodacetic 200 mg/l (fig. 8) și 400 mg/l (fig. 9), timp de 2 zile, în termostat, la temperatură constantă de 26°. Rădăcinile plantelor tratate sunt mai scurte și au vîrful brunificat, iar coleoptilul, în cele mai multe cazuri, nu întrece lungimea seminței.

În zilele următoare creșterea este mai slabă, iar deosebirile semnaleate dintre loturile tratate și martor se mențin. Vîrfurile rădăcinilor secundare de ordinul I, care apar în a 6-a zi de germinație, se brunifică. În planșa II, este redat aspectul plantelor germinate de 6 zile în soluție de acid monoiodacetic 400 mg/l (fig. 10), 200 mg/l (fig. 11) și a martorului din apă (fig. 12). Rădăcina are o lungime de 90 mm la martor și de numai 47 (în soluție 200 mg/l), 31 mm (în soluție 400 mg/l) la plantulele crescute sub acțiunea acidului. Coleoptilul martorului atinge 120 mm, iar la lotul tratat cu acid (200 mg/l) abia 35 mm.

În soluția de 50 mg/l acid monoiodacetic deosebirile față de martor sunt mult mai atenuate, fenomenul brunificării apare mai puțin evident; rădăcinile tratate rămân însă mai scurte și sunt mai curbate decât ale plantelor crescute în apă.

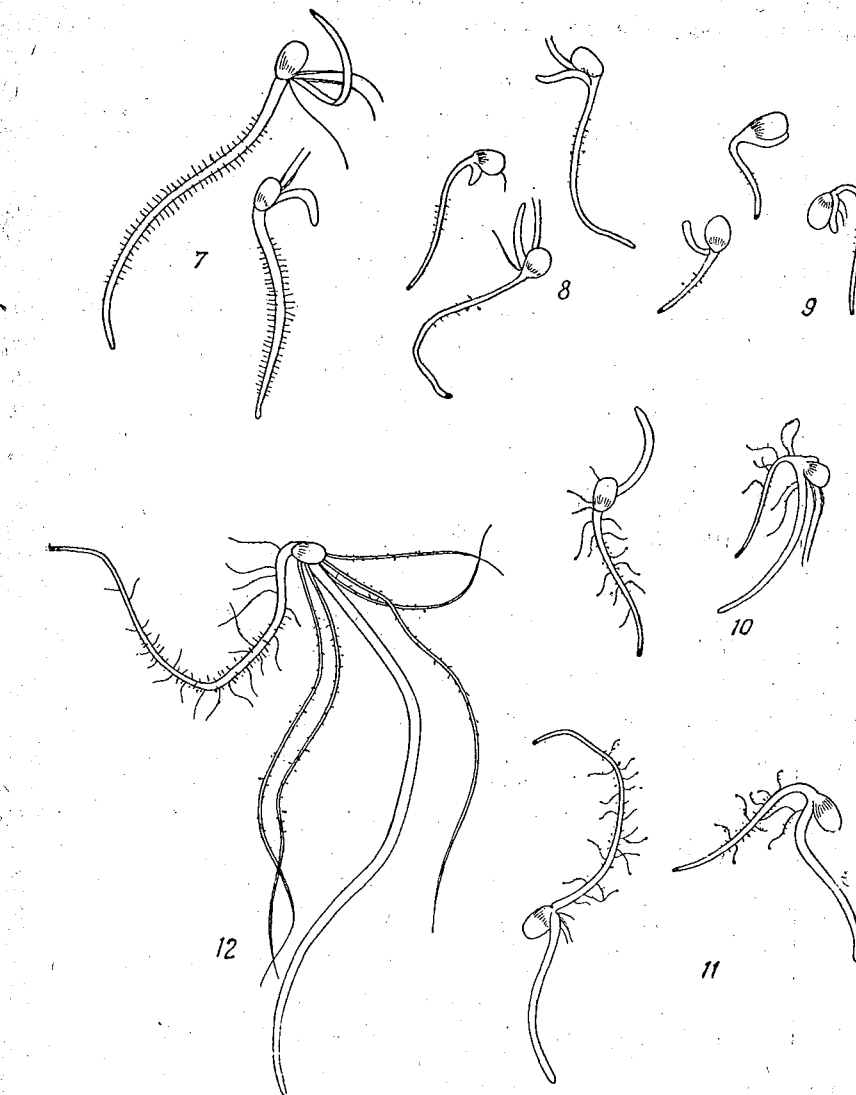
Modificări produse asupra respirației

Am efectuat 22 de experiențe pentru măsurarea consumului de oxigen la semințele germinate în soluție de acid 2,4-D și acid monoiodacetic, precum și la cele germinate în condiții identice, însă în apă. În fiecare experiență s-a lucrat cu 8–28 de semințe, experimentindu-se în total cu un număr de 362 de semințe. Cinci din aceste experiențe au servit pentru tatonare; rezultatele altor 17 experiențe sunt consiminate în tabele nr. 1 și 2, iar reprezentarea lor grafică în figurile 13 și 14.

1. Acidul 2,4-D

Din analiza datelor cuprinse în tabelul nr. 1 și figura 13 se constată următoarele:

După două zile de germinație a semințelor în soluțiile de concentrații cuprinse între 5 și 200 mg/l, respirația este foarte puțin modificată față de a martorilor. Micile variații în plus sau în minus se pot considera cuprinse între limitele variațiilor de la normal, sau prezintă scăderi de cel mult 10%.



PLANŞA II. — Modificări produse de acidul monoiodacetic la *Zea mays* în curs de germinație: fig. 7, martorul, după 2 zile; fig. 8, în soluție 200 mg/l, după 2 zile; fig. 9, în soluție 400 mg/l, după 2 zile; fig. 10, în soluție 400 mg/l, după 6 zile; fig. 11, în soluție 200 mg/l, după 6 zile; fig. 12, martorul, după 6 zile.

Prin urmare acidul 2,4-D—care, după cum s-a văzut, exercită o puternică acțiune inhibantă asupra creșterii în concentrații mari—nu modifică în aceeași măsură și respirația, îndeosebi la începutul germinării.

Tabelul nr. 1

Intensitatea respirației semințelor de porumb sub influența acidului 2,4-diclorfenoxiacetic

Nr. experienței	Zile de germinație	Nr. total de semințe	T°C		Concen- trația acidului 2,4-D mg/l	Concen- trația O ₂ mm ³ /oră				Variația %
			de germinație	de determinare		în sol 2,4-D	în H ₂ O	substanță vie	substanță uscată	
1	2	28	30	30	200	287	691	284	701	—
2	6	16	17	17	200	90	250	110	307	+ 18%
3	2	28	30	30	100	324	—	300	—	+ 6%
4	2	21	26	26	100	266	552	294	618	+ 10%
5	2	24	26	26	10	208	580	202	586	—
6	2	24	26	26	5	201	567	210	586	+ 4%
7	3	24	26	26	5	276	792	314	903	+ 12%
8	4	21	16—26	26	1	324	1105	224	786	+ 45%
9	5	16	16—23	24	1	228	1 224	201	1 098	+ 13%

Tabelul nr. 2

Intensitatea respirației semințelor de porumb sub influența acidului monoiodacetic

Nr. experienței	Zile de germinație	Nr. total de semințe	T°C		Concen- trația acidului monoiodacetic mg/l	Concen- trația O ₂ mm ³ /oră				Variația %
			de germinație	de determinare		în acid monoiodacetic	în H ₂ O	substanță vie	substanță uscată	
10	2	24	26	26	400	168	662	242	949	- 30%
11	3	24	26	26	400	227	870	313	1 315	{ - 27% - 34%
12	4	28	14—22	20	400	92	267	119	332	- 22%
13	2	24	26	26	200	162	595	239	935	- 34%
14	3	8	17—22	21	200	160	495	242	717	- 34%
15	3	8	17—22	21	200	265	—	306	—	- 14%
16	4	28	14—20	20	200	91	—	115	—	- 21%
17	3	16	26	30	10	272	1 669	285	1 700	- 8%

nătiei. După două zile, variația respirației atinge abia -10% (experiența nr. 4). După 3, respectiv 6 zile de la începutul germinației, produce însă o scădere mai pronunțată a respirației: variații de 12 și 18% (experiențele nr. 7 și 2).

Concentrația de 1 mg/l, o dată cu favorizarea creșterii în diametru precum și a dezvoltării perișorilor absorbanți și a coleoptilelor, produce și un consum sporit de oxigen, de + 45% (experiența nr. 8, cu semințe germinate de 4 zile). Mai târziu, consumul oxigenului scade (în experiența nr. 9, la semințele germinate de 5 zile, variația este de numai 13%).

Iar valoarea intensității respirației la plantulele tratate și netratate este apropiată. Deci, la începutul germinației, la o concentrație de 1 mg/l acid 2,4-D, se remarcă un paralelism între efectul de favorizare a creșterii (în sensul arătat mai sus) și de intensificare a respirației.

2. Acidul monoiodacetic

Rezultatele privind acțiunea acidului monoiodacetic sunt cuprinse în tabelul nr. 2 și reprezentate grafic în figura 14.

În opozitie cu influența acidului 2,4-D, acidul monoiodacetic se manifestă ca un inhibitor al respirației, cu variații cuprinse între 8 și 34% (experiențele nr. 11-17). La concentrații de 400 și 200 mg/l respirația plantelor scade chiar de la începutul germinației cu aproximativ 1/3 din valoarea ei normală. Respirația scade simultan cu inhibiția creșterii. La concentrații mici, de 10 mg/l (experiența nr. 17), scăderea respirației este mai neînsemnată, iar deosebirile de creștere între plantulele martor și cele tratate sunt foarte reduse.

DISCUȚIA REZULTATELOR

Acidul monoiodacetic este cunoscut de multă vreme ca un inhibitor specific al fosforilării glucidelor în hexozomonofosfați, primul proces din lungul șir de reacții în respirația anaerobă și aerobă (7).

E. Lundsgaard (9), (10) a studiat efectul acestui acid asupra respirației anaerobe a drojdiei, constatănd că, în concentrație de 200 mg/l, el inhibă complet fermentația alcoolică a drojdiei de bere.

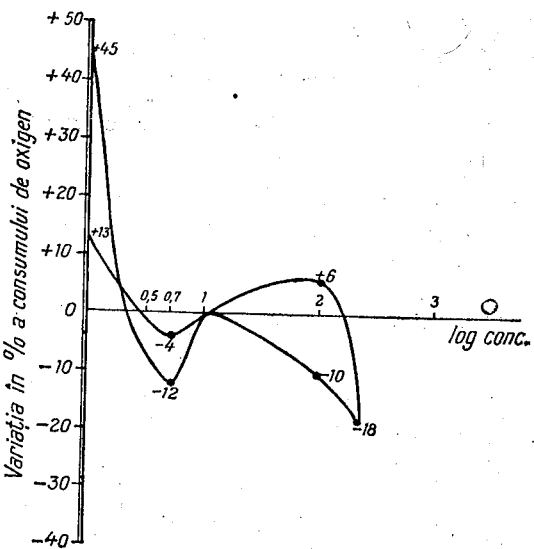


Fig. 13. — Curba variației intensității respirației în funcție de concentrația soluției de acid 2,4-D, într-o diagramă semilogaritmică.

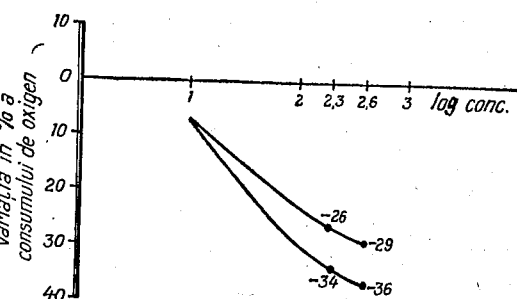


Fig. 14. — Curba variației intensității respirației în funcție de concentrația soluției de acid monoiodacetic, într-o diagramă semilogaritmică.

Cercetările noastre demonstrează că acidul monoiodacetic — care blochează fosforilarea glucidelor — inhibă și respirația aerobă a plantelor superioare. Această acțiune influențează întregul metabolism al plantulei. Astfel, la semințele tratate, utilizarea substanțelor de rezervă în diferitele sinteze pare să nu se facă în aceeași măsură ca la cele martore, lipsind energia compușilor fosforilați. O indicație în acest sens o furnizează analiza substanței uscate, după 2 și 3 zile de germinație (tabelul nr. 3).

Tabelul nr. 3

Substanță uscată (g)

Nr. experienței	Semințe tratate cu acid monoiodacetic	Semințe martor
13	0,2713	0,2557
14	0,2611	0,2379

Cifrele arată că sub influența acidului monoiodacetic se micșorează consumul rezervelor.

Cu acidul 2,4-diclorfenoxiacetic în concentrații mari a avut loc cunoscuta acțiune de oprire a creșterii. Măsurând însă consumul de oxigen, am stabilit că — în aceste concentrații — el nu provoacă modificări pregnante asupra respirației. Din acest punct de vedere efectul acidului 2,4-D se aseamănă cu al feniluretanului, pe care Warburg (1912) l-a folosit pentru a împiedica segmentarea ouălor de ursin, fără ca să fie oprită prin aceasta respirația (7).

Cercetatorul sovietic M. I. Berezovski (3) admite că mecanismul prin care acționează acidul 2,4-D constă în oprirea transformării fosforului anorganic în organic (faza de fosforilare), adică în inhibarea sintezei compușilor organici cu fosforul. L. A. Skvorcov (14) atrăză acțiunea vătămătoare a acestui acid unor modificări structurale ale protoplasmei, care au drept urmare o scădere a viscozității și a presiunii osmotice.

În experiențele noastre cu acid 2,4-D în concentrații mici, de 1 mg/l, am constatat existența unui paralelism între stimularea respirației și favorizarea creșterii (nu a creșterii în lungime, ci a diametrului și a perisorilor absorbanți). Se poate presupune că, în concentrații mici, el favorizează imbibiția ţesuturilor, iar prin mărirea suprafeței respiratorii ar îmbunătății aprovizionarea lor cu oxigen.

CONCLUZII

1. Sub efectul acidului monoiodacetic, în concentrații de 200—400 mg/l, nivelul respirației semințelor de porumb în germinație scade cu 1/3 față de martor, probabil, datorită faptului că oxigenul este utilizat în proporție mai mică, din cauza blocării specifice a sistemului enzimatic de fosforilare de către acest acid.

Creșterea plantulelor este mult întârziată față de martor, iar vîrfurile rădăcinii principale și ale celor secundare se brunifică.

2. Acidul 2,4-diclorfenoxiacetic în concentrații de 10—200 mg/l, deși inhibă creșterea, nu afectează consumul de oxigen, care la începutul germinației este egal cu al martorului, prin urmare nu produce modificări prea mari asupra respirației. În zilele următoare însă consumul oxigenului martorului crește progresiv, pe cînd la materialul tratat rămîne la nivelul scăzut de la început, accentuindu-se astfel diferența între intensitatea respirației celor două loturi.

În concentrații mici, de 1 mg/l, paralel cu favorizarea creșterii în diametru a rădăcinii și tulpiniței, acidul 2,4-D stimulează respirația.

Catedra de fiziologia plantelor
Universitatea „Babeș-Bolyai”, Cluj.

ВЛИЯНИЕ 2,4-ДИХЛОРФЕНОУКСУСНОЙ И МОНОИОДУКСУСНОЙ КИСЛОТЫ НА ДЫХАНИЕ СЕМЯН ВО ВРЕМЯ ИХ ПРОРАЩАНИЯ

РЕЗЮМЕ

Авторы изучают действие 2,4-дихлорфеноуксусной иmonoiodуксусной кислот на дыхание зерновок кукурузы (*Zea mays*) сорта Портокалиу де Тыргу Фрумос на 2—6 день их проращивания, при температуре в 26°.

2,4-дихлорфеноуксусная кислота известна своим стимулирующим действием на процессы роста при применении в слабых концентрациях и своим подавляющим действием — при применении в сильных концентрациях; monoiodуксусная кислота известна своим подавляющим действием на рост и на фосфорелирование сахаров.

При оценке интенсивности дыхания путем измерения потребления кислорода с помощью аппарата Варбурга и путем определения снижения содержания сухого вещества, авторы приходят к следующим выводам:

После того как Лудгара (1930) показал, что monoiodуксусная кислота обладает ингибирующим действием на спиртовое брожение пивных дрожжей, настоящие исследования доказывают, что эта кислота, блокирующая фосфорелирование сахаров, подавляет также и аэробное дыхание высших растений. В концентрации 200—400 мг/л она задерживает рост и снижает интенсивность дыхания на 1/3 по сравнению с контролем.

2,4-дихлорфеноуксусная кислота в больших концентрациях — 10—200 мг/л, хотя и имеет сильный ингибирующий эффект на рост, не влияет, однако, на потребление кислорода в первые 2 дня проращивания (эффект, подобный действию фенилуретана, использованного Вар-

бургом для предупреждения сегментации яиц морского ежа без прекращения дыхания). Начиная с 3-го дня проращивания, она вызывает также и слабое снижение дыхания. При слабых концентрациях в 1 мг/л 2,4-дихлорфеноуксусной кислоты, наряду с благоприятным эффектом на рост корня в толщину, стимулирует также и дыхание.

ОБЪЯСНЕНИЕ РИСУНКОВ

Таблица I. — Изменения, вызванные 2,4-дихлорфеноуксусной кислотой у ростков кукурузы (*Zea mays*): рис. 1 — двухдневный контроль; рис. 2 — в растворе 100 мг/л, через 2 дня; рис. 3 — в растворе 100 мг/л, через 4 дня; рис. 4 — 4-дневный контроль; рис. 5 — 3-дневный контроль; рис. 6 — а — в растворе 5 мг/л, через 2 и 3 дня; б — в растворе 10 мг/л, через 2 дня.

Таблица II. — Изменения, вызванные моноиодуксусной кислотой у ростков кукурузы (*Zea mays*): рис. 7 — двухдневный контроль; рис. 8 — в растворе 200 мг/л, через 2 дня; рис. 9 — в растворе 400 мг/л, через 2 дня; рис. 10 — в растворе 400 мг/л, через 6 дней; рис. 11 — в растворе 200 мг/л, через 6 дней; рис. 12 — 6-дневный контроль.

Рис. 13. — Кривая колебания интенсивности дыхания в зависимости от степени концентрации раствора 2,4-дихлорфеноуксусной кислоты, на полулогарифмической диаграмме.

Рис. 14. — Кривая колебания интенсивности дыхания в зависимости от степени концентрации раствора моноиодуксусной кислоты, на полулогарифмической диаграмме.

INFLUENCE DES ACIDES 2,4-DICHLORPHÉNOXYACÉTIQUE ET MONOIODACÉTIQUE SUR LA RESPIRATION DES SEMENCES, AU COURS DE LA GERMINATION

RÉSUMÉ

Les auteurs étudient l'effet des acides 2,4-D et monoiodacétique sur la respiration des caryopses de *Zea mays* (variété Portocaliu de Tg.-Frumos) germées depuis 2 à 6 jours, à 26°.

L'acide 2,4-D stimule les processus de croissance à de faibles concentrations et les inhibe à forte concentration, tandis que l'acide monoiodacétique est un inhibiteur de la croissance et de la phosphorylation des glucides.

En évaluant l'intensité de la respiration par la consommation d'oxygène, mesurée à l'appareil Warburg, et en déterminant la diminution de la matière sèche, les auteurs ont obtenu les données exposées ci-après :

En 1930, Lundsgaard avait montré que l'acide monoiodacétique inhibait la fermentation alcoolique de la levure de bière; les recherches des auteurs prouvent que cet acide, qui bloque la phosphorylation des glucides, inhibe également la respiration aérobie des plantes supérieures.

A des concentrations de 200—400 mg/l, il retarde la croissance et abaisse le niveau de la respiration, de 1/3 par rapport aux témoins.

L'acide 2,4-D, à forte concentration (10—200 mg/l) exerce une puissante action d'inhibition de la croissance, mais n'affecte pas la consommation d'oxygène, au cours des 2 premiers jours de germination (effet similaire à celui des phényluréthanes utilisés par Warburg pour empêcher la segmentation des œufs d'oursin, sans en arrêter la respiration). A partir du 3^e jour de germination, il cause toutefois une légère baisse de la respiration. A de faibles concentrations (1 mg/l), l'acide 2,4-D favorise la croissance du diamètre des racines et stimule en même temps la respiration.

EXPLICATION DES FIGURES

Planche I. — Modifications produites par l'acide 2,4-D chez *Zea mays* au cours de la germination des semences : fig. 1, témoin, au bout de 2 jours ; fig. 2, solution de 100 mg/l, au bout de 2 jours ; fig. 3, solution de 100 mg/l, au bout de 4 jours ; fig. 4, témoin, au bout de 4 jours ; fig. 5, témoin au bout de 3 jours ; fig. 6, a, solution de 5 mg/l, au bout de 2 et 3 jours ; b, solution de 10 mg/l, au bout de 2 jours.

Planche II. — Modifications produites par l'acide monoiodacétique chez *Zea mays* au cours de la germination : fig. 7, témoin, au bout de 2 jours ; fig. 8, solution de 200 mg/l, au bout de 2 jours ; fig. 9, solution de 400 mg/l, au bout de 2 jours ; fig. 10, solution de 400 mg/l, au bout de 6 jours ; fig. 11, solution de 200 mg/l, au bout de 6 jours ; fig. 12, témoin, au bout de 6 jours.

Fig. 13. — Courbe des variations de l'intensité de la respiration, en raison de la concentration de la solution d'acide 2,4-D. — diagramme semi-logarithmique.

Fig. 14. — Courbe des variations de l'intensité de la respiration, en raison de la concentration de la solution d'acide monoiodacétique — diagramme semi-logarithmique.

BIBLIOGRAFIE

1. ANGHEL Gh., Determinarea facultății germinative a semințelor în laborator, Ed. agro-silvică de stat, București, 1953.
2. BĂRBAT I., CERNEA S. și BĂLIBAN E., Acțiunea heteroauxinei și a preparatului 2—4 D în stare pură și în amestec cu vitamina B asupra producției la sfecă de zahăr și asupra înrădăcinării butașilor de viață de vie, Comunicările Acad. R.P.R., 1956, VI, 1.
3. БЕРЕЗОВСКИЙ М. И. и КУРОЧКИНА В. Ф., Влияние 2, 4-дихлорфеноуксусной кислоты на прорастание соедилений в растении, ДАН СССР, 1957, CXIII, 2, 458—461.
4. CHIRILEI H., Modificări provocate de acizii naftoxicetic și 2—4 diclorfenoxicetic la fructele de pălăriile roșii (*Solanum lycopersicum*), Bul. științ. Acad. R.P.R., Secțiunea de științe biologice, agronomice, geologice și geografice, 1952, IV, 3.
5. — Influența acizilor 2—4 diclorfenoxicetic și naftoxicetic asupra înrădăcinării unor butași lignificați Bul. științ. Acad. R.P.R., Secțiunea de științe biologice, agronomice, geologice și geografice, 1952, IV, 2.
6. — Acțiunea stimulată a acidului 2—4 D asupra înrădăcinării butașilor verzi de lămăi, Comunicările Acad. R.P.R., 1953, III, 1—2.
7. GENEVOIS L., Métabolisme et fonctions des cellules, Masson, Paris, 1931.
8. MUJDABA F. și ALEXANDRESCU I., Efectul substanțelor stimulatoare de creștere și a unor microelemente aplicate la plantarea viței de vie, Comunicările Acad. R.P.R. 1957, VII, 12.
9. LUNDSGAARD E., The influence of monoiodacetic acid on the enzymic hydrolysis of carbohydrates, Chemical Abstracts, 1930, XXIV.

10. LUNDSGAARD E., *The influence of monoiodacetic acid on the hydrolytic and oxidative metabolism*, Chemical Abstracts, 1930, **XXIV**, 8—10.
11. PAECH K. u. TRACEY M.V., *Moderne Methoden der Pflanzen-analyse*, Springer, Berlin, 1956, I.
12. SĂLAGEANU N. și CHIRILEI H., *ACTIONEA ACIDULUI 2—4 DICLORFENOXYACETIC ASUPRA DEZVOLTĂRII FRUCTELOR DE PĂTLIGELE ROȘII*, Comunicările Acad. R.P.R., 1953, **III**, 7—8.
13. SĂVULESCU A. și STAN ST., *Efectul unor substanțe stimulatoare de creștere asupra productivității și calității fructelor de tomate*, Comunicările Acad. R.P.R., 1956, **VII**, 8.
14. СКВОРЦОВА Л. А., *Влияние 2,4-Д на коллоидно-химические свойства растительной клетки*, ДАН СССР, 1957, **CXIV**, 1, 203—205.

STUDIUL GENETIC AL HIBRIZILOR GRIU-SECARĂ

DE

CLARA GRINVALD, I. GUTENMAHER și ELENA MAVROMATI

Comunicare prezentată de AL. PRIADGENCU, membru corespondent al Academiei R.P.R., în ședința din 27 martie 1961.

Încrucișările între genurile *Triticum* și *Secale* sunt cunoscute în literatura de specialitate încă din secolul al XIX-lea (18), cercetările intensificîndu-se în decursul anilor datorită interesului teoretic și practic pe care îl prezintă (1), (4), (5), (12).

Încrucișările între specii și genuri au permis să se emită ipoteze asupra originii și gradului de înrudire dintre diferitele specii și genuri. În același timp, ele duc la apariția de forme noi, ceea ce are o deosebită importanță, îmbogățind materialul inițial necesar în procesul de creare de noi soiuri.

În țările cu tradiție în ameliorarea grîului (U.R.S.S., S.U.A., Canada, Australia) se socotește ca o necesitate absolută extinderea variabilității speciilor cultivate, prin încrucișări sistematice îndepărtate.

Obținerea de hibrizi între grîu și secară a preocupat și continuă să preocupe un cerc larg de cercetători, deoarece secara are o serie de însușiri valoroase, de mare importanță pentru practica agricolă, ca: rezistență la iernare, boli și dăunători, precocitate, cerințe mai mici față de fertilitatea solului.

Pînă în prezent rezultatele practice nu au corespuns așteptărilor. Totuși în U.R.S.S. s-a obținut linia 434/154 mai rezistentă la ger decît soiul de grîu Lutescens 329 și soiul 46/131 raionat în mai multe regiuni și republici datorită însușirilor lui valoroase (6), (17).

În R.P.R. A.I. Priadcenku (14) a efectuat încrucișări sistematice îndepărtate și a obținut o linie grîu-secară (linia 62) care se găsește încă în procesul de ameliorare.

Experiențele executate de noi au urmărit crearea unei variabilități, studiul teoretic al transmiterii caracterelor la încrucișarea între genurile *Triticum* și *Secale*, ca și găsirea celei mai eficiente metode de polenizare în vederea obținerii materialului hibrid.

METODA DE LUCRU

În anii 1957-1959 s-au executat încrucișări între diferite specii de grâu cu linia de secară G1. În toate cazurile grâul s-a folosit ca plantă mamă, deoarece secara, în anii cu temperaturi și precipitații normale, are o durată de înflorire de circa 10-12 zile, putând astfel asigura o cantitate de polen mai mare.

Plantele castrate au fost polenizate atât după metoda clasică, adică fortat, cât și după metoda polenizării limitat-libere.

Semintele hibride F_1 și plantele părinți au fost semănate în ghivece nutritiv și apoi transplantate în cimp, în straturi de 1 m lățime, distanță între rânduri fiind de 30 cm. În jurul straturilor cu materialul hibrid s-a semănat grâu, pentru a facilita polenizarea hibrizilor F_1 autosterili. Polenizarea plantelor F_1 s-a făcut fortat, limitat-liber și pe cale naturală. Semintele F_2 și F_3 au fost semănate direct în cimp.

La maturitate plantele hibride și cele parentale au fost recoltate prin smulgere, pentru a se putea executa măsurările biometrice. Determinările citologice s-au făcut în laborator, folosind metoda aceto-carmin, recomandată de F e r e n c - O r d o g h (citat după (15)).

REZULTATELE OBȚINUTE

În experiențele executate s-au obținut prinderi numai în cazul încrucișării cu secară a speciilor de grâu hexaploide *Tr. vulgare* și *Tr. spelta* și a speciei tetraploide de grâu *Tr. turgidum*. Procentul de prindere a fost egal cu zero în cazul folosirii speciilor *Tr. dicoccum*, *Tr. durum*, *Tr. polonicum* și *Tr. compactum*.

În anul 1957 procentul de prindere a fost mai mare în cazul cînd la încrucișare au participat speciile hexaploide (2,5-3%) decît atunci cînd a luat parte *Tr. turgidum* (1,4%). S-ar părea că se confirmă părerea (15) după care aptitudinea speciilor de grâu de a se încrucișa cu secara depinde de gradul de poliploidie a speciei de grâu. Rezultatele obținute în 1959 confirmă această părere, procentul de prindere fiind de 2 ori mai mare în cazul încrucișării secarei cu *Tr. turgidum* (23,6%) decît în cazul încrucișării cu *Tr. vulgare* (12%).

Datele noastre confirmă punctul de vedere a numeroși cercetători (7), (12), (13), (15), (17) după care procentul de prindere poate să varieze de la an la an și chiar în cadrul aceluiași an de la regiune la regiune, influențat fiind de temperatură și umiditatea atmosferică.

Datele experimentale obținute în anul 1958, cînd s-a studiat procentul de prindere la încrucișarea diferitelor soiuri aparținînd speciei *Tr. vulgare* cu *Secale cereale*, au scos în evidență rolul individualității soiului de grâu folosit. Acest lucru este remarcat și de M e i s t e r și B l a c k h o u s (citați după (13), (15), (17)). Din 2 010 flori castrate s-au obținut 98 de boabe, adică un procent mediu de 4,8. Amplitudinea de variație a fost însă mare, de la 0,5% la soiul Early Blackhull, pînă la 12,4% la soiul de grâu Chinezesc 1. Aptitudinea soiurilor de grâu chinezescă de la Cenad 117 și Bărăgan 77 au dat un procent de prindere relativ scăzut (2,8-5,9%).

În anul 1959, folosind la încrucișare cu secara G1 diferite linii extinse din soiul A15, procentul mediu de prindere a fost de 15-17. La unele linii prinderea a fost mică (4-6%), la altele a egalat sau chiar a întrat procentul realizat din încrucișarea secarei cu soiul inițial A15. Cel mai ridicat procent de prindere (25,6%) s-a realizat la linia 3652/1954. Datele obținute pun în evidență deosebirile genetice între diferitele forme de grâu, care se concretizează printre altele și prin aptitudinile lor diferite de a se încrucișa cu secara.

Pentru a stabili cea mai eficientă metodă de polenizare, în anul 1959 s-au folosit paralel atât polenizarea fortată cât și cea limitat-liberă. Din 9 320 flori de *Tr. vulgare* polenizate limitat-libere cu polen de secară s-au obținut 1 123 boabe (12%), iar la încrucișările speciei *Tr. turgidum* cu secara un procent de prindere de 23,6.

Polenizarea fortată a 4 160 flori de *Tr. vulgare* a dat o prindere de 11 și, respectiv, 20% pentru *Tr. turgidum*. Prin urmare, valoarea procentuală a fost doar cu puțin mai ridicată în cadrul polenizării limitat-libere. Tinem să adăugăm însă că prin folosirea acestei metode cel mai mic procent de prindere înregistrat a fost de 4,4, în timp ce prin polenizarea fortată au fost cazuri cînd nu s-a găsit nici un bob în spic. Dacă la acestea se adaugă și faptul că polenizarea limitat-liberă nu cere brațe de muncă atît de specializate și că productivitatea muncii crește în sensul că se pot poleniza într-un timp scurt un număr infinit mai mare de flori, devine clar că metoda limitat-liberă de polenizare se impune ca fiind mai eficientă.

Boabele hibride rezultate au fost zbîrcite, dar cu aspect de grâu. Facultatea germinativă a fost de 50-60% în cazul încrucișărilor cu *Tr. vulgare* și egală cu 0 în cazul încrucișărilor cu *Tr. turgidum*.

Descrierea primei generații

Hibrizii au avut un aspect intermediar. În urma măsurătorilor biometrice executate s-a constatat că secara a dominat prin următoarele caractere: prezența perilor sub spic, lungimea și direcția aristelor, lățimea spiculețului și a glumei.

Grâul a dominat prin poziția transversală a spiculețului terminal, înălțimea spiculețelor, forma și lungimea glumei.

Numărul de spiculete în spic și numărul de flori în spiculeț au avut un caracter intermediar între cei doi părinți. Densitatea spicului a fost mai mare la hibrizii F_1 decît la formele parentale. În general a dominat aspectul grâului. Plantele F_1 au fost viguroase, heterozisul manifestîndu-se mai ales în ceea ce privește înălțimea plantei și lungimea spicului. La hibrizii primei generații glumele și palele au fost puternic deschise în timpul înfloritului, formînd un unghi de 30-49°. Plantele din F_1 au o rezistență la iernare asemănătoare cu a soiurilor de grâu; nu sunt rezistente la rugina brună și din cauza înfloririi deschise sunt atacate ușor de *Claviceps purpurea*. În toate celulele somatice (fig. 1, a) s-au găsit 28 de cromozomi, din care 21 provin de la *Tr. vulgare* și 7 de la *Secale cereale* (16).

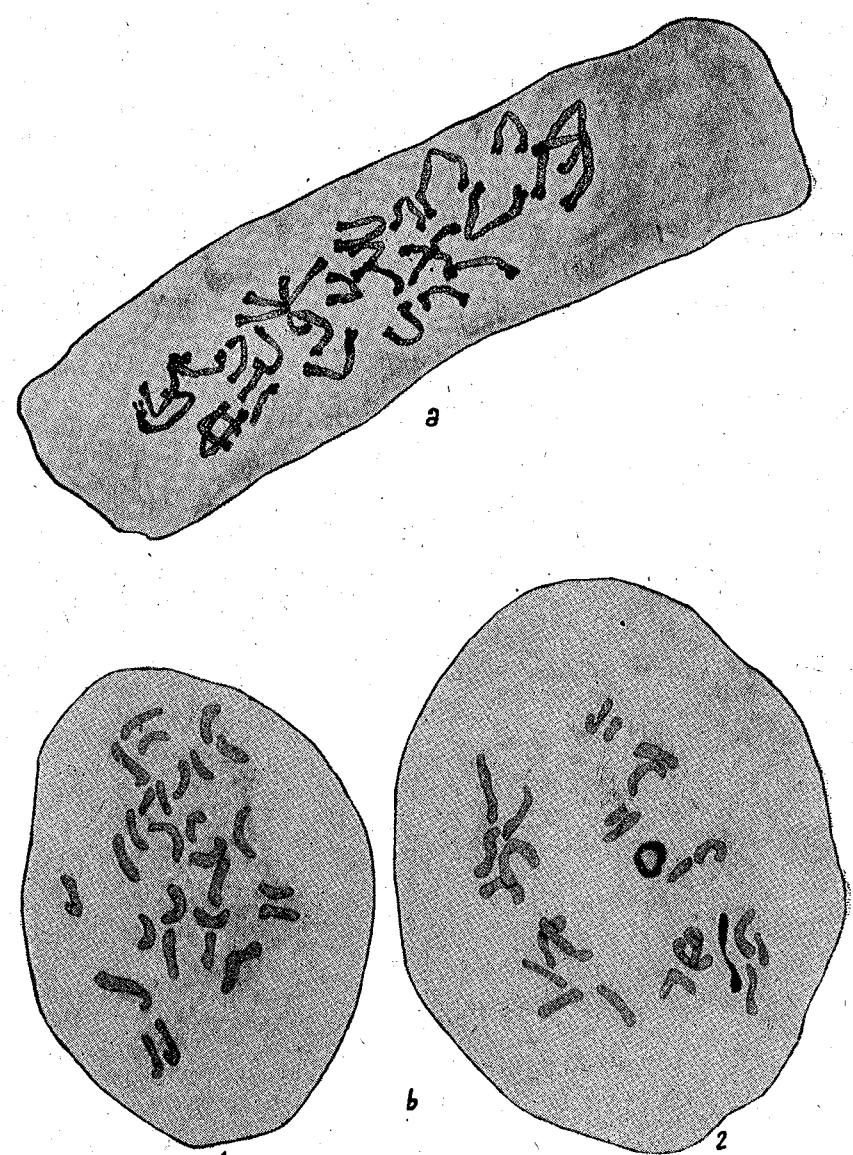


Fig. 1. — Aspecte citologice din prima generație: a, metafază somatică ($2n=28$); b, metafaze heterotipice (1; $28I$; $2,24I + 2II$);

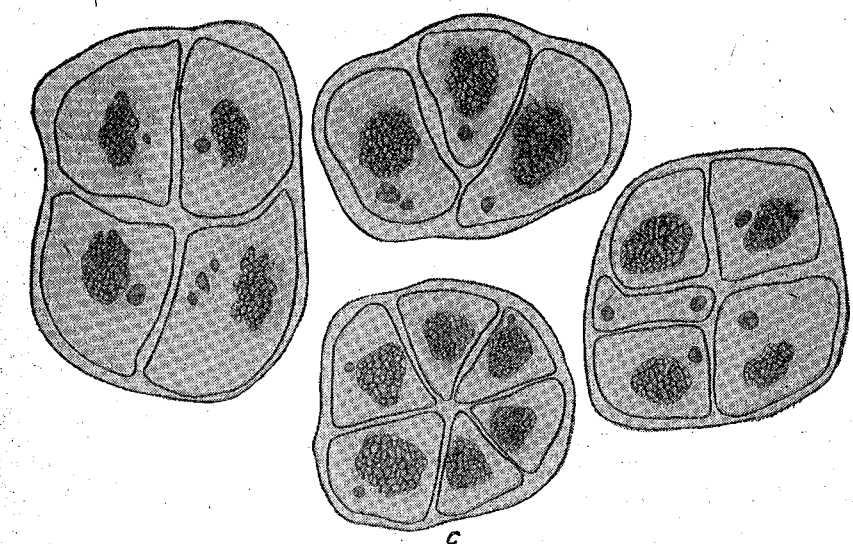


Fig. 1 — Continuare c, tetrade cu micronuclei și microcite.

porție de 64,3%. Procentual, în F_2 au fost complet sterile 27,3 spicce. Din totalul spicelor, au avut 1–3 boabe în spic 22,7%; 8–10 boabe – 4,5%; 20–30 de boabe – 9% și 30–50 de boabe – 36,3%.

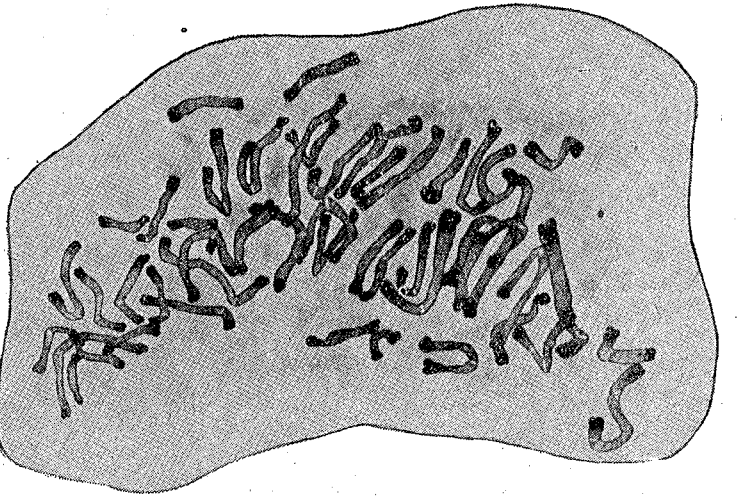


Fig. 2. — Metafază somatică la generația a două ($2n = 49$).

Mărimea și forma boabelor au fost diferite, unele fiind lungi dar puțin zbârcite, altele având o formă apropiată de a boabelor de grâu dar foarte zbârcite.

Plantele F_2 , obținute din repolenizarea cu grâul, au avut în celulele somatice un număr de 47–49 de cromozomi (fig. 2). Literatura indică în F_2 o variație mai mare, și anume 38–49 de cromozomi (7), (13), (16), (17). Faptul că în experiențele noastre s-au obținut plăci metafazice cu 47–49 de cromozomi se datorează sacrificării unui număr mai mic de boabe, deoarece plantele F_1 leagă greu, obținându-se puține semințe.

Numărul de 47–49 de cromozomi arată că alături de cei 42 de cromozomi de la *Tr. vulgare* s-au mai găsit 5–7 cromozomi de secară. Majoritatea cromozomilor au fost voluminoși, heterobrahiali și lungi. Unul dintre cromozomii heterobrahiali a avut sateliți, caracter moștenit și în F_2 de la secară. S-au mai găsit 2–5 cromozomi cefalobrahiali și 0–2 cromozomi izobrahiali.

Descrierea generației a treia

Procesul de dezbinare a continuat și în F_3 . Astfel, lungimea puiului a variat între 63 și 128 cm, lungimea spicului între 8,5 și 15,5 cm.

În F_3 au apărut plante cu spicce albe și roșii, mutice și aristate, cu fragilitatea rahisului diferită, cu aspect de *Tr. vulgare*, precum și forme speltoide.

Din cei 28 de cromozomi 2–4 au fost cefalobrahiali, 0–2 izobrahiali, restul fiind heterobrahiali, filamentoși. Unul din cromozomii heterobrahiali a fost satelitifer prezentând la unul dintre capete 2 sateliți, caracter moștenit de la secară.

Studiul meiotic indică în metafaza heterotipică (fig. 1, b), 28 de cromozomi, care s-au prezentat de obicei ca 22–28^I (univalenti) și 0–3^{II} (bivalenti). Analiza statistică a numărului de univalenti și de bivalenti din metafaza heterotipică arată că: 19% din celule au avut 28^{II} și 0^{II}; 26% au avut 26^I și 1^{II}; 44% cite 24^I și 2^{II} și 11% cu 22^I și 3^{II}.

Cromozomii bivalenti sunt legați de regulă la un singur capăt. În unele celule s-au găsit însă și cromozomi cu două legături (chiasme) terminale.

În anafaza și telofaza primei diviziuni reducționale se observă neuniformități, numeroși cromozomi restanțieri, iar în diade prezența granulelor de cromatină (fig. 1, c).

Aceste anomalii se observă și în a doua diviziune reducțională, unde aproape în toate celulele se constată apariția unuia sau mai multor micronuclei sau a microcitelor (3–8 microcrite). Uneori micronucleii se elimină, altori persistă sub formă de granule cromatice în celulele de polen tineri. Numărul mare de univalenti, orientarea neregulată a cromozomilor în fusul nuclear, existența micronucleilor și a microcitelor duc la formarea granulelor de polen neviabile, sterile, la indehiscentă anterelor, ceea ce explică în mare măsură autosterilitatea hibridului grâu × secară în F_1 .

Numai în urma polenizării libere cu grâul procentul de prindere a fost de 2,06, din care s-a obținut a doua generație hibridă.

Descrierea generației a două

Aspectul morfologic al lui F_2 a fost foarte diferit, deoarece în această generație a avut loc scindarea caracterelor și apariția formelor noi. O parte dintre hibrizi au avut aspectul plantelor din F_1 , alții au semănăt cu grâul, iar alții au avut aspect intermediar între F_1 și grâu. Nu s-au obținut forme asemănătoare cu secara.

S-a constatat o mare variabilitate în ceea ce privește lungimea puiului, lungimea și densitatea spicului, prezența sau absența aristelor etc. Astfel, lungimea puiului a înregistrat valori de 63–140 cm, lungimea spicului de 7,5–20 cm, densitatea spicului a fost uneori ca la *Tr. vulgare* (20 spicule pe 10 cm), altă dată au apărut spicce laxe de tip speltoid. În F_2 au apărut caractere cu totul noi. Astfel 25% din plante au avut rahisul fragil; 5% din ele au avut spicile de tip squarehead; 50% au fost mutice, cu toate că formele parentale inițiale au fost aristate; 10% au avut gluma păroasă.

Ferozitatea ultimului internod, caracter moștenit de la secară, a apărut la 5% din totalul indivizilor.

Fertilitatea spicelor hibride a fost mai ridicată în F_2 decât în F_1 , fiind în medie de 30,6%. Ea a variat însă mult de la plantă la plantă. Astfel, unele spicce au fost total sterile, în timp ce altele au legat în pro-

Numărul de cromozomi în celulele somatice a variat foarte mult în F_3 . S-au găsit 36–49 de cromozomi (fig. 3), ceea ce confirmă datele din literatura de specialitate (3), (15), cu deosebirea că aceasta dă o amplitudine de variație de 38–49 și nu de 36–49 de cromozomi, cum s-a găsit în plăcile mitotice studiate de noi.

Datele obținute arată că 25% din plăci au avut 36–38 de cromozomi, 50% din plăci 40–45 de cromozomi și 25% un număr de 47–49 de cromozomi. Majoritatea plăcilor au avut un număr de cromozomi apropiat de cel al grâului ($2n=42$ cr.).

În F_2 , ca și în F_3 , numărul de cromozomi în celulele somatice este deci foarte variabil. Această amplitudine de variație exprimă heterogenitatea materialului, ceea ce se evidențiază și morfologic, hibrizii fiind foarte diferenți în ceea ce privește aspectul lor.

Fertilitatea a fost diferită de la o plantă la alta, variind între 0 și 70,9%. Astfel, din totalul spicelor, 11,7% au fost complet sterile; 23,6% au avut 1–5 boabe în spic; 17,8% cîte 6–10 boabe; 23,5% cîte 10–20 de boabe; 14,5% cîte 20–30 de boabe și 8,8% cîte 30–50 de boabe.

Așadar, în raport cu F_2 , în F_3 a scăzut atât numărul plantelor cu 50 de boabe în spic, cît și al celor complet sterile. În schimb, a crescut procentul plantelor cu 5–30 de boabe în spic. În general, se poate spune că s-a mărit numărul plantelor asemănătoare grâului.

Faptul că din totalul spicelor au fost complet sterile 27,3% în F_2 și 11,7% în F_3 , iar 72,7, respectiv, 88,3% fertile în mod diferit se explică prin retroîncrucișările hibrizilor cu grâu. Aceasta a permis să se împerecheze între ei cromozomii omologi, spre deosebire de F_1 , cînd cromozomii celor două genuri participante la încrucișare sunt foarte diferenți și inapăti de a forma bivalenți.

Acest lucru a reiesit din studiul meiozei la hibrizii grâu × secără F_3 (fig. 3,d). Se constată că diviziunea reducțională este mult mai regulată decit la primele două generații hibride, deși se mai mențin unele ne-regularități.

Caracteristică este însă creșterea numărului cromozomilor bivalenti (19–21^{II}) și micșorarea numărului de cromozomi univalenti (1–5^I). Ca o consecință a normalizării diviziunii reducționale a crescut fertilitatea plantelor.

CONCLUZII

1. Încrucișările între genurile *Triticum* și *Secale* au reușit în cazul cînd s-au folosit speciile de grâu *Tr. vulgare* și *Tr. turgidum*.

2. Procentul de prindere este variabil depinzînd de condițiile climatice ale anului, de individualitatea soiului de grâu, cît și de metoda de polenizare folosită.

Soiurile Chinezesc 1, Bezenciu 51 și linia 3658 au o mai mare capacitate de încrucișare cu secără decit soiurile Cooperatorka, Bărăgan 77, Cenad 117 și Early Blachkull.

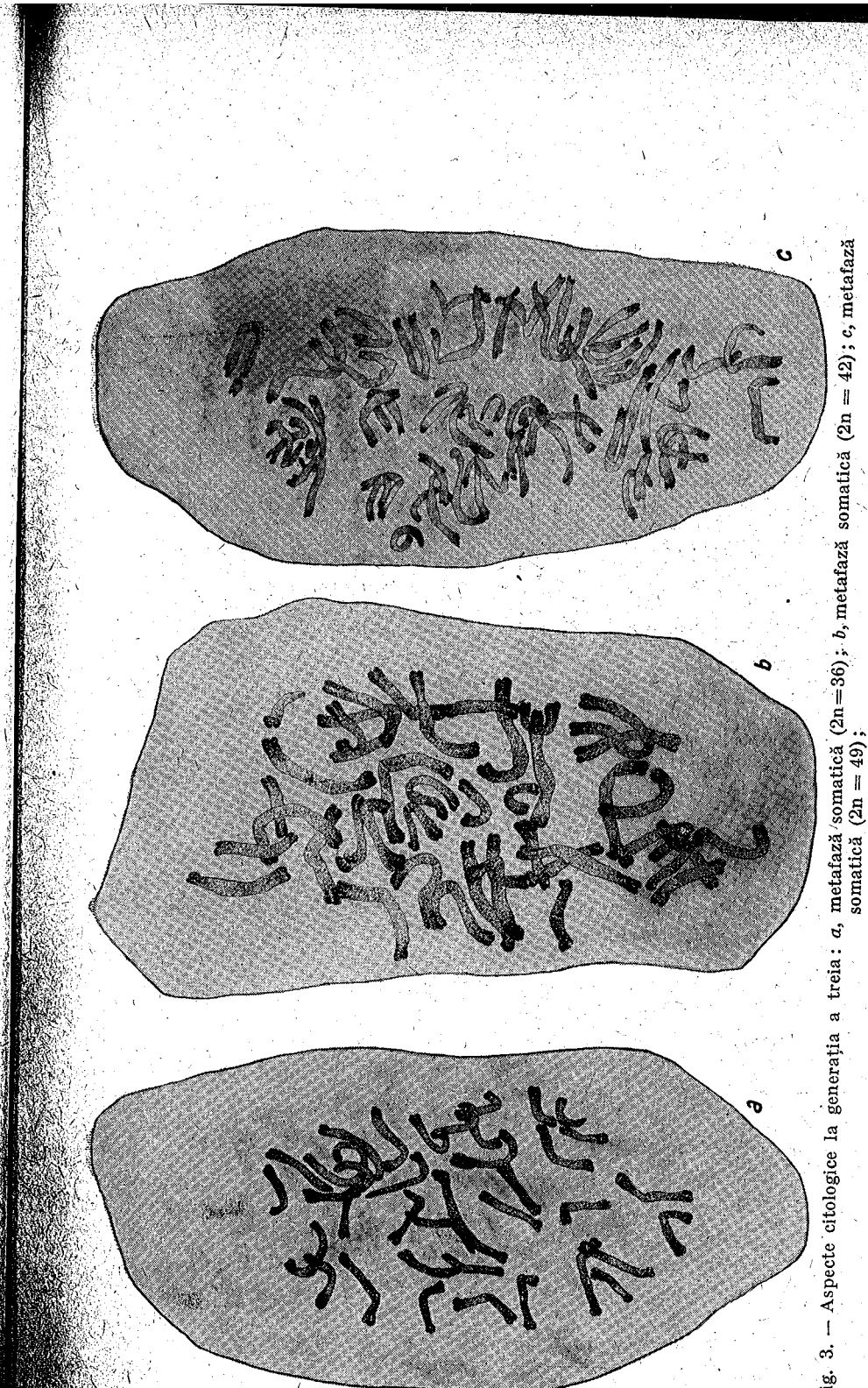


Fig. 3. — Aspekte citologice la generația a treia: a, metafază somatică ($2n=36$); b, metafază somatică ($2n=42$); c, metafază somatică ($2n=49$).

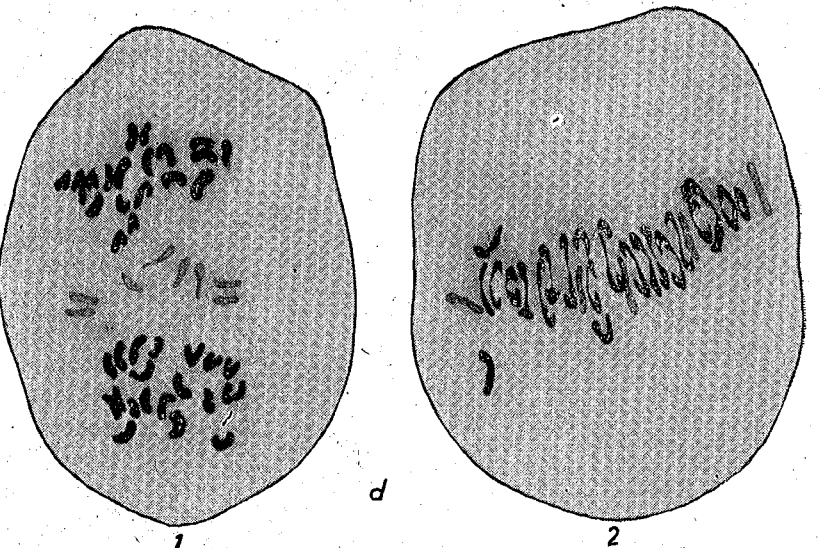


Fig. 3. — Continuare d, metafaze heterotipice (1, 19^{II} + 4^I; 2, 20^{II} + 5^I).

3. Prima generație hibridă a fost puternic dezvoltată și uniformă, prezentându-se ca un mozaic de caractere de la cei doi genitori. Aspectul grâului a dominat. Celulele mame polinice au prezentat 22—28 de cromozomi univalenti și 0—3 bivalenti, ceea ce explică autosterilitatea hibrizilor în F_1 .

4. Prin polenizare liberă a hibridului grâu-secară F_1 se poate restabili în parte fertilitatea lui.

5. Hibrizii F_2 și F_3 s-au caracterizat printr-o variabilitate pronunțată atât din punct de vedere morfologic cât și al numărului de cromozomi. Au apărut forme asemănătoare grâului, datorită retroîncrucișării cu grâul în F_1 și F_2 , precum și neoformațiuni: spica cu rahisul fragil, speltoizi, spica de tip squarehead. În F_3 numărul de bivalenti în celulele mame polinice crește (19—21^{II}) și în consecință se înregistrează și creșterea fertilității hibrizilor.

ГЕНЕТИЧЕСКОЕ ИЗУЧЕНИЕ ГИБРИДОВ ПШЕНИЦЫ С РОЖЬЮ

РЕЗЮМЕ

Исследования проводились в 1957—1959 годах. Скрещивались различные виды пшеницы с рожью.

Скрещивание между родами *Triticum* и *Secale* дало результаты только при использовании гексаплоидных видов пшеницы *Tr. vulgare* и *Tr. spelta* и тетраплоидного вида *Tr. turgidum* и не дало результатов при использовании других видов.

Полученные данные показали, что сорта Китайский 1, Безенчук 51 и линия 3658, отобранная из сорта А 15, легче скрещиваются с рожью, чем сорта Кооператорка, Бэрэган 77, Ченад 117 и Эрли Блэкхэлл.

При использовании принудительного и ограниченно-свободного опыления, полученный процент завязывания был практически одинаковым; все же ограниченно-свободный метод опыления, повышающий производительность труда, является более рекомендованным.

В работе подробно описывается морфология, цитологические особенности и фертильность гибридов F_1 , F_2 и F_3 .

В более поздних поколениях процесс редукционного деления нормализуется и восстанавливается фертильность гибридов. Так в F_3 было установлено 19—21^{II} и 5—1^I, а количество в различной степени фертильных колосьев достигает 88,3%.

ОБЪЯСНЕНИЕ РИСУНКОВ

Рис. 1. — Цитологические аспекты в первом поколении: a — соматическая метафаза ($2n=28$); b — гетеротипические метафазы (1 — 28^I; 2 — 24^I + 2^{II}); c — тетрады с микроядрами и микроцитами.

Рис. 2. — Соматическая метафаза во втором поколении ($2n=49$).

Рис. 3. — Цитологические аспекты в третьем поколении: a — соматическая метафаза ($2n=36$); b — соматическая метафаза ($2n=42$); c — соматическая метафаза ($2n=49$); d — гетеротипические метафазы (1 — 19^{II} + 4^I; 2 — 20^{II} + 5^I).

ÉTUDE GÉNÉTIQUE DES HYBRIDES BLÉ-SEIGLE

RÉSUMÉ

Les travaux ont été effectués entre 1957 et 1959. On a pratiqué des croisements entre différentes espèces de blé et le seigle.

Les croisements entre les genres *Triticum* et *Secale* ont donné de bons résultats à l'aide des espèces hexaploïdes de blé *Triticum vulgare* et *Tr. spelta* et de l'espèce tétraploïde *Tr. turgidum*; ils n'ont pas donné de résultats quand d'autres espèces ont été utilisées.

Les variétés Chinezesc 1, Bezenciu 51 et la lignée 3 658, issue de la variété A 15, possèdent une meilleure capacité de croisement avec le seigle que les variétés Cooperatorka, Bărăgan 77, Cenad 117 et Early Blackhull.

L'application parallèle des méthodes de pollinisation forcée et de pollinisation libre limitée a donné des proportions de graines hybrides pratiquement égales. La dernière méthode est toutefois la plus recommandable, car son application détermine des rendements accrus.

Les auteurs donnent une description détaillée de la morphologie, du comportement cytologique et de la fertilité des hybrides F_1 , F_2 et F_3 .

Au cours des générations suivantes, le processus de division réductionnelle se normalise et la fertilité des hybrides se rétablit. Ainsi, on a trouvé, en F_3 , 19–21^{II} et 5–1^I et le nombre d'épis fertiles, à différents degrés, a atteint 88,3%.

EXPLICATION DES FIGURES

Fig. 1. — Aspects cytologiques de la première génération, a, Métaphase somatique ($2n = 28$); b, métaphases hétérotypiques (1, 28^I; 2, 24^I + 2^{II}); c, tétrades à micronoyaux et mycrocytes.

Fig. 2. — Métaphase somatique à la deuxième génération ($2n = 49$).

Fig. 3. — Aspects cytologiques de la troisième génération. a, Métaphase somatique ($2n = 36$); b, métaphase somatique ($2n = 42$); c, métaphase somatique ($2n = 49$); d, métaphases hétérotypiques (1, 19^{II} + 4^I; 2, 20^{II} + 5^I).

BIBLIOGRAFIE

1. BLEDSOE R.P., A rye-wheat hybrid. *The Journal of Heredity*, 1932, 23.
2. CHAPMAN V. a. RILEY RALPH., Disomic addition of rye chromosome II to wheat, *Nature*, 1955, 4468 175.
3. FLORELL V., A cytologic study of wheat × rye hybrids and backcrosses, *J. of agric. Research*, 1931, 42.
4. — A genetic study of wheat × rye hybrids and backcrosses, *J. of agric. Research*, 1931, 42.
5. JESENKO F., Ueber Getreide-Speziesbastarde (Weizen-Roggen), *Zeitschrift für inductive Abstammungs- und Vererbungslehre*, 1913, 10.

6. ЖУКОВСКИЙ П. М., *Пшеница в СССР*, Гос. изд. сельск. литературы, Москва—Ленинград, 1957.
7. LATHOUWERS V., *Manuel de l'amélioration des plantes cultivées. II (l'amélioration du froment)*, Paris, 1942.
8. LEIN A., *Die Wirkksamkeit von Kreuzbarkeitsgenen des Weizens in Kreuzungen von Roggen ♀ mit Weizen ♂*; *Der Züchter*, 1942, 1.
9. ЙЭСАК Г. А., *Оригинальная форма пшенично-ржаного гибрида*. *Природа*, 1955, 4.
10. NAKAJIMA G., *Das cytogenetische Studium des F_1 Hybriden, zwischen *T. persicum* und *S. cereale**, *Chromosoma*, 1956, 30–31.
11. — *A cytological study on the F_2 plant *T. sphaerococcum* × *cereale**, *Japan J. Genetics*, 30, 5. 1955.
12. OEHLER E., *Untersuchungen über Ansatzverhältnisse. Morphologie und Fertilität bei Weizen-Roggen-Bastarden*, *Zeitschrift für Züchtung, A. Pflanzenzüchtung*, 1931, 16.
13. — *Art- und Gattungskreuzung*, *Handbuch der Pflanzenzüchtung*, Berlin — Hamburg, 1958, I.
14. PRIADENCU AI., *Contribuții la studiul hibrizilor îndepărtați. Hibridul gruș × secără*, *Anal. I.C.A.R.*, 1952, XX.
15. RAJHATHY T., *A búza és nemesítése. Interspecific and intergeneric crossing*, *Akademiai Kiado*, Budapest, 1955.
16. THOMPSON W.P., *Chromosome behaviour in a cross between wheat and rye*, *Genetics* 11, Wisconsin Manasho, 1926.
17. ВАВИЛОВ Н. И., *Теоретические основы селекции растений*, Гос. изд. совх. и колх. литературы, Москва-Ленинград, 1935, II.
18. WILSON A.S., *On wheat and rye hybrids*, *Transactions of the Royal Society of Edinburgh, Proceedings of Botany*, 1876.

CERCETĂRI PRIVIND EVOLUȚIA ARBORILOR DEFOLIAȚI DE *LYMANTRIA MONACHA* L.

DE

I. POPESCU-ZELETIN,
MEMBRU CORESPONDENT AL ACADEMIEI R.P.R.,
V.G. MOCANU și S. PUIU

Comunicare prezentată în ședința din 17 noiembrie 1960

În anii 1956 și 1957 o parte din pădurile ocoalelor silvice Borsec și Broșteni au fost defoliate de omida insectei *Lymantria monacha* L. În toamna anului 1957 s-au găsit, în zona atacată, arborete total sau parțial defoliate alături de altele nedefoliate.

Printre aspectele luate în studiu de fostul Centru de cercetări biologice al Academiei R.P.R., cu ocazia sprijinului științific acordat acțiunii de combatere din 1958, a fost și acela privind cunoașterea evoluției arborilor defoliați de această omidă, cu scopul de a se stabili dacă și în ce condiții arborii atacați își mai refac aparatul foliaciu. În această lucrare se prezintă rezultatele cercetărilor privind acest aspect, efectuate în perioada de vegetație din 1958.

Din literatura de specialitate se cunoaște că defolierile complete, cauzate de omida de *Lymantria monacha* L., duc la uscarea arborilor (2), (3), (4) și că, în general, molizii parțial defoliați se refac greu (1). Aceste constatări apar ca observații secundare în studiile asupra biologiei și combaterii dăunătorului. Nu se cunosc cercetări sistematice asupra evoluției molizilor parțial sau total defoliați, din care să rezulte condițiile și ritmul de refacere a aparatului foliaciu sau de uscare.

Cercetările noastre s-au localizat într-o suprafață de cercetare de 1,2 ha din parcela 4, pădurea Arcoza (U.P. Făgetel), Ocolul silvic Borsec, populată numai cu molid, în vîrstă de 70 de ani, și având următoarele caracteristici: densitatea 0,7, diametrul mediu 35 cm, înălțimea medie 32 m.

Arboretul se găsea în centrul zonei atacate (îngă șoseaua națională Toplița – Borsec), între 850 și 880 m altitudine, pe un teren inclinat

(10–25°) cu expoziție generală estică; solul brun de pădure podsolit, cu textură nisipo-lutoasă, cu mult schelet în unele locuri; precipitații medii anuale 712 mm, temperatură medie anuală 6,4° (în luna cea mai căldă – iulie 17,5°; în luna cea mai rece – ianuarie –5,9°) și vînturi dominante din sectorul de vest.

Primul atac a fost combătut aviochimic în primăvara anului 1957, înregistrîndu-se o mortalitate a omizilor în proporție de 72%. Combatearea aviochimică din primăvara anului 1958, cu mijloace perfectionate, a avut ca efect stăvîlirea completă a atacului (mortalitate 99,9%).

Suprafața experimentală s-a delimitat în portiunea cea mai reprezentativă din punctul de vedere al variației intensității defolierilor. Arborii au fost numerotați (cu vopsea de ulei), inventariati și clasificați după două criterii: *poziția în arboret și intensitatea defolierii*.

După poziția arborilor în arboret s-au distins 4 clase de arbori:

- predominantă (I);
- dominantă (II);
- codominantă (III);
- dominață (IV).

În raport cu intensitatea defolierii s-au stabilit 5 categorii:

- arbori nefoliați (0);
- arbori cu jumătatea superioară a coroanei defoliată (1);
- „ „ „ inferioară „ „ „ (2);
- arbori cu întreagă coroană parțial defoliată (3);
- „ „ „ coroană aparent complet defoliată (4).

În cadrul fiecărei dintre categoriile 1, 2 și 3 s-au găsit arbori cu defolieri mai mult sau mai puțin accentuate, fără să fi fost posibilă distincția unor subcategorii.

Fiecare arbore numerotat a fost clasificat după cele două criterii, atât la începutul (29.IV.1958), cât și la sfîrșitul cercetărilor de teren (16.XI.1958). Clasificările s-au făcut pe baza observațiilor efectuate concomitent (cu ochiul liber și cu binoclu) de 2–3 cercetători, așezati la distanțe și pe direcții diferite, în scopul de a se evita pe cât posibil aprecierile subiective¹⁾. Pentru a se putea cunoaște mai precis evoluția fiecărui arbore din suprafața experimentală s-au determinat lunar (26.V; 26.VI; 26.VII; 26.VIII; 24.IX și 16.XI) creșterile radiale ale tulpinilor (la 1,30 m de la sol, pe partea din amunte), în raport cu situația de la începutul cercetărilor (29.IV) luată ca reper. Determinările s-au făcut cu auxometrul comparitor, după metoda elaborată de noi în acest scop (6).

În tabelele nr. 1 și 2 și în graficele din figurile 1–6 se prezintă, în valori medii, datele cifrice obținute din determinările făcute la cei 472 de arbori din suprafața de cercetare. Aceste date ne-au permis analiza evoluției arborilor defoliați în perioada de vegetație din 1958, pe clase poziționale și, în cadrul acestora, pe categorii de defoliere, după cum urmează:

Arborii predominantă (I, tabelul nr. 1) sunt cei mai bine dezvoltăți. Au înălțimile și coroanele cele mai mari și, ca atare, dispun de cea mai

¹⁾ La primele cercetări de teren a luat parte și V. Enescu.

Tabelul nr. 1

Situatia arborilor din suprafața experimentală la începutul (P) și sfîrșitul (T) perioadei de vegetație din 1958

Clasa de arbori	Specifi-care	Numărul de arbori pe categorii de defoliere					Total
		0	1	2	3	4	
I	P	29	1	11	13	19	73
		+ 10	—	— 10	—	—	16
		+ 8	—	—	— 8	—	
		—	+ 1	—	— 1	— 1	
		—	—	+ 1	—	— 1	
	T	47	2	2	5	17	73
II	P	46	14	25	36	70	191
		+ 7	— 7	—	—	—	40
		+ 15	—	— 15	—	—	
		—	—	— 3	—	+ 3	
		+ 21	—	—	— 21	—	
		—	—	—	— 4	+ 4	
III	T	89	10	20	11	61	191
	P	10	6	14	40	48	118
		+ 9	—	— 9	—	—	25
		+ 37	—	—	— 37	—	
		—	—	+ 9	—	— 9	
	T	56	6	14	3	39	118
IV	P	14	1	—	42	33	90
		+ 11	—	—	— 11	—	19
		—	—	—	— 14	+ 14	
		—	+ 2	—	—	— 2	
		—	—	+ 1	—	— 1	
		—	—	—	+ 6	— 6	
Tot. P	T	25	3	1	23	38	90
	n	99	22	50	131	170	472
	%	21	5	10	28	36	100
Tot. T	n	217	21	37	42	155	472
	%	45	5	8	9	33	100
							—

Tabelul nr. 2
Cresterile medii anuale ale arborilor din suprafața experimentată

Clasa de arbori	Specifi-care	Lățimea medie a inelului anual pe categorii de defoliere						Total n							
		0	1	2	3	4	5								
I	mm	0,77	—	0,07	0,58	0,10	—	0,30	0,64	—	0,25	—	—	—0,88	—
	n	29	—	1	10	1	—	8	5	—	1	1	—	17	72
II	mm	0,71	0,48	0,04	0,24	0,16	—0,84	0,36	0,25	—0,34	0,19	—0,19	—	-1,07	—
	n	46	7	7	15	7	3	21	11	4	3	13	—	54	191
III	mm	1,42	—	0,19	0,43	—0,01	—	0,27	0,06	—	—	—0,20	—	-1,01	—
	n	10	—	6	9	5	—	37	3	—	—	9	—	39	118
IV	mm	0,92	—	0,10	—	—	—	0,16	0,17	—0,05	0,19	0,12	0,04	-1,00	—
	n	14	—	1	—	—	—	11	17	14	2	1	6	24	90
Total	n	99	7	15	34	13	3	77	36	18	6	24	6	134	472

Notă: n = numărul de arbori.

mare vitalitate. Ei reprezintă clasa cea mai puțin numeroasă (16%, fig. 5) și mai puțin atacată de omida de *Lymantria monacha* L. (60%, fig. 5).

Arborii nedefoliați din această clasă, categoria 0 (40%) au vegetat în condiții normale și au constituit exemplare martori. Variația creșterilor lor medii lunare, reprezentată grafic în figura 1, pune în evidență o perioadă mare de creșteri, terminată în luna august, și în continuare o perioadă mică, aparent neîncheiată pînă la ultima determinare, de la 16.XI. 1958. S-a remarcat apariția în luna mai a unei contrageri a tulpinilor, observată de altfel la majoritatea categoriilor din toate clasele de arbori (fig. 1—4). Cei 29 de arbori inventariați la această categorie(0) au realizat în decursul perioadei de vegetație o creștere radială (lățimea inelului anual) de 0,77 mm (tabelul nr. 2).

Arborii parțial defoliați din această primă clasă, aparținînd categoriilor de defoliere 1,2 și 3 ($1 + 15 + 18\% = 34\%$) s-au comportat diferit în decursul perioadei de vegetație din 1958. Unii din categoria 2 ($10 = 91\%$) și din categoria 3 ($8 = 62\%$) și-au refăcut aparatul foliaciu și, ca atare, la ultimul control (16.XII) au fost înregistrati în categoria 0 (fig. 1). Ei au avut creșteri medii anuale relativ mici în comparație cu arborii martori din categoria 0 (76 și 39%), după cum se poate vedea din tabelul nr. 2. Alții, din categoriile : 1 (singurul exemplar), 2 ($1 = 9\%$) și 3, ($5 = 38\%$) au rămas tot în categoriile în care au fost clasificate la începutul cercetărilor. Cei din primele două categorii au înregistrat creșteri medii anuale mai mici ($10, 13\%$), în timp ce ceilalți, din categoria 3, au avut creșteri mari (83%) în comparație cu creșterea arborilor martori. Procesul de refacere la arborii trecuți în categoria 0 a constat din apariția de lujeri anuali — viguroși — în părțile defolate ale coroanei. La cei rămași în categoriile initiale — „stationari” — lujerii cei mai mulți au apărut în majoritatea cazurilor în părțile nedefolate ale coroanelor. În plus se pare că la arborii staționari din categoriile 2 și 3 procesul de creștere în grosime a început cu cel puțin o lună mai devreme. Se remarcă de asemenea situația diferită a arborilor din categoria 2, la care perioada mare de creșteri s-a încheiat cu o lună mai tîrziu (fig. 1).

Arborii aparent complet defoliați din categoria 4 ($19 = 26\%$), de altfel ca și cei similari din celealte clase, provin dintre arborii defoliați parțial în 1956 și aparent total în 1957. În decursul perioadei de vegetație din anul 1958, o mică parte dintre aceștia ($2 = 10\%$) și-au refăcut parțial aparatul foliaciu. Aceștia, la ultimul control, au fost înregistrati în categoriile 1 și 2 (fig. 1). La singurul arbore trecut în categoria 1 s-a observat același fenomen de începere a creșterii în grosime mai devreme, ca și în cazul semnalat anterior¹), și a înregistrat o creștere relativ mare ($0,25 \text{ mm} = 38\%$) în comparație cu arborii nedefoliați. Ceilalți arbori din această categorie de defoliere (90%) au intrat în procesul de uscare, evidentiat de contragerea susținută a tulpinilor pînă în luna septembrie (fig. 1), după care se observă o aparentă revenire.

¹⁾ La celălalt arbore nu s-au putut înregistra creșterile, întrucât au fost distruse repele pentru determinările cu auxometru comparitor.

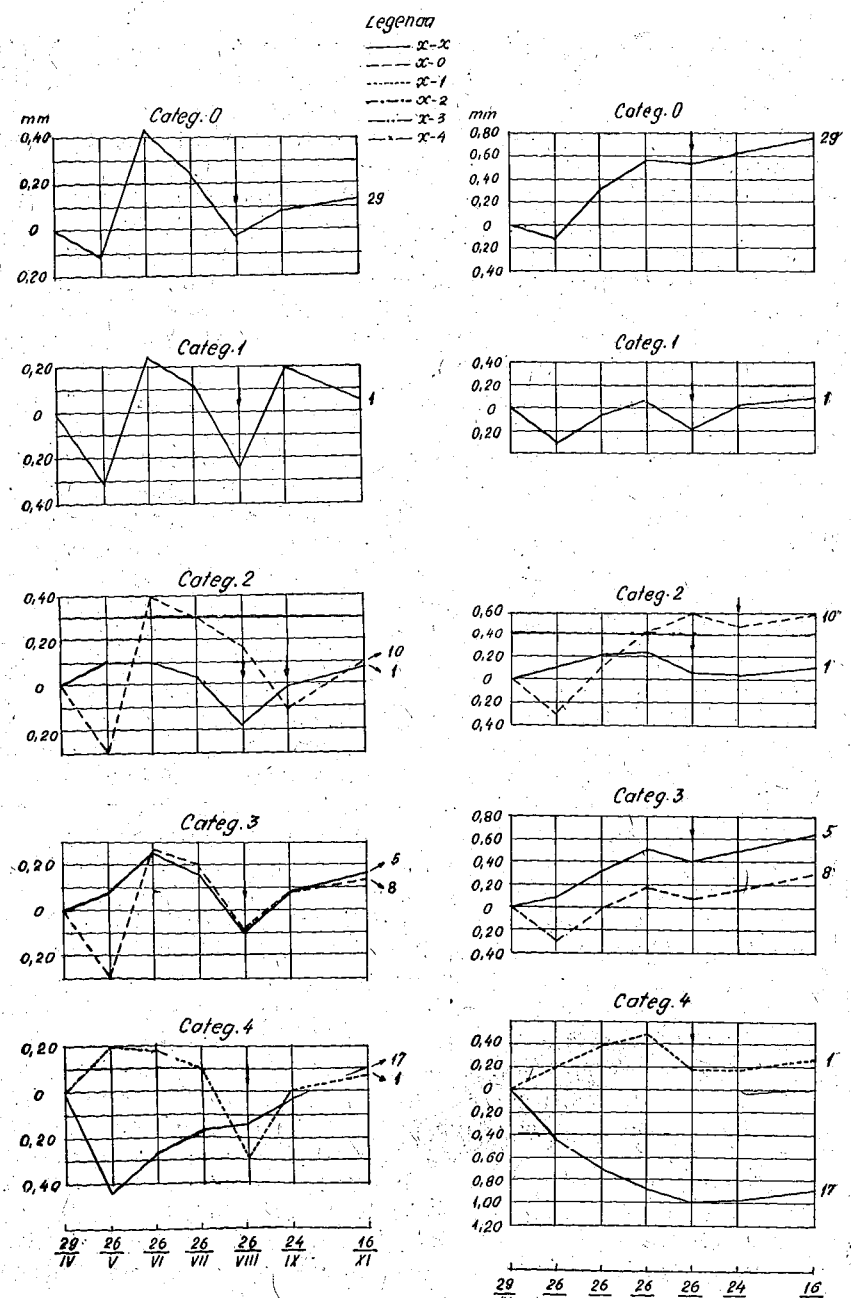


Fig. 1. — Sîntă: Creșterile radiale medii lunare, la arborii predominantă. Dreaptă: Variația creșterilor medii (cumulate) la arborii predominantă. x, Categorie inițială de defoliere; ↓, sfîrșitul perioadei mari de creștere și începutul celei mici.

Arborii dominantă (II) reprezintă clasa cea mai numeroasă din arboret ($191 = 40\%$); au vîrfurile în lumină și coroanele destul de bine dezvoltate. Împreună cu arborii predominantă încheie „plafonul superior al coronamentului” și dispun de o vitalitate apropiată de cea a arborilor din clasa precedentă. Ei au fost atacați într-o proporție mai mare ($145 = 76\%$).

Arborii nefoliat (categoria 0) din această clasă ($46 = 24\%$) au înregistrat în perioada de vegetație din 1958 o creștere medie anuală în grosime cu puțin mai mică decât cea a arborilor predominantă ($0,71 \text{ mm} = 92\%$, tabelul nr. 2). și la aceștia s-a observat contragerea tulpinilor în luna mai, după care curba creșterilor medii lunare are aceeași alură ca și curba arborilor din clasa I (fig. 2).

La arborii parțial foliați din categoriile 1, 2 și 3 ($75 = 39\%$) s-au observat 3 situații distincte. O parte ($43 = 57\%$) și-au refăcut aparatul foliaciu, trecând în categoria 0; alții ($25 = 33\%$) au rămas în categoriile în care au fost inițial înregistrati; o altă parte ($7 = 10\%$) au pierdut restul de cetea avută, trecând în categoria arborilor aparent complet nefoliat (tabelul nr. 1 și fig. 2). Arboare care și-au refăcut aparatul foliaciu prin dezvoltarea luierilor anuali în părțile defolate ale coroanei (50% din categoria 1; 60% din categoria 2 și 58% din categoria 3) au înregistrat creșteri medii anuale în grosime reprezentând, respectiv, 68, 34 și 41%, față de creșterile arborilor nefoliat, considerați martori (tabelul nr. 2). Cei staționari, la care luierii anuali au apărut mai mult în părțile nefoliate ale coroanelor, au avut creșteri destul de mici, respectiv, 6, 23 și 35% față de arborii martori (tabelul nr. 2), indicând o vitalitate cu mult mai mică în comparație cu arborii trecuți în categoria 0. În sfîrșit la cei care și-au pierdut restul de cetea curbele creșterilor (fig. 2) lasă să se intrevadă o slabă tendință de revenire (la cei din categoria 2 în luna iunie, iar la cei din categoria 3 în luna iulie), urmată apoi de contragerea continuă a tulpinilor, ca efect al uscării lor.

La ultima categorie din această clasă, cu arbori aparent complet nefoliat ($70 = 37\%$), s-au observat două situații. Unii ($16 = 23\%$) și-au refăcut parțial coroanele trecând în categoriile 1 și 2 și înregistrând creșteri medii anuale, în primul caz $+ 0,19 \text{ mm}$, în al doilea caz $- 19 \text{ mm}$ (creșterea aparent „negativă” s-ar putea atribui mai ales stării de vegetație precare). Restul arborilor din această categorie ($54 = 77\%$) au intrat în procesul de uscare, marcat evident de contragerea susținută a tulpinilor (fig. 2).

Arborii codominantă (III) formează ca număr ($118 = 25\%$) clasa imediat inferioară celei precedente. Având vîrfurile sub nivelul celor dominantă, coroanele lor sunt în cea mai mare parte umbrite, mici, rare și de cele mai multe ori îngheșuite și excentrice; ca atare au o vitalitate mai mică decât arborii din clasele anterioare. Datorită poziției lor în arboret arborii codominantă reprezintă prima treaptă în procesul de eliminare naturală și au fost defoliați în proporție cea mai mare ($108 = 92\%$, tabelul nr. 1).

Din analiza creșterilor medii lunare în grosime (fig. 3) se observă că arborii nefoliat ($10 = 8\%$) au început să crească cu cel puțin o

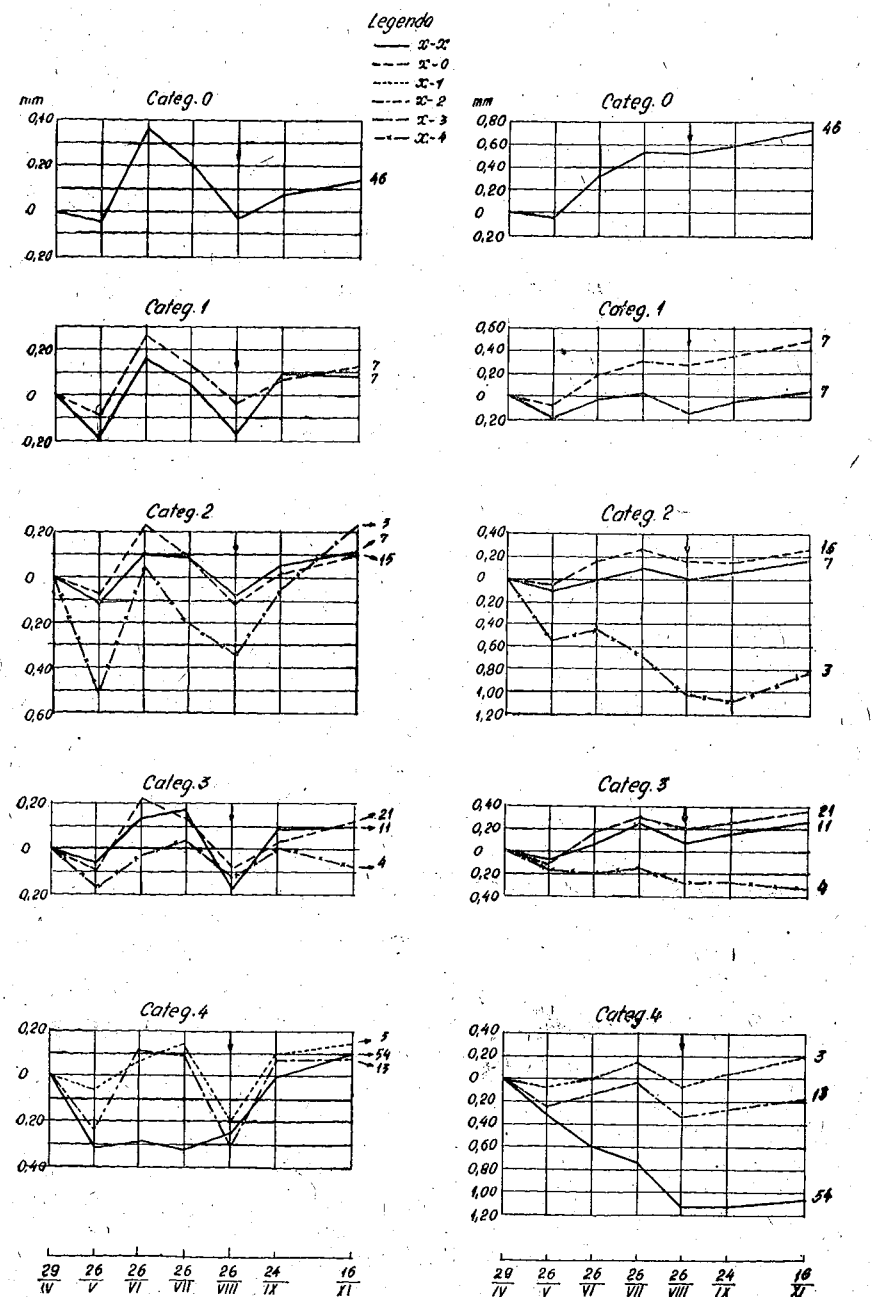


Fig. 2. — Stinga : Creșterile radiale medii lunare la arborii dominanți.
Dreapta : Variația creșterilor medii (cumulate) la arborii dominanți. x, Categorie inițială de defoliere ; ↓, sfîrșitul perioadei mari de creștere și începutul celei mici.

lună mai devreme decât cei similari predominant și dominanți și au încheiat perioada mare de creștere cu o lună mai tîrziu. Este remarcabil faptul că acești arbori au înregistrat o creștere medie anuală în grosime (1,42 mm) aproape de două ori mai mare decât creșterile similare ale arborilor predominant și dominanți nefoliați (tabelul nr. 2).

La arborii parțial defoliați (60 = 51%) din această clasă (categoriile 1, 2 și 3) se poate vorbi de o refacere în masă. Într-adevăr, 9 din arborii categoriei 2 (64%) și 37 din cei ai categoriei 3 (92%) au trecut în categoria 0, care astfel s-a mărit de aproape șase ori (de la 10 la 56, tabelul nr. 1). Primii au înregistrat creșteri anuale în grosime reprezentind 30% (0,43 mm), ceilalți numai 19% (0,27 mm) din creșterea medie a arborilor martori (tabelul nr. 2). Arborii staționari din categoria 3 (fig. 2) au înregistrat creșteri mai mici decât cei promovați în categoria superioară (tabelul nr. 2), datorită defolierilor într-o proporție mai mare. În schimb la cei din categoria 2 (fig. 3) contragerea înregistrată indică o stare premergătoare uscării. Nu s-a găsit nici un caz de pierdere a restului de ceteină, adică de trecere în categoria 4.

Dintre arborii codominanți, aparent complet defoliați (48 = 41%), o parte (9 = 19%) și-au refăcut parțial jumătatea superioară a coroanei, trecînd în categoria 2 (fig. 3). Arborii staționari (39 = 81%) din această ultimă categorie au înregistrat contrageri specifice fenomenului de uscare.

Arborii dominați (III, 90 = 19%) au înălțimile cele mai mici și coroane firave. Sînt total acoperiți de cei din clasele superioare, coroanele lor formînd „plafonul inferior” al arboretului. Datorită vitalității lor reduse, ei formează ultima treaptă în procesul de eliminare naturală. Prezența lor în număr relativ mare se datorește, pe de o parte, densității reduse a arboretului (0,7), iar pe de altă parte, faptului că nu au fost extrași prin operații culturale sistematice. La arborii din această clasă defolierea s-a produs într-o proporție foarte mare (76 = 85%), totuși ceva mai mică decât la cei din clasa precedentă (tabelul nr. 1).

Arborii dominați nefoliați (14 = 16%) — ca și cei similari codominanți — se pare că au început să crească în grosime cu cel puțin o lună mai devreme și au avut creșteri medii anuale mai mari decât cei din clasele I și II (fig. 4).

Arborii parțial defoliați din această clasă (43 = 48%) s-au comportat diferit în urma atacului suferit. Unii (11 = 26%) din arborii categoriei 3 și-au refăcut aparatul foliaciu trecînd în categoria 0; alții (18 = 42%) au rămas în categoriile în care au fost găsiți inițial (1 și 3). Primii au înregistrat o creștere medie anuală ceva mai mică decât cei staționari (tabelul nr. 2). În sfîrșit, o parte din arborii categoriei 3 (14 = 33%) a pierdut restul de ceteină avută inițial, trecînd în rîndul celor aparent complet defoliați. La aceștia s-a observat o slabă tendință de revenire în luniile mai și iunie (fig. 4).

Dintre arborii aparent complet defoliați (33 = 36%), unii (9 = 22%) și-au refăcut parțial aparatul foliaciu, înregistrînd creșteri medii anuale

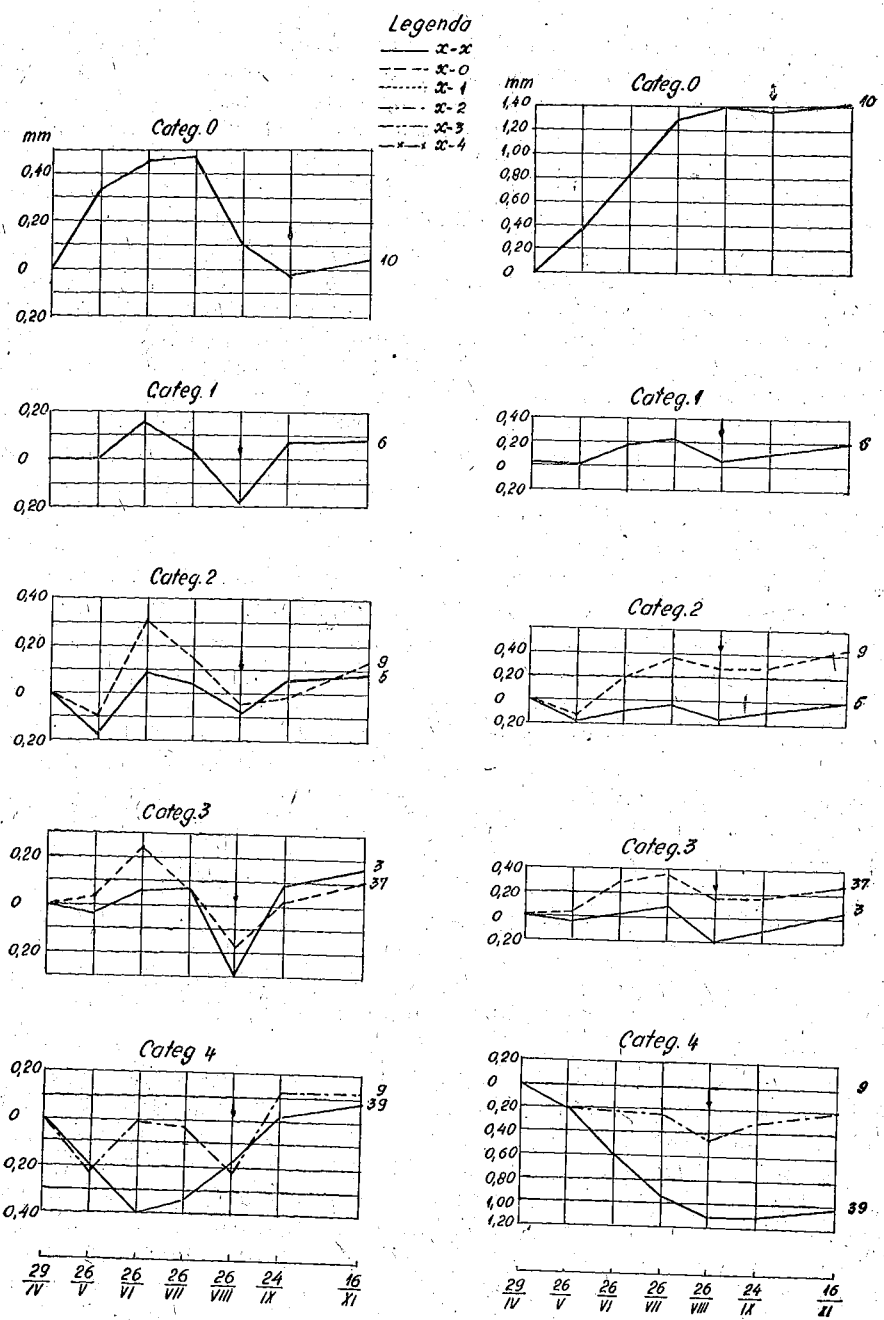


Fig. 3. — Stînga: Creșterile radiale medii lunare la arborii codominanți. Dreapta: Variatia creșterilor medii (cumulate) la arborii codominanți. x, Categoria inițială de defoliere; ↓, sfîrșitul perioadei mari de creștere și începutul celei mici.

foarte mici (tabelul nr. 2). Restul arborilor din această categorie (24 = 73%) au intrat în procesul de uscare, marcat prin contragerea continuă a tulpinilor în perioada de vegetație.



Portiunea de arboret luată în studiu se poate considera reprezentativă pentru cercetarea evoluției arborilor defoliați, deoarece a cuprins arbori din toate clasele și, în cadrul acestora, din marea majoritate a categoriilor de defoliere. Numai într-un singur caz din 20 posibile (4 clase × 5 categorii) nu s-a găsit nici un arbore (IV - 2) și numai în alte două cite un singur exemplar (I - 1; IV - 1); în toate celelalte, au existat cite cel puțin 6 arbori (tabelul nr. 1), număr suficient pentru a avea indicații în privința sensului evoluției arborilor defoliați și cel puțin o orientare asupra energiei și ritmului de creștere ale arborilor cercetați.

Curbele din figurile 1 - 4, reprezentând creșterile radiale medii lunare și variația lor (cumulate) în decursul perioadei de vegetație, scot în evidență, la unele categorii cu arbori nedefoliați și defoliați, o contragere a tulpinilor spre sfîrșitul lunii mai și începutul lunii iunie. Ea este numai aparentă, deoarece anterior și în timpul primei determinări de creșteri (29.IV) au căzut ploi abundente, care au provocat umflarea temporară a ritidomului. Faptul că această contragere nu apare și la celelalte categorii se explică prin intrarea lor în vegetație mai devreme și realizarea de creșteri radiale mai mari decât contragerile înregistrate.

În condițiile arboretului cercetat și a perioadei de vegetație din 1958, la trei categorii de arbori s-a înregistrat prelungirea cu o lună a perioadei mari de creștere, și anume la: arborii predominantii cu jumătatea inferioară a coroanei defoliată și care și-au refăcut aparatul foliaciu (fig. 1); arborii codominanți nedefoliați (fig. 3) și la cei dominați, aparent complet defoliați și care refăcindu-și parțial aparatul foliaciu au trecut în categoria 1 (fig. 4). În toate aceste cazuri creșterile medii lunare sunt evident mai mari. Determinările de creșteri lunare nu îngăduie explicarea acestui fenomen. De asemenea, nu se poate preciza data la care s-a încheiat perioada mică de creștere, pentru că ultima determinare s-a făcut la un interval mai mare de o lună (24.IX - 16.XI) și, din această cauză, curbele din figurile 1 - 4 apar cu tendință ascendentă în acest ultim interval.

În arboretele normale — consistente — vitalitatea arborilor este în raport cu poziția ocupată în arboret, deoarece creșterile lor anuale sunt cu atât mai mari, cu cât au înălțimi și coroane mai mari. Arboii umbriți parțial sau total, cu înălțimi și coroane mai mici, reprezintă contingentul celor intrăți mai mult sau mai puțin (dominați și codominanți) în procesul de eliminare naturală. În arboretul cercetat însă, arborii anterior intrăți în procesul amintit — codominanții și dominații, nedefoliați — au înregistrat creșteri foarte mari, mai mari decât ale arborilor predominantii, și dominații. Faptul se datorează — fără îndoială — modificării favorabile a condițiilor de mediu, intervenită prin defolierea parțială sau totală a unor arbori din jurul lor, ceea ce le-a asigurat un însemnat surplus de lumină și căldură. Trecerea bruscă, de la o stare de vegetație precară la

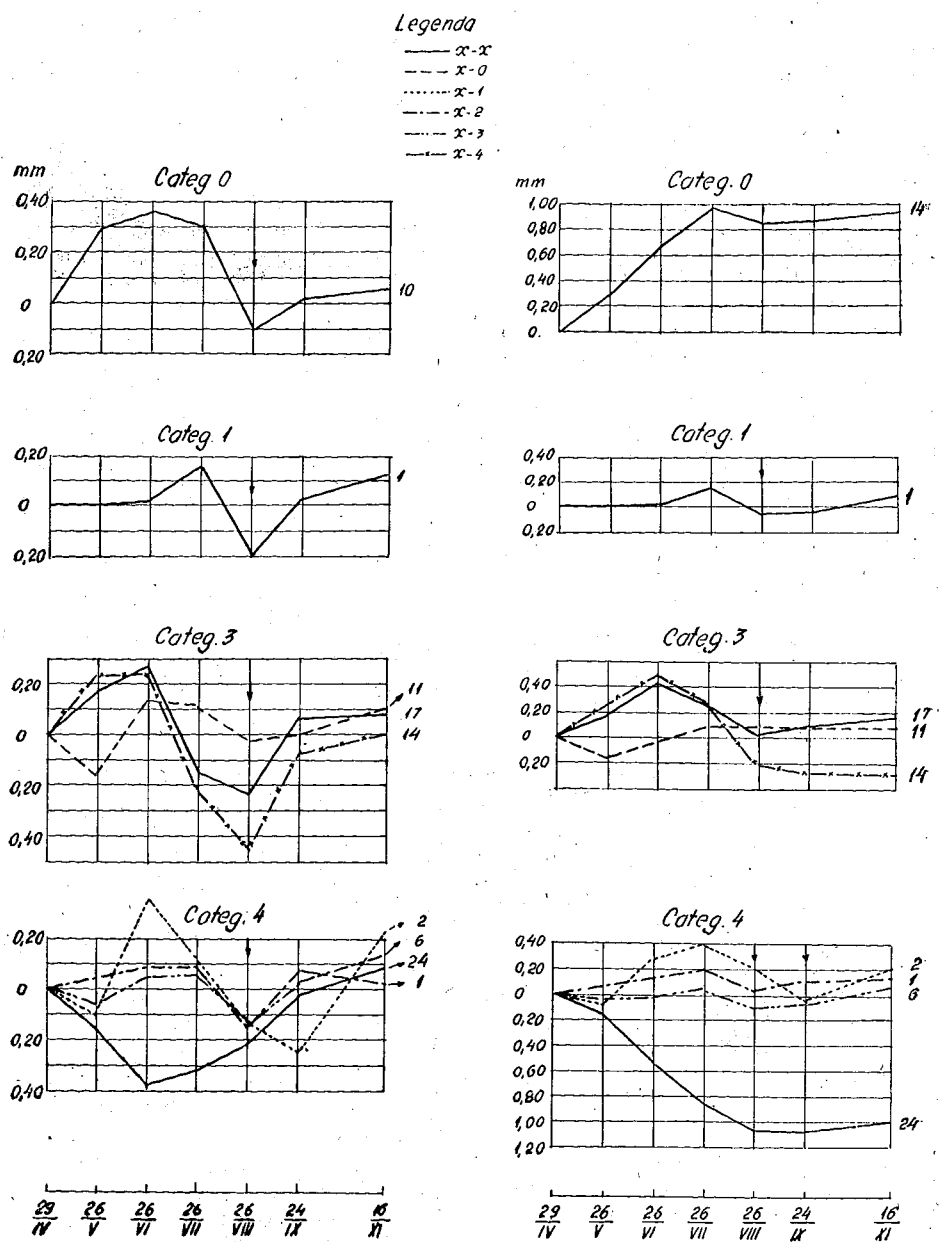


Fig. 4. — Stînga: Creșterile radiale medii lunare la arborii dominanți. Dreapta: Variația creșterilor medii (cumulate) la arborii dominanți. x, Categorie inițială de defoliere; ↓, sfîrșitul perioadei mari de creștere și începutul celei mici.

alta foarte activă, pune în evidență vitalitatea potențială a speciei. Dar, arborii din aceste două categorii și din altele defolate, evidențiate anterior, au înregistrat în primul interval (29.IV — 26.V) creșteri în grosime mai mari decât contragerea prilejuită de umflarea ritidomului. Fenomenul s-ar putea atribui aceleiași modificări favorabile a condițiilor de mediu, care, după cît se pare, a provocat și intrarea lor în vegetație cu cel puțin o lună mai devreme.

Din prezentarea situației defolierilor pe clase de arbori și din analiza graficelor cotale, din figurile 5 și 6 se constată că intensitatea atacului omizilor de *Lymantia monacha* L. a fost în raport invers cu poziția arborilor în arboret. Faptul că defolierile au cuprins un număr de arbori cu atât mai mare, cu cît vitalitatea lor (considerată în raport cu poziția în arboret) a fost mai mică, pare să indice preferința omizii pentru arborii mai puțin viguroși, respectiv cu înălțimi și coroane mai mici. Dacă se tine seamă însă și de faptul că dintre arborii parțial defoliați proporția cea mai mare revine în primul rînd celor defoliați parțial pe întreaga coroană (categoria 3), apare îndreptățită concluzia — în cazul arborelui cercetat — că omizile au preferat să defoliază parțial întreaga coroană, mai ales la arborii cu vitalitate redusă, această situație asigurîndu-le — se pare — condiții de adăpost mai bune. Faptul că s-au produs și defolieri ale întregii coroane sau numai la vîrf ori la bază și au fost atacați și arborii cu vitalitate mai mare, dar în proporție mult mai mică, trebuie pus pe seama numărului de omizi cu mult mai mare pe aceste exemplare.

Arborii defoliați au reacționat, pe de o parte, în funcție de poziția ocupată în arboret, iar pe de altă parte, în raport cu localizarea în coroană și intensitatea atacului. La acești arbori s-au înregistrat *refaceri*, *stagnări* și *uscări*. La arborii parțial defoliați (categoriile 1, 2 și 3) s-a observat refacerea totală a aparatului foliaciu la 58% din numărul lor și a constat în apariția și dezvoltarea lujerilor anualii în părțile defolate ale coroanelor de la arborii mai puțin defoliați și cu vitalitate mai mare, astfel că la ultimul control (16.XI) numărul arborilor înregistrati în categoria 0, era dublu la clasele I, II și IV și de aproape șase ori mai mare la clasa III, în comparație cu situația din primăvară. S-au refăcut în proporția cea mai mare arborii cu coroana parțial defoliată (categoria 3) și cu jumătatea inferioară a coroanei defoliată (categoria 2), adică acele categorii la care volumul aparatului foliaciu rămas era mai mare. Creșterile lor anuale în grosime (tabelul nr. 2) au variat între 17 și 75%, față de cele ale arborilor martori din aceleasi clase, și se pot considera definitiv salvați. Dar, dintre arborii parțial defoliați, o parte (32%) au rămas în categoriile de defoliere inițial stabilite, înregistrind creșteri mai mari decât ce se au refăcut, iar altă parte (20%) au pierdut restul de cetină avută, intrînd în procesul de uscare, marcat prin contragerile radiale înregistrate (tabelul nr. 2). La cei mai mulți dintre arborii rămași în categoriile în care au fost inițial înregistrati, ne putem aștepta la o refacere completă abia în anul următor. În sfîrșit, la unii arbori aparent complet defoliați (categoria 4) s-a observat o slabă tendință de refacere, și anume la cei care, cu toată aparența de complet defoliați, mai aveau resturi din aparat foliaciu. Aceștia, la ultimul control (16.XI), au fost înregistrati în

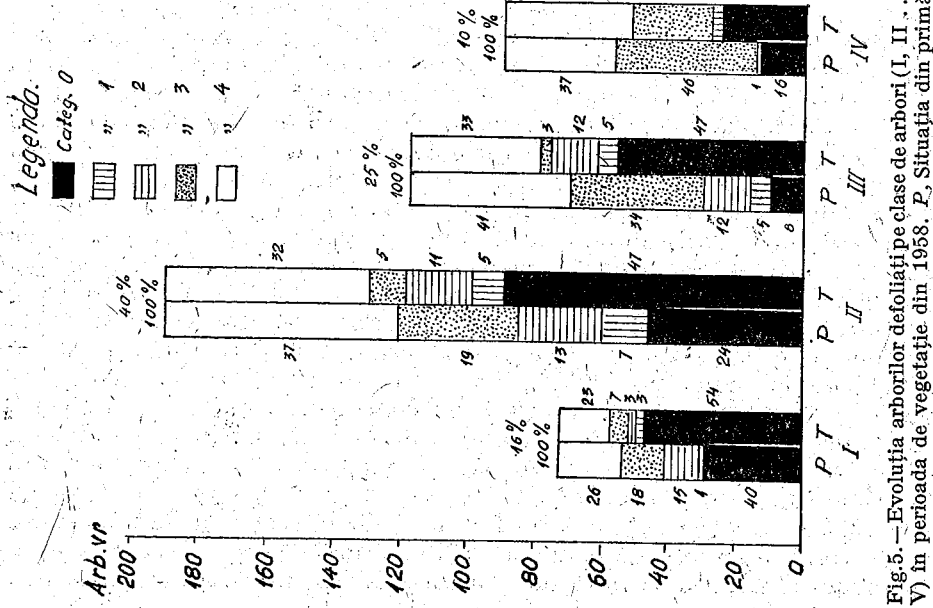


Fig. 5. — Evoluția arborilor defoliati clase de arbore (I, II, III, IV, V) în perioada de vegetație din 1958. P, Situația din primăvară (29.IV.1958); T, situația din toamnă (16.XI.1958).

categoriile 1, 2 sau 3, după cum lujerii-anuali au apărut la bază, la vîrf sau răspândiți în întreaga coroană. Cei trecuți în categoria 1, la clasele I, II și III, și în categoria 2, la clasa IV, au înregistrat creșteri care par să



Fig. 6. — Evoluția arborilor defoliati pe categorii de defoliere (0, 1, 2, 3, 4) în perioada de vegetație din 1958. P, Situația din primăvară (29.IV.1958); T, situația din toamnă (16.XI.1958).

Fig. 7. — Determinarea creșterilor la arborii din suprafața de cercetare.

indice posibilitatea unei refaceri în anii următori (tabelul nr. 2); ceilalți, parțial refăcuți, dar cu contrageri aparente (tabelul nr. 2), împreună cu restul arborilor din categoria 4, la care s-au înregistrat contrageri susținute în decursul perioadei vegetative, trebuie considerați definitiv pierduți.

Determinările auxometrice făcute (fig. 7) permit și o apreciere a pierderilor de creștere, înregistrate de arborii defoliati în comparație cu arborii martori. Dacă se iau în considerare numai categoriile 1, 2 și 3 și, la acestea, numai pozițiile cu cel puțin 5 arbori (tabelul nr. 2), pentru a avea valori medii cît mai reprezentative, se observă că în general pierderile de creșteri în grosime și aproape, în aceeași măsură, și în volum

variază în raport invers, atât cu volumul aparatului foliaciu rămas, cât și — mai ales — cu poziția arborilor în arboret. În acest din urmă caz ele reprezintă circa 50% la arborii predominanți, circa 70% la dominanți, circa 75% la codominanți și circa 85% la cei dominați.

Aceste procente nu pot fi indicatoare pentru o apreciere corectă a pierderilor de creștere. Aceasta pentru că s-au calculat în raport cu creșterile arborilor nefoliat, cu mult mai mari decât la arborii similari din arboretele nefoliate, datorită modificării favorabile a condițiilor de mediu, intervenite prin defolierea parțială sau totală a arborilor din jurul lor. Procente de pierdere indicatoare s-ar fi putut stabili, dacă în același arboret ar fi existat o porțiune nefoliată, în care să se fi putut instala o suprafață de cercetare mărtor. Dar, o asemenea porțiune nu s-a găsit.

La arborii la care s-au înregistrat contrageri (tabelul nr. 2) pierdere este de 100%. Contragerea nu se poate considera o pierdere, întrucât apare și la arborii verzi după ce au fost tăiați.

Un fenomen interesant s-a observat la arborii inițial aparent complet defoliat și care s-au uscat. La aceștia s-au înregistrat contrageri susținute în decursul perioadei de vegetație, cu valori destul de apropiate la toate clasele de arbori ($-0,88$; $-1,07$; $-1,01$; $-1,00$ mm, tabelul nr. 2), cu toate că diametrele de bază medii ale claselor variază în limite foarte mari (la predominanți: 49,8 cm; la dominați 20,0 cm). Se pare că, în cazul arboretului cercetat, contragerea s-a produs independent de grosimea arborilor. Fenomenul s-ar putea atribui pierderii inegale a apei din zona exterioară a tulpinii, zonă cu atît mai adâncă, cu cît ritidomul este mai subțire.

Considerente de ordin economic și fitosanitar impun măsuri silvoculturale în arboretele atacate de *Lymantria monacha* L. Prin faptul că marea majoritate a arborilor aparent complet defoliat și o mică parte dintre cei parțial defoliat se usuca, aceștia trebuie extrași prin tăieri de higienă, repetate an de an, pînă la refacerea completă a celorlalte categorii de arbori defoliat (fig. 8). În arboretele echiene aceste tăieri sunt recomandabile, dacă prin aplicarea lor densitatea nu scade sub 0,7 la cele amenințate și sub 0,6 la cele neamenințate de doborituri de vînt. Aceleasi tăieri se recomandă și la arboretele pluriene, destinate a fi tratate în cadrul grădinărit, dacă fondul lor de producție nu se reduce sub 60% la cele amenințate și sub 40% la cele neamenințate de doborituri de vînt, cu condiția ca în arboret să rămînă arbori în marea majoritate a categoriilor de diametre. În cazul cînd prin astfel de tăieri se depășesc limitele de mai sus, tăierea rasă este de neînlăturat. Trebuie avut în vedere faptul că arboretele defolate oferă condiții optime pentru înmulțirea în masă a ipidelor, astfel că această calamitate complimentară trebuie prevenită prin măsuri de combatere cunoscute. Aplicarea corectă și la timp a ambelor măsuri salvează arboretele defolate și dă posibilitatea valorificării unui material lemnos de valoare, care altfel se depreciază.

Din analiza evoluției molizilor defoliat de *Lymantria monacha* L. rezultă următoarele concluzii:

- Surplusul de lumină și căldură primit de molizii codominanți și dominanți, datorită defolierii parțiale sau totale a unor arbori vecini, a

avut ca efect creșteri în grosime mai mari decât la exemplarele predominante și dominante din același arboret. Acest fapt pune în evidență vitalitatea potențială a speciei.

- În perioada de vegetație următoare atacului, 60% dintre arborii

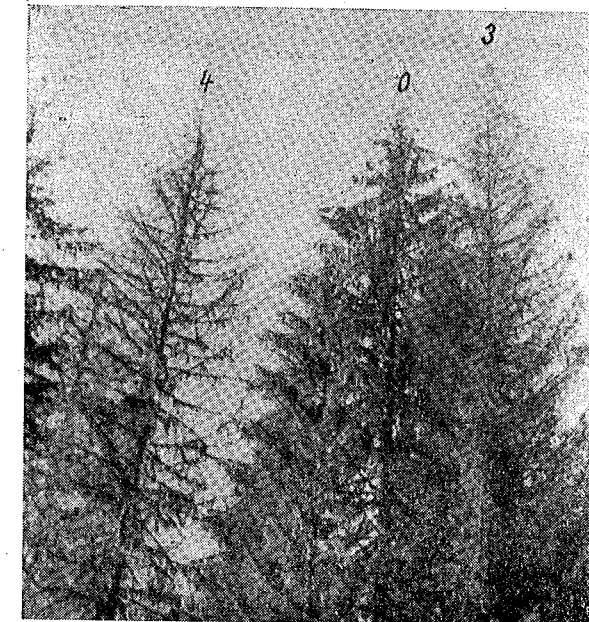


Fig. 8. — Arboi cu diferite categorii de defoliere.

parțial defoliat (categoriile I, II și III și-au refăcut aparatul foliaciu, putîndu-se considera definitiv salvați; circa 30% au rămas în categoriile de defoliere initiale, creșterile lor în grosime lăsind să se întrevadă posibilitatea refacerii lor totale în anii următori; circa 10% au pierdut cîteva inițial avută, aceștia putîndu-se considera pierduți.

- Marea majoritate a molizilor inițial aparent complet defoliat s-au uscat în perioada de vegetație din 1958. Anemicile tendințe de refacere observate la unele exemplare, nu îndreptătesc speranța restabilirii lor ulterioare.

- Pierderile de creșteri, datorită defolierilor, au variat între 50 și 85% față de arborii nefoliat. Aceste procente sunt relative, deoarece s-au determinat în raport cu creșterile arborilor nefoliat, influențați la rîndul lor favorabil de modificările survenite în condițiile de mediu.

- Contragerile, înregistrate la arborii inițial sau ulterior deveniți aparent complet defoliat, par a fi independente de dimensiunile arborilor.

- În condiții similare arboretului cercetat, considerente de ordin economic și fitosanitar impun extragerea arborilor inițial sau ulterior deveniți aparent complet defoliat. Dacă prin aplicarea acestor tăieri în arbo-

retele echieie, densitatea se reduce sub 0,7, la cele amenințăte, și sub 0,6 la cele neamenință de doborituri de vînt, iar la cele pluriene fondul de productie scade sub 60%, la cele din primul caz și sub 40%, la acele din cazul al doilea, tăierea rasă apare inevitabilă.

ИЗУЧЕНИЕ ЭВОЛЮЦИИ ДЕРЕВЬЕВ, ПОДВЕРГШИХСЯ ДЕФОЛЬЯЦИИ МОНАШЕНКОЙ (*LYMANTRIA MONACHA* L.)

РЕЗЮМЕ

В 1956 и 1957 гг. некоторые еловые древостои в РНР подверглись дефольяции гусеницами монашенки (*Lymantria monacha* L.). В 1958 году изучалась эволюция лишенных хвои деревьев в течение следующего за авиахимической обработкой вегетационного периода.

Исследования проводились на опытном участке с 472 деревьями 70-летнего возраста, как не подвергшихся дефольяции, так и подвергшихся ей в различной степени. Древостой расположен на высоте между 850 и 880 м над уровнем моря на склоне с бурой лесной оподзоленной почвой. Оценка деревьев производилась в начале (29 апреля), и в конце исследований (16 ноября) по их положению в древостое (I — выделяющиеся над общим пологом наиболее развитые деревья, II — хорошо развитие, III — входящие в главный полог, но более слабо развитые, IV — деревья подчиненного полога) и по интенсивности дефольяции (0 — не подвергшиеся дефольяции; 1 — верхняя половина кроны с лишенной хвоей; 2 — нижняя половина кроны лишенная хвои; 3 — с частично подвергшейся дефольяции кроной и 4 — с кроной, внешне совершенно лишенной хвои). Ежемесячно определялся прирост в толщину с помощью ауксанометра компаратора (6).

Полученные результаты (таблицы № 1 и 2 и рис. 1—6) привели к следующим выводам:

- контрагирование стволов, отмеченное в мае месяце у деревьев, подвергшихся различным степеням дефольяции, — 0,1, 2 и 3 (рис. 1—4) вызвано, повидимому, скорее меньшим ростом в толщину, чем разбуханием коры, вызванным обильными весенними дождями;

- излишок света и тепла, полученный не лишившимися хвои более слабо развитыми деревьями главного полога и деревьями подчиненного полога, вследствие частичной или же полной дефольяции соседних деревьев, имея следствием значительно больший их рост в толщину, чем наиболее развитых (I) и хорошо развитых (II) деревьев главного полога (таблица № 2, рис. 1—4);

- среди частично лишившихся хвои деревьев (1, 2 и 3 категории) 60% восстановили свой листовой аппарат (в особенности деревья, принадлежащие к I, II и III классам) и могут считаться спасенными;

30% остались в первоначально установленных категориях дефольяции, причем значительная их часть смогла совершенно поправиться, начиная со следующего года; остальные засохли (таблица № 1, рис. 5 и 6). Потери прироста колебались в обратной пропорции по отношению к объему оставшейся хвои и к положению деревьев в древостое (от 50% — у наиболее развитых, до 80% у деревьев подчиненного полога) (таблица № 2);

— у небольшой части внешне совершенно лишенных хвои деревьев наблюдалась слабая тенденция к поправке, не дающая, однако, надежды на полное восстановление; остальные деревья засохли (рис. 1—4).

ОБЪЯСНЕНИЕ РИСУНКОВ

Рис. 1. — Слева: Средние месячные приrostы в толщину у наиболее развитых деревьев (I). Справа: Колебание средних (суммированных) приростов у наиболее развитых деревьев. x — начальная категория дефольяции; ↓ — окончание главного периода роста и начало малого периода.

Рис. 2. — Слева: Средние месячные приrostы в толщину у хорошо развитых деревьев (II). Справа: Колебание средних (суммированных) приростов у хорошо развитых деревьев. x — начальная категория дефольяции; ↓ — окончание главного периода роста и начало малого периода.

Рис. 3. — Слева: Средние месячные приrostы в толщину у более слабо развитых деревьев главного полога (III). Справа: Колебание средних (суммированных) приростов у более слабо развитых деревьев. x — начальная категория дефольяции; ↓ — окончание главного периода роста и начало малого периода.

Рис. 4. — Слева: Средние месячные приrostы в толщину у деревьев подчиненного яруса. Справа: Колебание средних (суммированных) приростов у деревьев подчиненного яруса. x — начальная категория дефольяции; — окончание большого периода роста и начало малого периода.

Рис. 5. — Эволюция подвергшихся дефольяции деревьев по классам деревьев (I, II ... V) в течение вегетационного периода 1958 года. P — состояние весной (29.IV. 1958 г.). T — состояние осенью (16.XI. 1958 г.).

Рис. 6. — Эволюция подвергшихся дефольяции деревьев по категориям дефольяции (0,1 ... 4) в течение вегетационного периода 1958 года. P — состояние весной (29.IV. 1958 г.). T — состояние осенью (16. XI. 1958 г.).

Рис. 7. — Определение прироста у деревьев на исследованной площади.

Рис. 8. — Различные категории дефольяции деревьев.

RECHERCHES SUR L'ÉVOLUTION DES ARBRES DÉFEUILLÉS PAR *LYMANTRIA MONACHA* L.

RÉSUMÉ

En 1956 et 1957, certaines forêts d'épicéa de la République Populaire Roumaine furent défeuillées par les chenilles de l'insecte *Lymantria monacha* L. En 1958, les auteurs ont suivi l'évolution des arbres défeuillés, au cours de la période de végétation qui a suivi la campagne de traitement aéro-chimique.

Les recherches ont porté sur une surface expérimentale comprenant 472 arbres, âgés de 70 ans, non défeuillés ou défeuillés à différents degrés. Le peuplement était situé sur un terrain en pente, entre 850 et 880 m d'altitude, en sol brun de forêt, podzolisé. Les arbres ont été classifiés au début des recherches (29 avril) et à la fin (16 novembre), d'après leur position dans le peuplement (I = prédominants ; II = dominants ; III = codominants ; IV = dominés) ainsi que d'après l'intensité de la défeuillaison (0 = non défeuillés ; 1 = moitié supérieure de la ramure défeuillée ; 2 = moitié inférieure de la ramure défeuillée ; 3 = à la ramure partiellement défeuillée ; 4 = à la ramure apparemment tout à fait défeuillée). Les auteurs ont déterminé mensuellement les accroissements radiaux à l'aide de l'«auxomètre comparateur» (6).

Les résultats obtenus, présentés dans les tableaux 1 et 2 et dans les graphiques 1 à 6, ont conduit aux conclusions suivantes :

— Les contractions des troncs, enregistrées au mois de mai au sein des catégories de défeuillaison 0, 1, 2, 3 (fig. 1 — 4), semblent dues à un accroissement radial réduit plutôt qu'au gonflement du rhytidome gorgé d'eau provenant des pluies abondantes du printemps.

— Le surplus de lumière et de chaleur que les arbres codominants ou dominés ont reçu, du fait de la défeuillaison partielle ou totale des arbres voisins, y a déterminé un accroissement radial supérieur à celui des arbres prédominants et dominants (tableau 1 ; fig. 1 — 4).

— Parmi les arbres partiellement défeuillés (catégories 1, 2 et 3) 60% ont refait leur appareil foliaire (notamment ceux des I^e, II^e et III^e classes), et purent être considérés sauvés ; une proportion de 30% sont demeurés dans les catégories de défeuillaison établies au début de l'étude, la plupart d'entre eux pouvant se refaire entièrement dès l'année suivante ; le reste, de 10%, se sont desséchés (tableau 1 ; fig. 5 — 6). Les pertes par défaut d'accroissement ont varié en raison inverse de l'appareil foliaire conservé et de la position : entre 50% chez les arbres prédominants, et 88% chez les arbres dominés (tableau 2).

— Chez une minorité d'arbres, apparemment tout à fait défeuillés, on a remarqué une faible tendance à refaire leur feuillage, mais qui n'autorise nullement à espérer une restauration totale ; les autres se sont desséchés (fig. 1 — 4).

EXPLICATION DES FIGURES

Fig. 1. — A gauche : accroissement radial des arbres prédominants (moyennes mensuelles). A droite : variation des accroissements moyens (cumulés) des arbres prédominants. x = Catégorie initiale de défeuillaison ; ↓ = fin de la grande période d'accroissement (Sachs) et début de la petite.

Fig. 2. — A gauche : accroissement radial des arbres dominants (moyennes mensuelles). A droite : variation des accroissements moyens (cumulés) des arbres dominants. x = Catégorie initiale de défeuillaison ; ↓ = fin de la grande période d'accroissement et début de la petite.

Fig. 3. — A gauche : accroissement radial des arbres codominants (moyennes mensuelles). A droite : variation des accroissements moyens (cumulés) des arbres codominants. x = Catégorie initiale de défeuillaison ; ↓ = fin de la grande période d'accroissement et début de la petite.

Fig. 4. — A gauche : accroissement radial des arbres dominés (moyennes mensuelles). A droite : variation des accroissements moyens (cumulés) des arbres dominés. x = Catégorie initiale de défeuillaison ; ↓ = fin de la grande période d'accroissement et début de la petite.

Fig. 5. — Evolution des arbres défeuillés par classes d'arbre (I, II, ..., V), au cours de la période de végétation de 1958. P, la situation au printemps (29 avril 1958) ; T, la situation en automne (16 novembre).

Fig. 6. — Evolution des arbres défeuillés par catégories de défeuillaison (0, 1, ..., 4) au cours de la période de végétation de 1958. P, la situation au printemps (29 avril 1958) ; T, la situation en automne (16 novembre 1958).

Fig. 7. — Détermination des accroissements des arbres de l'aire étudiée.

Fig. 8. — Arbres présentant différentes catégories de défeuillaison.

BIBLIOGRAFIE

1. BECK-HESS, *Forstschutz*, in *Handbuch der Forstwissenschaft*, Berlin, 1926.
2. GEORGESCU C. C., NITU GH. și TUTUNARU V., *Cercetări asupra circulației apei la molizii defoliați de Lymantria monacha L.*, în *Omagiu lui G. Ionescu-Sișești*, Ed. Acad. R.P.R., București, 1960.
3. ELIESCU GR., *Protecția pădurilor*, București, 1940.
4. ENE M., *Biologia și combaterea insectei Ocnocera monacha L. Din realizările institutului de cercetări forestiere*, Ed. agro-silvică, București, 1959.
5. — *Insectele vătămătoare pădurilor, bolile și dăunătorii pădurilor*, Ed. agro-silvică, București, 1957.
6. POPESCU-ZELETIN I., MOCANU V., PUIU S. și ENESCU V., *Contribuții la stabilirea unei metode pentru determinarea creșterii în grosime la arbori în perioada de vegetație*, Comunicările Acad. R.P.R., 1960, X, 12.

CONTRIBUȚII LA SISTEMATICA REGIMURILOR DE APĂ DIN SOLURILE R.P.R.

DE

C. D. CHIRIȚĂ

MEMBRU CORESPONDENT AL ACADEMIEI R.P.R.

Comunicare prezentată în ședința din 15 decembrie 1960

În pedologia contemporană, cunoștințele asupra regimurilor de apă din soluri au marcat un progres important prin lucrările fundamentale ale pedologului sovietic A. A. Rodă (11) și a., care a dezvoltat în mod original ideile precursorului în această materie, G. N. Vîsoțkii (13), definind mai complet aceste regimuri, amplificând sistematica lor și precizând mai detaliat terminologia în această materie.

Importanța uriașă a apei în formarea și însușirile solului, precum și în viața plantelor justifică continuarea intensă și extinderea largă a preocupărilor științifice în legătură cu apa, în problemele pedologice de ordin fizic, fizico-chimic, genetic, ecologic, agro- și silvoproducțiv, ameliorativ etc. Aceste preocupări se reflectă în literatura contemporană de specialitate din toate țările și se manifestă în mod deosebit pe plan internațional în activitatea Conferințelor și Congreselor Societății Internaționale pentru Știința Solului.

În U.R.S.S. în special, preocupările în legătură cu regimul apei în sol sunt de mare actualitate. Tipurile și subtipurile de regimuri de apă din soluri prezentate de A. A. Rodă la Congresul Societății Internaționale pentru Știința Solului de la Paris (1956) au fost discutate în ultimii ani în revistele de specialitate. Unii autori (A. Blagovidov, I. Pliussin) au propus chiar importante modificări în sistematica elaborată de A. A. Rodă.

În țara noastră, cercetările în legătură cu regimul apei în sol s-au dezvoltat mai intens abia în ultimii ani, îndeosebi în probleme de ordin agro- și silvoproducțiv și ameliorativ.

În agricultură, cercetări, în cadrul unor teze de aspirantură și al altor lucrări de cercetare (H. Simota¹⁾, N. Oanea²⁾ aduc contribuții la cunoașterea regimului de umiditate din soluri de stepă, asupra umidității de ofilire, a condițiilor de umezire a solului prin aplicarea anumitor procedee de irigare etc. Alte cercetări asupra regimului de apă din sol au executat M. Botzan și O. Merculieva (1), E. Miclăea (6), G. Obrejanu, E. Motoc și O. Teodoru (9).

Extinderea irigațiilor, a cercetărilor și lucrărilor în legătură cu ameliorarea sărăturilor, desecarea terenurilor mlaștinoase, îndiguirea terenurilor inundabile, punerea în valoare a terenurilor erodate și a celor nisipoase au dat un impuls puternic preoccupărilor științifice și tehnico-științifice în legătură cu regimul apei în sol.

În pedologia forestieră, pornite timid de la studiul regimului de umiditate în unele soluri de pădure (4), cercetările s-au extins în problema înmăștinării solurilor de stejărete și a uscării intense a stejarului (5), apoi în problema uscării pinului (3). Cercetări sunt în curs în solurile unor regiuni cu fenomene de uscare intensă a stejarului și în domeniul tipologiei forestiere staționale.

Recent, în clasificarea solurilor țării noastre după regimurile de apă și condițiile de drenaj, s-au adus importante precizări asupra acestor două criterii de clasificare și asupra relațiilor dintre caracterul mișcării apei pe verticală în profilul de sol și condițiile de umiditate ale climatului, exprimate prin indicii de ariditate De Martonne (2).

Trebuie relevat faptul că în țara noastră cercetările asupra regimurilor de apă din soluri se află într-un stadiu puțin înaintat și insuficient organizat de dezvoltare și că este necesară extinderea largă, bine organizată, după o metodică unică și după un plan astfel conceput, încât într-un timp cât mai scurt să se poată dispune de materialul de date și observații necesare pentru caracterizarea calitativă și cantitativă a regimurilor de apă în solurile reprezentative ale țării noastre.

Necesitatea extinderii actuale și în viitorul apropiat a cercetărilor în legătură cu regimurile de apă din solurile țării noastre impune, pe lângă condițiile semnalate mai sus, și precizarea mai detaliată a sistematicii, a terminologiei și elementelor-criterii de caracterizare cantitativă a acestor regimuri.

În lucrarea de față, sprijinită pe lucrările lui A. A. Rode, ne propunem să aducem o serie de contribuții în legătură cu sistematica, terminologia și caracterizarea regimurilor de apă din solurile țării noastre, pe care le considerăm necesare pentru unificarea și eficiența mai rodnică a cercetărilor pedologice în acest deosebit de important domeniu și pentru

¹⁾ H. Simota *Dinamica umidității în cernoziomul castaniu lucrat ca ogor negru, din stepa Bărăganului*, Inst. agr., „N. Bălcescu”, București, 1955 (manuscris). *Relațiile dintre sol și plante la conținuturi joase de umiditate în condițiile cernoziomului castaniu din Bărăgan*, Inst. agr., „N. Bălcescu”, București, 1957 (manuscris). *Dinamica umidității cernoziomului castaniu din Bărăgan, cultivat cu grău de toamnă, după diferite premergătoare*, Inst. agr., „N. Bălcescu”, București, 1958 (manuscris).

²⁾ N. Oanea, *Regimul apei în sol în legătură cu problema irigațiilor*, Inst. agr., „N. Bălcescu”, București 1957 (manuscris).

răspândirea mai largă a preocupărilor de caracterizare și de folosire rațională a particularităților regimului de apă din sol, în producție.

A. A. Rode (11) definește ca regim de apă în sol – termen pe care îl traduce în limba franceză prin „régime hydrologique du sol” : „ansamblul fenomenelor de aport al apei în sol, de mișcare și refinare a apei în sol, de consum și pierdere a acesteia din sol”¹⁾.

Relevăm în mod special că A. A. Rode include în regimul de apă al solului :

– *sursa de aprovizionare cu apă* (apă din precipitații, din pînza freatică, din surgeri laterale, de irigație), *sensul predominant al circulației apei pe verticală și adâncimea pătrunderii apei de infiltratie în profilul sol-substrat mineral;*

– *gradul de umiditate* al solului pe întregul profil și al substratului, exprimat prin repartitia pe adâncime a intervalor de umiditate cuprinse între limite exprimate prin cunoșutele constante hidrofizice ale solului.

Din punct de vedere sistematic, A. A. Rode definește *tipuri și subtipuri* de regimuri de apă – tipurile în funcție de *sursa de aprovizionare cu apă*, *sensul și adâncimea circulației apei pe verticală* în profilul sol-substrat, iar subtipurile în funcție de gradul de umezire a profilului, exprimat prin caracterul stepic, forestier, de fineață, semimlaștinos, mlaștinos etc. al regimului de apă.

Ideea de a cuprinde în noțiunea de regim de apă al solului atât indicații asupra sursei de aprovizionare, a sensului predominant și a adâncimii circulației apei pe verticală în sol și în substratul mineral, cit și precizări asupra gradelor de umezire realizate în sol-substrat, a permis autorului să elaboreze o clasificare judicioasă a regimurilor de apă din soluri, fundamentată pe ambele aceste categorii de caracteristici. Pentru aceasta însă a fost suficientă caracterizarea generală a regimurilor de umiditate din categoriile de soluri tipice sub acest raport, care evidențiează în linii generale diversitatea geografică a acestor regimuri, dar și regularitatea realizării lor în funcție de :

- condițiile climatice – în special raportul dintre suma precipitațiilor anuale și mărimea evaporației anuale;
- poziția solului în relief;
- proprietățile hidrofizice ale solului și substratului;
- prezența sau absența alimentării subterane cu apă;
- vegetația (11).

Pentru cunoașterea de aproape a relațiilor dintre sol și plante în diferitele tipuri de situații pedogeografice, pentru nevoile ecologiei plantelor așadar, pentru agricultură, silvicultură, ameliorații etc. aceste cunoștințe generale fundamentale asupra regimurilor de umiditate din soluri sunt indispensabile, dar numai orientative. Rezolvarea corectă a marii diversități de probleme legate de relațiile solului și ale plantelor cu apă reclamă studiu diferențiat al regimurilor de umiditate din diversele tipuri, subtipuri, genuri și grupe texturale de soluri din diferitele unități

¹⁾ p. 117.

pedogeografice ale țării noastre, acoperite cu asociații vegetale naturale și luate în cultură.

Pentru a demonstra necesitatea acestui studiu astfel diferențiat, este suficient să arătăm că în țara noastră, în cadrul regimului de apă percolativ — caracteristic solurilor cu apă freatică adâncă din zona forestieră — regimul de umiditate manifestă o diversitate extremă. Astfel, acest regim este caracteristic atât solurilor cu înmlăștinare periodică de suprafață și uscăciune moderată pînă la excesivă în perioada secetoasă — caldă de vară — început de toamnă, cum sunt solurile pseudogleice podzolite și solurile grele pseudogleizate de terasă, de luncă și de terase înalte, cât și solurilor aproape uniform umezite pe întregul profil, cu grade de umiditate variind puțin, în jurul stării de sol reavân sau reavân-jilav, cum este solul brun-roșcat al pădurii de șleau, din stațiuni de cîmpie cu un plus local de umiditate atmosferică, situate pe versanții umbriți ai unor văi umede sau în apropiere de lacuri.

Variabilitatea mare a regimurilor de umiditate din soluri în funcție de condițiile locale de topoclimat (7), (8), (12), adîncimea apei freaticе, mezo-micro- și nanorelief, de condițiile de textură-structură-porozitate ale profilului de sol, de caracterele substratului mineral, de vegetație etc. și posibilitatea stabilirii unei tipologii a acestor condiții, impun și fac posibilă elaborarea unei sistematice a acestor regimuri, la gradul de detaliere reclamat de problemele de ordin ecologic, agronomic și silvicultural; această sistematică trebuie să fie bazată pe cunoașterea cantitativă a condițiilor de umezire în tot cursul anului din solurile reprezentative ale diferitelor categorii de situații pedogeografice.

Deoarece regimul de umiditate al solului este genetic legat de regimul de aprovizionare cu apă și de circulație a apei în sol-substrat mineral, sistematica regimurilor de umiditate trebuie să corespundă cu aceea a regimurilor de aprovizionare și de circulație a apei, să apară ca alt aspect al unei clasificări unice, aceea a regimului de apă din sol.

Definirea regimului de apă al solului ca rezultantă a condițiilor de aprovizionare a solului cu apă, de circulație a apei și de gradele de umezire ale profilului sol-substrat, pe de o parte, și faptul că la același regim de aprovizionare cu apă și de circulație a apei pot corespunde condiții foarte diferite de umiditate (de realizarea a intervalelor dintre diferențele constante hidrofizice), pe de altă parte, indică necesitatea de a considera regimul de apă al solului ca un complex de caracteistică hidrologice, format din două regimuri diferite sub raportul conținutului, dar strîns legate genetic :

a) *Regimul de aprovizionare cu apă și de circulație a apei* în profilul sol-substrat, pînă la apă freatică sau mai sus. Acest regim, determinat de climatul zonal — în special de precipitațiile atmosferice — de condițiile de drenaj și de prezența sau absența apei freatică și a aportului suplimentar din surgeri de suprafață, inundării, irigații, fiind alcătuit din elemente de ordin hidrologic, poate fi denumit cu termenul *regim hidrologic al solului sau regim pedohidrologic*.

b) *Regimul de umiditate al solului*, adică valoarea și variația în cursul anului, în perioada fără îngheț sau, pentru scopuri ecologice, nu-

mai în perioada de vegetație, a gradului de umezire (de saturatie cu apă) la diferite nivele ale profilului sol-substrat mineral. Acest regim, condiționat fundamental de regimul de aprovizionare cu apă și de circulație a apei, dar diferențiat în funcție de particularitățile locale ale topoclimatului, de condițiile de relief, de capacitatea solului de reținere a apei, de consumul apei prin vegetație etc. caracterizează, alături de regimul pedohidrologic corespunzător, un alt aspect fundamental al regimului apei în sol, astfel întregindu-se cunoașterea noastră asupra acestui regim.

Realizarea unei sistematici complete și judicioase a regimurilor de apă din soluri reclamă considerarea acestora ca fiind formate din cele două categorii distincte, dar unitar legate, de regimuri precizate mai sus și aplicarea consecventă, pentru fiecare categorie, a criteriilor de clasificare menționate; aceasta, indiferent dacă astfel numărul total de unități taxonomice crește sau dacă se includ în clasificație și unele situații mai puțin frecvente — cum săn de exemplu regimurile de inundație și irigație în zona forestieră, care săn totuși o realitate și în anumite împrejurări pot căpăta o extensiune importantă. Neluarea în considerare a unei anumite situații hidrologice pentru motivul că ar fi puțin frecventă în spațiu sau în timp, ca și atașarea ei ca un caracter secundar sau accidental la altă situație săn neprincipiale și creează neconsecvențe în clasificație.

Astfel regimurile de apă ce se realizează în soluri expuse periodic inundațiilor și în cele ameliorate prin irigații săn atât de diferențiate de acelea ale același soluri neaprovisionate cu apă de inundație sau irigație, încit, principal, aceste regimuri reclamă o considerare și locuri în clasificație, la același nivel ca regimul percolativ, subpercolativ, periodic percolativ etc. Este suficient să ne gîndim la soluri care stau anual 2—4 luni sub apă de inundație, spre a aprecia ca indispensabilă distincția arătată mai sus.

Necesitatea amplificării numărului de tipuri de regimuri de apă pentru a diferenția și cuprinde toate situațiile considerate ca tipice, a condus pe I. Pliusnin (10) la crearea unei sistematici mai detaliate la nivelul tipului de regim decit cea elaborată inițial de A. A. Rode, acest autor distingând în total 11 tipuri de regimuri de apă, cu 22 de subtipuri.

Sistematica regimurilor pedohidrologice. Criterii de clasificare. Aplicarea principiilor de clasificare enumerate mai sus conduce la crearea unei sistematici a acestor regimuri, constituită din: *clase, tipuri și subtipuri*, ca unități taxonomice de regimuri pedohidrologice.

Clasa de regimuri pedohidrologice este determinată de prezența sau absența apei freatici și a apei de inundație sau de irigație, ca sursă de aprovizionare cu apă a solului.

Tipul de regim pedohidrologic este determinat de sensul predominant și de adâncimea circulației apei pe verticală în profilul sol-substrat mineral.

Subtipul de regim pedohidrologic este, în cadrul tipului, determinat de intensitatea drenajului, a percolării apei prin profilul solului.

Considerarea intensității drenajului drept caracter determinant de subtip de regim pedohidrologic își găsește justificarea completă în faptul

Tabelul nr. 2
Regimuri de inundație și irigație

Clase de regimuri hidrologice		Tipuri de regimuri			
de umiditate hidrologice	hidrologice	de umiditate	de umiditate	Zona fito-climatice	Indici de ariditate
Regimuri nefreaticе de inundație și irigație	alternativ subpercolativ – percolativ de inundație – irigație	stepic, periodic sau repetat excesiv umed prin inundație-irigație	stepă	<24	
	periodic sau repetat percolativ de inundație-irigație	silvostepic, periodic sau repetat excesiv umed prin inundație-irigație	silvostepă	24–28	
	percolativ de inundație-irigație	forestier periodic sau repetat excesiv umed prin inundație-irigație	zona forestieră	>28	
	stagnant – foarte slab percolativ, de inundație	mlăștinos și periodic prelungit mlăștinos nefreatic, cu plus de apă de inundație	stepă și silvo-stepă	<28	
	alternativ subpercolativ exsudativ-percolativ de inundație-irigație, periodic freatic	stepic periodic freatic umed, periodic sau repetat excesiv umed prin inundație-irigație	stepă	<24	
	periodic sau repetat percolativ și de inundație-irigație, periodic freatic	silvostepic, periodic freatic umed, periodic sau repetat excesiv umed prin inundație-irigație	silvostepă	24–28	
Regimuri periodice freaticе, de inundație și irigație	percolativ de inundație, periodic freatic	forestier, periodic freatic umed, periodic sau repetat excesiv umed prin inundație-irigație	zona forestieră	>28	
	regimuri periodice freatic umede, periodic sau repetat excesiv umed prin inundație, irigație sau ambele	mlăștinos și periodic prelungit mlăștinos nefreatic, cu plus de apă de inundație	stepă și silvo-stepă	<28	
	stagnant – foarte slab percolativ de inundație periodic freatic	de fineajă freatic umedă, periodic sau repetat excesiv umed prin inundație-irigație	zona forestieră	>28	
	alternativ exsudativ – percolativ de inundație-irigație	silvostepic freatic umed, periodic sau repetat excesiv umed prin inundație-irigație	stepă	<24	
	percolativ freatic de inundație-irigație	forestier freatic umed, periodic sau repetat excesiv umed prin inundație-irigație	silvostepă	24–28	
	regimuri permanent freatic umede, cu plus periodic sau repetat de apă prin inundație, irigație sau ambele	semimlăștinos freatic, periodic mlăștinos prin inundație	zona forestieră	>28	
Regimuri permanent freaticе de inundație și irigație	exsudativ, periodic stagnant – percolativ, de inundație	semimlăștinos freatic, prelungit mlăștinos prin inundație	stepă	<24	
	slab percolativ, periodic stagnanți, de inundație	mlăștinos cu plus de apă de inundație	silvostepă și zona forestieră	>24	
	stagnant freatic, de inundație	toate zonele			

Notă. Subîmpărțiri și varietăți. Pe fondul condițiilor hidrologice ale regimurilor nefreaticе, periodic freaticе și fraticе se formează numeroase subtipuri și varietăți de regimuri de umiditate, în funcție de frecvența și durată inundației și metoda de irigație.

că regimul de circulație a apei în profilul solului sau în sol-substrat mineral este, în aceleasi condiții climatice, determinat tocmai de acest caracter hidrologic al solului și substratului.

Pentru simplificare, cele 6 categorii de drenaj cunoscute în literatură (2) au fost reduse la următoarele 4 :

- *excesiv intens*, caracteristic solurilor nisipoase și scheletice;
- *normal*, caracteristic solurilor cu conținut însemnat de argilă și lipsite de orizonturi greu permeabile;
- *întîrziat*, cuprindând categoriile de drenaj moderat, și insuficient, corespunzând solurilor cu exces intern periodic sau repetat de apă de suprafață, fără înmlăștinare sau cu cel mult slabă înmlăștinare periodică superficială;
- *excesiv întîrziat*, cuprindând categoriile de drenaj slab și foarte slab și caracterizând soluri cu înmlăștinare periodică sau repetată, accentuată pînă la puternică, prin ape de suprafață.

Clasificația regimurilor pedohidrologice în clase, tipuri și subtipuri este dată în tabelele nr. 1 și 2. Se observă că sistematica claselor de regimuri pedohidrologice apare amplificată cu clasa periodic freatic și cu clasele de regimuri nefreatici, periodic freatici și freatici de inundație și irigație.

În materie de terminologia regimurilor pedohidrologice, pentru a ușura înțelegerea și reținerea denumirilor, s-au adoptat termenii:

regim percolativ, folosit și înaintea noastră (2), în loc de „regim transsudativ” (11);

regim periodic subpercolativ, pentru ceea ce s-a numit „regim ne-transsudativ” (11) sau „regim nepercolativ” (11), (2), pentru faptul că în solurile de stepă, caracterizate prin acest regim, se realizează o percolare însemnată a apei, dar aceasta este numai periodică (primăvara) și este mai mică decît percolarea tipică, nepătrunzind și în substratul mineral;

regim periodic percolativ, în loc de „regim alterno-transsudativ” sau „regim alterno-transpercolativ”, fiindcă astfel se exprimă mai simplu și totuși corect, faptul că în solurile de silvostepă și de zonă forestieră moderat umedă, este caracteristică o percolare tipică prin întregul profil al solului și pătrunzind în substrat, dar aceasta are loc numai într-o singură perioadă, ceea mai umedă a anului, alternând cu o percolare de tip stepic, în anii mai puțin umezi;

regim periodic subpercolativ-exsudativ, caracteristic solurilor stepice în care periodic au loc: percolarea de tip stepic și exsudarea din franjul freatic periodic;

regim slab percolativ freatic, caracteristic solurilor semimlăștinoase (cu franjul capilar permanent sau periodic pînă la suprafața solului), în care percolarea este incetinită de prezența apei capilare;

regim slab percolativ-stagnant freatic, în soluri periodic freatic mlăștinoase, cu percolare slabă pînă la inexistentă;

regim stagnant freatic, caracteristic solurilor freatic mlăștinoase, în care prezența pinzei freatici impiedică total percolarea apei de precipitații sau inundație.

În materie de terminologie, în lipsa momentană a unor denumiri concise și expresive, am fost nevoiți să recurgem și la diagnoze scurte. Aceasta nu poate constitui o scădere a valorii clasificării, căci, ceea ce interesează fundamental este conținutul fiecărei categorii, care poate fi exprimat corect și fără a avea denumirea concisă, supusă uneori schimbării.

Sistematica regimurilor de umiditate din soluri. Corespondența necesară dintre unitățile sistematice ale regimurilor hidrologice și acelea ale regimurilor de umiditate din solurile R.P.R. conduce la structurarea sistematicii regimurilor de umiditate după aceleasi unități taxonomici.

Clasa de regimuri de umiditate este constituită în funcție de prezența permanentă sau periodică sau de absență în profilul solului a umidității de natură freatică, de inundație sau de irigație.

Tipul de regim de umiditate este constituit în cadrul clasei: în cazul regimurilor nefreatic umede, în funcție de existența sau inexistența unui orizont mort în profilul solului sau la baza acestuia, de existența sau inexistența numai în anii uscați a unui asemenea orizont în substratul mineral; iar în cazul regimurilor freatic umede și periodic freatic umede, de predominarea, prezența slabă sau lipsa „exsudației” — a pierderilor de apă prin curenti capilar-peliculari ridicati din apa freatică pînă la suprafața solului sau la nivel oarecare în profilul acestuia și a depunerilor de săruri și alți constituienți ridicati în soluție din apa freatică.

Subtipul de regim de umiditate este determinat în cadrul tipului de regim — ca urmare a condițiilor de drenaj intern — de existența sau inexistența prelungită sau permanentă a unei umidități excesive în partea superioară sau superioară și mijlocie a profilului de sol, datorită apei de suprafață (din precipitații, surgeri de suprafață, inundații, irigații), a cărei infiltrație poate fi excesivă, normală sau diversă întîrziată, în funcție de permeabilitatea solului.

Varietatea de regim de umiditate, determinată în funcție de elementele cantitative ale umidității în profilul solului, este *unitatea concretă de regim al umidității*, care se realizează în cadrul diverselor clase, tipuri și subtipuri de regimuri de umiditate. Este determinată de întregul complex de factori ce condiționează regimul de apă al solului și care fac ca în același tip și subtip de regim de umiditate să se realizeze nivele foarte diferite ale umidității medii a profilului în cursul unui an sau al unei perioade de vegetație, repartiții foarte diferite ale umidității de profil și curbe de variație sezonieră ale umidității de asemenea foarte diferite.

Este evident că în funcție de modul de asociere a acțiunii tuturor factorilor determinanți ai regimului de apă din sol, precum și de variațile de la an la an ale precipitațiilor și temperaturilor, rezultă condiții foarte variate de umiditate în soluri. Este indiscutabil că nu are sens să ne străduim să prindem înțreagă această diversitate. Dar este posibil și necesar ca pe baza unor elemente de caracterizare cantitativă și de generalizare să se definească *varietăți caracteristice* ale regimurilor de umiditate între limitele cele mai frecvente ale gradului de umiditate lunar, sezonier și anual, varietăți astfel stabilite, încît să exprime situații tipice și să satisfacă exigentele pedologiei genetice și ameliorative, ale ecologiei plantelor, ale agriculturii și ale silviculturii.

К ВОПРОСУ СИСТЕМАТИКИ ВОДНЫХ РЕЖИМОВ ПОЧВ РРР

РЕЗЮМЕ

Считается, что водный режим почвы состоит из двух генетически связанных между собой режимов: *гидрологического режима почвы*, обусловленного источником снабжения почвы влагой, преобладающим направлением перемещения влаги по вертикали, условиями внутреннего дренажа и глубиной проникновения воды по профилю почва — минеральный субстрат, и *режима влажности почвы*, выражающего колебание по профилю и во времени степени насыщения почвы влагой.

Предлагается параллельная и единая систематика этих режимов в почвах РРР, основанная на следующих таксономических единицах:

классах — в зависимости от источника снабжения водой;
типах — в зависимости от преобладающего направления перемещения влаги и от глубины ее проникновения по профилю почва — минеральный субстрат;

подтипах — в зависимости от интенсивности внутреннего дренажа.

Для режима влажности необходимо еще и различие по разно видностям, которым в географическом пространстве соответствуют наиболее мелкие единицы с одинаковым режимом влажности.

CONTRIBUTION À LA SYSTÉMATIQUE DES RÉGIMES D'EAU DES SOLS DE LA RÉPUBLIQUE POPULAIRE ROUMAINE

RÉSUMÉ

Le régime d'eau du sol est considéré formé de deux régimes génétiquement liés : *le régime hydrologique du sol* — déterminé par la source d'approvisionnement du sol en eau, par le sens prédominant du mouvement de l'eau sur la verticale, par les conditions de drainage interne et par la profondeur à laquelle l'eau pénètre dans le profil sol-sous-sol minéral — et *le régime d'humidité du sol* — qui exprime les variations, dans le profil et au cours du temps, du degré de saturation en eau, du sol.

L'auteur propose une classification parallèle et unitaire de ces régimes, dans les sols de la République Populaire Roumaine, constituée des unités taxonomiques suivantes :

Classes — établies en fonction de la source d'approvisionnement en eau.

Types — établis en fonction du sens prédominant du mouvement de l'eau et de la profondeur à laquelle elle pénètre dans le profil sol-sous-sol minéral.

Sous-types — établis en fonction de l'intensité du drainage interne.

Pour le régime d'humidité, il faut encore distinguer des *variétés* auxquelles correspondent, dans l'espace géographique, les plus petites unités soumises à un même régime d'humidité sur toute leur étendue.

BIBLIOGRAFIE

1. BOTZAN M. și MERCULIEV O., *Raionarea normei de irigație pe teritoriul R.P.R.*, Anal. I.C.A.R., 1956, **XXIII**.
2. CERNESCU N., *Kriterien der Bodenklassifikation in Rumänien*, Praga, 1960.
3. CEUCA G., DROCAN R., GEORGESCU C., NITU GH. și TOMESCU A., *Studii privind condițiile de vegetație ale arborelor de pin cu fenomene de uscare*, Anal. I.C.E.S., 1957, **XVIII**.
4. CHIRITĂ C., *Cercetări asupra umidității solurilor forestiere în regiunea de cîmpie*, Anal. I.C.E.F., seria I, 1938, **IV**.
5. CHIRITĂ C., CEUCA G. și NONUȚA I., *Condiții de sol*, în *Studii asupra regenerării și refacerii arborelor de stejar cu fenomene de uscare*, Stud. și cercet. I.C.E.S., 1954, **XV**.
6. MICLEA E., *Dinamica umidității solului în anii 1952 și 1953 la Stațiunea experimentală agricolă Mărcalești*, Anal. I.C.A.R., 1956, **XXIII**.
7. MIHĂILESCU V., *O schiță topoclimaticea a R. P. Române*, Bul. științ. Acad. R.P.R., Secția geologie-geografie, 1957, **II**, 3—4.
8. MIHĂILESCU V. et STOENESCU ST., *La carte climatique et topoclimatique de la R. P. Roumaine*, în *Recueil d'études géographiques*, Ed. Acad. R.P.R., București, 1960.
9. OBREJANU GR., MOTOC E. și TEODORU O., *Contribuții la studiul regimului hidric al solurilor de la Moara Domnească și Balotești (reg. București)*, Comunicările Acad. R.P.R., 1960, **X**, 11.
10. ПЛЮСНИН И., *Мелиоративные почвоведение*, Москва, 1960.
11. RODE A. A., *Les divers types du régime hydrologique des sols*, VI^e Congrès International de la Science du Sol, Rapports, Paris, 1956, B.
12. STOENESCU ST., *Topoclimatologia*, Meteorologia și hidrologia, 1957, **II**, 2.
13. ВЫСОЦКИЙ Г. Н., *О глубокопочвенном (полнопочвенном) почвоведении*, Почвоведение, 1934, 6.

DESPRE STADIUL ACTUAL AL CERCETĂRILOR
REFERITOARE LA FLORA CARPAȚILOR DIN R.P.R.

DE

ACADEMICOAN E. I. NYÁRÁDY

Comunicare finită la 7 iulie 1960, la Conferința asupra florei și faunei Carpaților ce a avut loc la Lvov (U.R.S.S.)

În cele ce urmează voi face o scurtă prezentare asupra stadiului actual al cercetărilor privind flora Carpaților românești. În continuare voi aminti cîteva fenomene floristice, respectiv fitogeografice foarte interesante, referitoare la întreg lanțul Carpaților, iar apoi voi da unele sugestii asupra metodelor de cercetare în viitor a florei din Carpați.

Flora Carpaților românești este destul de binecunoscută, dar, de sigur, cercetările noastre floristice nici pe departe nu pot fi considerate ca încheiate. Dispunem de mai multe lucrări de sinteză, aşa, de exemplu : *Enumeratio stirpium Transsilvaniae*, în 4 volume (1816), de Baumgarten ; Schur, *Enumeratio plantarum Transilvaniae* (1866) ; Fuss, *Flora Transsilvaniae excursoria* (1866) ; Brandza, *Prodromus florae Romaniae* (1879—1883) ; Grecescu, *Conspectus florae Romaniae și Suplementul* (1898, 1909) ; Pax, *Grundzüge der Pflanzenverbreitung in den Karpaten*, vol. I-II (1898, 1908) ; Hayek, *Die Pflanzendecke Österreich-Ungarn* (1916), — precum și lucrări de determinare (Prodan, Javorka etc. și numeroase alte contribuții botanice).

Cel mai important ierbar din țară este la Cluj, cu un trecut de peste 100 de ani. Importante mai sunt ierbarul Muzeului de la Sibiu, cele ale Universităților din Iași și București, precum și ierbarul Institutului de cercetări silvice din București.

O bună parte din ierbarul Universității din București a fost distrus însă în timpul ultimului război mondial.

Astăzi, obiectivul nostru principal este de a termina monumentală operă *Flora R.P.R.*, planificată să apară în 12 volume, în care vor fi prelucrate toate speciile de fanerogame și criptogame vasculare.

Pînă în prezent au apărut VII volume, iar cel de-al VIII-lea se găseste în curs de tipărire. S-a inceput redactarea volumului IX.

Trebuie să relev, cu această ocazie, că unele familii sunt descrise mai amplu, ca, de exemplu, Ranunculaceae, Caryophyllaceae, Cruciferae, Rosaceae, Labiate, Scrophulariaceae. Genul *Rubus*, foarte polimorf, a fost prelucrat după ce s-a adunat în prealabil un foarte bogat material din întreaga țară; astfel flora țării noastre ocupă un loc de frunte în privința speciilor de *Rubus*, cu 36 de specii noi pentru știință și numeroase specii hibridogene.

În afară de aceste lucrări, studiul și cercetarea florei se mai fac și în mod individual, cu sprijinul Academiei R.P.R. Voi da mai jos o serie de lucrări care constituie rezultatul acestor cercetări:

- A. L. Beldi e (Bucuresti), *Flora Bucegilor* (în manuscris).
- A. L. Borza (Cluj), *Vegetația munților Semenic din Banat*, 1946.
- A. L. Borza (Cluj), *Vegetația munților Sebeș*, 1948.
- Alex. Buia și colab. (Craiova), *Flora Munților Râiosu și Capra Budei*, 1948.
- S. T. Csüros (Cluj), *Contribuții la vegetația alpină din Munții Făgăraș și Bucegi*, 1956.
- E. I. Nyárády (Cluj), *Flora și vegetația Munților Cozia*, 1956.
- E. I. Nyárády (Cluj), *Flora și vegetația Munților Retezat*, 1958.
- E. I. Nyárády (Cluj), *Secția Hololeion des Gattung Hieracium*, 1960.
- E. I. Nyárády (Cluj), *Enumerarea plantelor din Cheile Turzii*, 1939.
- E. I. Nyárády (Cluj), *Über die Vegetation einiger Nordhälter der Retezat-Gebirge*, 1941.
- Anton Nyárády (Cluj), *Vegetația Munților Brezei din Făgăraș*, 1941.
- Anton Nyárády (Cluj), *Flora și vegetația Munților Rodnei* (manuscris).
- Emil Pop (Cluj), *Mlașinile de turbă din R.P.R.*, 1960, lucrare de sinteză a contribuțiilor sale polemico-ideologice de pînă acum.
- E. Gișa (Cluj), *Studii fitocenologice în Munții Făgăraș*, 1940.
- M. Gușuleac (București), *Die Feldsenvegetation der Bikaz-Klaza*, 1932.
- I. Morariu (București), *Vegetația Munților Tibleș*, 1943.
- I. Seabanescu (București), *Flora și vegetația masivului Penteleu*, 1939.

În afară de acestea, în noua literatură botanică românească au mai apărut numeroase publicații referitoare la Carpați.



După cum știu, conferința de la Lvov a avut obiectivul final de a întocmi o operă monumentală despre flora și fauna Carpațiilor. Mă gîndesc în primul rînd la floră, care va avea numeroase capituloare privind relațiile floristice, fitogeografice sau geobotanice.

Cred că ar fi indicat și un capitol care să trateze istoria cercetărilor din Carpați, punîndu-se accentul pe lucrările înaintașilor noștri, care au întreprins primele cercetări asupra florei acestor munci, ca, de exemplu: Wahleberg, Baumgarten, Generisch, Kitaibel, Heuffel, Rochel, Herbich, Porcius, Hazslinszky, Kerner, Knapp, Fekete-Balatny, Pax și alții.

Tot atât de interesant va fi și capitolul care va reda compoziția floristică, precum și acela care va trata diferențele endemisme din Carpați.

Cit de interesant este faptul că *Poa granitica*, endemică în Tatra Înalta, în Munții Rodnei deja se transformă în *Poa disperalis*, iar în Carpații Meridionali se prezintă ca *Poa contracta*. Mai există și alte cazuri similare în Carpații Occidentali și Orientali. Cazul speciei *Saussurea porcii* este o adeverată enigmă, aceasta fiind o raritate a Carpațiilor ucrainieni și a Munților Rodnei. Tot atât de rare sunt și *Hieracium pojoritense*, *Astragalus romeri*, *A. pseudopurpureus*, care apar sporadic în Carpații Orientali. Din acest punct de vedere foarte mult s-ar putea vorbi despre Carpații Meridionali cu numeroase endemisme și speudoendemisme ce au legătură cu Balcanii. În mod special se va trata *Poa media* și *P. nyaradyana*, care formează zone în acești munci.

În Munții Făgărașului apar diferențe endemisme, cum sunt speciile de *Draba*, apoi *Aquilegia transsilvanica*, *Silene lerchenfeldiana* etc. În Retezat sunt de admirat speciile de *Hieracium*. Pătrunderea elementelor mediteraneene în Munții Banatului dă un caracter deosebit de interesant acestora.



În cele ce urmează voi încerca să dau cîteva sugestii asupra metodelor și modului de prelucrare a florei și vegetației carpatiche.

1. Prelucrarea floristică a întregului lanț al Carpațiilor să fie făcută în aşa fel, încît fiecare națiune interesată în cunoașterea florei noastre să se poată folosi de ea cu ușurință.

2. Se impune întocmirea unei hărți unitare a Carpațiilor, precizîndu-se întreaga retea de ape. Pe această hartă se vor delimita bine grupele de munci, indicîndu-se numele lor.

3. Înainte de prezentarea florei carpatiche să se facă enumerarea critică a florei, folosindu-se gruparea din harta amintită.

4. În acest mod s-ar putea executa catalogul provizoriu al enumerării critice în patru exemplare, pentru a ușura schimbul între țările participante. Astfel cercetătorii acestor țări ar lua în studiu anumite familii sau genuri referitoare la întreg lanțul Carpațiilor, iar datele trecute pe fișe ar putea să constituie un schimb între țările respective. După un timp oarecare cercetătorii din fiecare țară ar ajunge în posesia enumerării făcute pe baza literaturii privitoare la toți Carpați și totodată și-ar putea face fiecare observațiile sale. Această enumerare desigur ar trebui completată cu cercetări de teren.

5. Să se găsească modalitatea ca, pentru completarea studiilor, cercetătorii Carpațiilor din diferențe țări să aibă la dispoziție ierbarele celorlalte țări.

6. Să se convingă principal asupra ilustrației.

7. În cadrul academilor respective, în fiecare țară să se înființeze cîte o „Comisie pentru cercetarea florei Carpațiilor”. Se va înființa de asemenea o comisie centrală, care să dirijeze lucrările.

8. Întrucît prelucrarea științifică și practică a florei și vegetației Carpațiilor este o campanie largă, ar fi bine ca, în afară de floriștii formați, să fie repartizate și cadre tinere, care pe lîngă că și-ar putea perfectiona cunoștințele, ar contribui în acest fel la desăvîrșirea marelui opere privind flora Carpațiilor.

LUCRĂRI APĂRUTE ÎN EDITURA ACADEMIEI R.P.R.

Biologie vegetală

- * * Flora Republicii Populare Române, vol. VII, 663 p., 37,50 lei.
- AL. BORZA, Flora și vegetația Văii Sebeșului, „Biblioteca de biologie vegetală II”, 328 p. + 2 pl., 25,50 lei.
- EMIL POP, Mlaștinile de turbă din Republica Populară Română, „Biblioteca de biologie vegetală”, 516 p., 28,60 lei.
- * * Darwinismul și problema evoluției în biologie, 231 p., 9,60 lei.
- * * Starea fitosanitară în Republica Populară Română în anul 1957—1958, „Metode, rapoarte, memorii”, 107 p. + 1 pl., 5 lei.
- * * Oerotirea Naturii, Buletinul Comisiei pentru oerotirea monumentelor naturii, 5, 206 p. + 4 pl., 13,60 lei.
- * * Probleme actuale de biologie și științe agricole. Luerare dedicată Acad. Prof. G. IONESCU — ȘIȘEȘTI cu prilejul împlinirii a 75 de ani, 782 p. + 9 pl., 53 lei.

Ştiințe agricole

- * * Metode agrotehnice pentru sporirea producției agricole în Moldova, „Metode, rapoarte, memorii”, 561 p., 24,90 lei.
- * * Metode agrotehnice pentru sporirea producției agricole în Oltenia, „Metode, rapoarte, memorii”, 271 p., 10,10 lei.
- * * Metode agrotehnice pentru sporirea producției agricole în sud-estul Transilvaniei, „Metode, rapoarte, memorii”, 245 p., 10 lei.
- * * Metode agrotehnice pentru sporirea producției agricole în Bărăgan, „Metode, rapoarte, memorii”, 305 p., 13,60 lei.
- * * Zonarea ecologică a plantelor agricole în R.P.R., 287 p. + 10 pl., 18,50 lei.
- * * Ampelografia Republicii Populare Române, vol. II, 748 p. + 38 pl., 93 lei; vol. III, 692 p. + 37 pl., 49,50 lei.
- * * Analele Institutului de cercetări agronomice, vol. XXVII, seria A. Agroclimatologie, Pedologie, Agrochimie și Ameliorații, 191 p. + 8 pl., 8,40 lei.
- * * Analele Institutului de cercetări agronomice, vol. XXVII, seria B, Agrotehnica. Pășuni și Finețe. Economie și Organizarea agriculturii socialiste, 311 p. + 5 pl., 11,40 lei.
- * * Analele Institutului de cercetări agronomice, vol. XXVII seria C. Fiziologie, Genetică, Ameliorare, Protecția plantelor și Tehnologie agricolă, 387 p. + 5 pl., 15,30 lei.
- * * Protecția plantelor în sprijinul zonării producției agricole în R.P.R., 417 p., 18,50 lei.